

# Modellierung und Regelung eines Verbrennungsmotors in Dymola/Modelica

Masterarbeit  
an der  
Technischen Universität Graz

vorgelegt von

**Arnold Loidl**

Institut für Regelungs- und Automatisierungstechnik,  
Technische Universität Graz  
A-8010 Graz

31. Juli 2012



# Modeling and control of a combustion engine in Dymola/Modelica

Master's Thesis

at

Graz University of Technology

submitted by

**Arnold Loidl**

Institute of Automation and Control,  
Graz University of Technology  
A-8010 Graz, Austria

31<sup>th</sup> July 2012



## **Kurzfassung**

Der erste Teil dieser Arbeit beschäftigt sich mit dem Modellieren des Luftpfades eines Dieselmotors. Dabei wird die Modellierungssoftware Dymola mit der dazugehörigen Beschreibungssprache Modelica verwendet. Der verwendete Verbrennungsmotor ist mit seinem großen Hubraum von 10l für die Anwendung in Lastkraftwagen vorgesehen. Außerdem besitzt er eine Abgasturboaufladung zur Leistungssteigerung und eine Abgasrückführung zur besseren Kontrolle der Emissionswerte. Der Turbo hat eine Variable Turbinengeometrie (VGT) als Stellmöglichkeit. Die Modellierung des Verbrennungsvorgangs erfolgt durch ein Mittelwertmodell. Dies bedeutet, dass der Verbrennungsvorgang aufgrund der Eingangsparameter gemittelt, und nicht anhand des Kurbelwellenwinkels detailliert modelliert wird. Das Modell wird mit den bereits vorhandenen Messdaten verifiziert.

Zur Regelung werden in verschiedenen Arbeitspunkten linearisierte Modelle erstellt. Diese sind die Grundlage für die modellbasierte prädiktive Regelung (MPR), welche in Simulink realisiert ist. Um das Modell weiterhin in Dymola simulieren zu können, wird die Co-Simulationsumgebung Independent Co-Simulation (ICOS), welche am Virtuellen Fahrzeug entwickelt wurde, verwendet. Zur realitätsnahen Simulation ist es notwendig, Teile des Prüfstandes in Simulink nachzubilden. Abschließend wird das Verhalten der Regelung anhand verschiedener Arbeitspunktwechsel verifiziert.

## **Abstract**

The first part of this work deals with the modeling of the air path of a diesel engine. For this purpose, the software Dymola with the accompanying description language Modelica is used. The investigated combustion engine with its large displacement of 10l is provided for an application in trucks . It also has an exhaust gas turbocharging equipment and exhaust gas recirculation for improved control of emissions. The turbo has a variable turbine geometry(VGT) as a control option.

The modeling of the combustion process is carried out by a mean value model. This means that the combustion is averaged based on the input parameters, and not modeled in detail by the crankshaft angle. The model is verified by comparison with the existing measured data.

To control the entire air path in different operating points linearized models are created. These models are the basis for the model predictive controller, which is implemented in Simulink. In order to further simulate the model in Dymola, the co-simulation environment Independent Co-Simulation (ICOS) is used. For realistic simulations, it is necessary to simulate the engine test bed in Simulink. Finally, the behavior of the system is verified by simulations of different operating point changes.

## Statutory Declaration

*I declare that I have authored this thesis independently, that I have not used other than the declared sources / resources, and that I have explicitly marked all material which has been quoted either literally or by content from the used sources.*

---

Place

---

Date

---

Signature

## Eidesstattliche Erklärung

*Ich erkläre an Eides statt, dass ich die vorliegende Arbeit selbstständig verfasst, andere als die angegebenen Quellen/Hilfsmittel nicht benutzt, und die den benutzten Quellen wörtlich und inhaltlich entnommene Stellen als solche kenntlich gemacht habe.*

---

Ort

---

Datum

---

Unterschrift

# Inhaltsverzeichnis

<b>Inhaltsverzeichnis</b>	<b>ii</b>
<b>Abbildungsverzeichnis</b>	<b>iv</b>
<b>Tabellenverzeichnis</b>	<b>v</b>
<b>Danksagung</b>	<b>vi</b>
<b>1. Einleitung</b>	<b>1</b>
1.1. Aufgabenstellung . . . . .	1
1.2. Prinzip eines Dieselmotors . . . . .	1
1.3. Abgasverhalten . . . . .	2
<b>2. Modellierungsumgebung Dymola/Modelica</b>	<b>3</b>
2.1. Modellierungssprache Modelica . . . . .	3
2.1.1. Aufbau eines Modells . . . . .	3
2.1.2. Datenstruktur Record . . . . .	4
2.1.3. Verbindung von Modellen . . . . .	4
2.1.4. Unterschied zwischen Algorithmen und Gleichungen . . . . .	5
2.2. Simulationswerkzeug Dymola . . . . .	6
2.2.1. Handhabung von Dymola . . . . .	6
<b>3. Modellierung des Luftpfades eines Dieselmotors</b>	<b>8</b>
3.1. Überblick über den gesamten Luftpfad . . . . .	8
3.2. Darstellung von Volumina . . . . .	9
3.3. Klappen als Rohrrestriktionen . . . . .	10
3.4. Modellierung des Verbrennungsvorgangs . . . . .	11
3.5. Kühlereinheiten . . . . .	12
3.6. Darstellung des Anteils verbrannter Luft . . . . .	12
3.7. Modellierung der Turboaufladung . . . . .	13
<b>4. Umsetzung in Modelica</b>	<b>15</b>
4.1. Notation . . . . .	15
4.1.1. Konstanten . . . . .	16
4.2. Thermodynamische Verbindung der Komponenten . . . . .	17
4.3. Lufteinlass . . . . .	18
4.4. Luftauslass . . . . .	19
4.5. Motorblock . . . . .	20

4.6.	Abgasrückführung . . . . .	24
4.7.	Ladeluftkühler . . . . .	27
4.8.	Turboaufladung . . . . .	29
4.9.	Initialisierung . . . . .	34
4.10.	Gesamtmodell . . . . .	34
<b>5.</b>	<b>Verifikation des Modells</b>	<b>36</b>
5.1.	Testumgebung in Dymola . . . . .	36
5.2.	Simulation . . . . .	37
5.2.1.	Statischer Vergleich des Modelica Modells mit den Messwerten . . . . .	37
5.2.2.	Vergleich des transienten Verhaltens . . . . .	39
<b>6.</b>	<b>Aufbau des Regelkreises</b>	<b>41</b>
6.1.	Prüfstandssimulation in Simulink . . . . .	41
6.1.1.	Regelkreise für das Motordrehmoment und die Motordrehzahl . . . . .	41
6.1.2.	Vorgabe der Solltrajektorien . . . . .	44
6.2.	Einbindung des Co-Simulationswerkzeuges ICOS . . . . .	47
6.2.1.	Schnittstellen zwischen Simulink und Dymola . . . . .	47
6.3.	Linearisierung in Dymola . . . . .	48
<b>7.</b>	<b>Modellbasierte prädiktive Regelung</b>	<b>50</b>
7.1.	Prinzip der modellbasierten prädiktiven Regelung . . . . .	51
7.1.1.	Prinzip des gleitenden Horizonts . . . . .	52
7.1.2.	Kostenfunktion . . . . .	52
7.2.	Anwendung der <i>MPC Toolbox</i> aus Simulink . . . . .	54
7.3.	Parametrierung des Reglers . . . . .	55
7.4.	Simulationsergebnisse . . . . .	57
<b>8.</b>	<b>Schlussbemerkung und Ausblick</b>	<b>60</b>
<b>A.</b>	<b>Abkürzungsverzeichnis</b>	<b>61</b>
<b>B.</b>	<b>Modelica Quellcode des Luftpfadmodells</b>	<b>62</b>
	<b>Literaturverzeichnis</b>	<b>85</b>

# Abbildungsverzeichnis

1.1. Emissionsgrenzen der europäischen Union . . . . .	2
2.1. Verbindung mehrerer Modelle in Modelica . . . . .	5
2.2. Dymola in der Diagramm Ansicht . . . . .	6
2.3. Einstellungen für die Simulation in Dymola . . . . .	7
3.1. Luftpfad eines modernen Dieselmotors . . . . .	9
4.1. Darstellung des Lufteinlassvolumen in Dymola . . . . .	19
4.2. Darstellung des Luftauslassvolumen in Dymola . . . . .	20
4.3. Kennfläche der Brenntemperatur . . . . .	21
4.4. Kennfläche der thermodynamischen Effizienz . . . . .	23
4.5. Darstellung des Motorblocks in Dymola . . . . .	23
4.6. Kennlinie der Rohrrestriktion in Abhängigkeit der Klappenposition . . . . .	25
4.7. Kennlinie der Rohrrestriktion in Abhängigkeit des Druckverhältnisses . . . . .	25
4.8. Darstellung der Abgasrückführung in Dymola . . . . .	26
4.9. Kennlinie der Drosselklappe in Abhängigkeit der Klappenposition . . . . .	28
4.10. Kennlinie der Drosselklappe in Abhängigkeit des Druckverhältnisses . . . . .	28
4.11. Darstellung des Ladeluftkühlers in Dymola . . . . .	29
4.12. Kennfläche der Kompressoreffizienz . . . . .	30
4.13. Kennfläche des Kompressormassenflusses . . . . .	31
4.14. Kennfläche der Turbineneffizienz aufgrund des Wärmetransfers . . . . .	32
4.15. Kennfläche der aerodynamischen Turbineneffizienz . . . . .	33
4.16. Kennfläche des Turbinenmassenflusses . . . . .	33
4.17. Darstellung des Turboladers in Dymola . . . . .	34
4.18. Darstellung des gesamten Luftpfades in Dymola . . . . .	35
5.1. Vergleich repräsentativer Größen der Simulation mit den Messwerten . . . . .	38
5.2. Vergleich des Matlab und des Dymola Modells bei sprungförmiger Anregung . . . . .	39
5.3. Vergleich des Matlab und des Dymola Modells bei sprungförmiger Anregung . . . . .	40
6.1. PI-Regelkreise für Drehzahl und Drehmoment . . . . .	42
6.2. Aufbau der PI-Regler . . . . .	42
6.3. Drehzahlabhängige Drehmoment- und Kraftstoffbegrenzung im PI-Regelkreis . . . . .	43
6.4. Drehzahlregelung als Prüfstandersatz . . . . .	43
6.5. Drehmomentregelung als Prüfstandersatz . . . . .	44
6.6. Kennlinien für die Vorgabe des Ladedrucks . . . . .	45
6.7. Kennlinien für die Vorgabe der Frischluftmasse . . . . .	46
6.8. Aufbau des Regelkreises für den Luftpfad . . . . .	46



6.9. Koppelung von Simulationswerkzeugen . . . . .	47
6.10. Betriebspunkte zur Linearisierung . . . . .	49
7.1. Schema einer modellbasierten prädiktiven Regelung . . . . .	52
7.2. MPR Block in Simulink . . . . .	54
7.3. Drehmomentsprung bei unterschiedlichen Prädiktionshorizonten . . . . .	56
7.4. Drehmomentsprung bei unterschiedlichen Regelungshorizonten . . . . .	57
7.5. Regelungsverlauf mit einem Regler . . . . .	58
7.6. Regelungsverlauf mit Wechsel des Linearisierungspunktes . . . . .	58

# Tabellenverzeichnis

4.1.	Notation der verwendeten Größen . . . . .	16
4.2.	Allgemeine Konstanten . . . . .	17
4.3.	Motorspezifische Konstanten . . . . .	17
4.4.	Referenzwerte Turbo . . . . .	30
4.5.	Werte der Zustandsvariablen zum Startzeitpunkt . . . . .	34
6.1.	Werte für PI-Regler . . . . .	44
6.2.	Gekoppelte Größen bei der Co-Simulation . . . . .	48
7.1.	Größen für die modellbasierte prädiktive Regelung . . . . .	51

# Danksagung

Der Autor bedankt sich bei Herrn Ao.Univ.-Prof. Dr.techn. Anton Hofer vom Institut für Regelungs- und Automatisierungstechnik (IRT) für fachliche Unterstützung bei der Durchführung dieser Arbeit. Ebenfalls danke ich der unterstützenden Firma „Firma AVL“ sowie der Technischen Universität Graz. Insbesondere möchte ich den Mitarbeitern des Virtuellen Fahrzeugs, Herrn Dipl. Ing. Martin Benedikt, Dipl. Ing. Michael Stolz und Dr. Daniel Watzenig danken, da sie eine große Hilfe bei der Lösung von Problemen waren.

Der Autor dankt dem „COMET K2 Forschungsförderungs-Programm“ des Österreichischen Bundesministeriums für Verkehr, Innovation und Technologie (BMVIT), des Österreichischen Bundesministeriums für Wirtschaft, Familie und Jugend (BMWFI), der Österreichischen Forschungsförderungsgesellschaft mbH (FFG), des Landes Steiermark sowie der Steirischen Wirtschaftsförderung (SFG) für die finanzielle Unterstützung.

Arnold Loidl  
Graz, Österreich, Juli 2012

# Kapitel 1

## Einleitung

Auch in der Automobilindustrie werden die Produktzyklen immer kürzer, wodurch es von großer Bedeutung ist, jede Modifikation am Motor direkt simulieren zu können. Dies setzt jedoch voraus, dass mathematische Modelle der Komponenten in adäquaten Genauigkeiten vorhanden sind. Dabei stellt die Wahl der Abstraktion ein interessantes Problem dar. Einerseits ist es einsichtig, dass eine zu wenig detaillierte Beschreibung des Systems Nachteile mit sich bringt, andererseits kann die Beschreibung von unnötigen Effekten die Komplexität und damit den benötigten Rechenaufwand stark erhöhen.

### 1.1. Aufgabenstellung

Als Ergebnis dieser Arbeit soll ein Modell des Luftpfades eines Dieselmotors zur Verfügung stehen. Dabei soll ein vom Virtuelles Fahrzeug (ViF) erstelltes Matlab/Simulink Modell als Basis herangezogen werden. Da es in der bisherigen Entwicklungsumgebung zu Problem bei der Initialisierung und zu algebraischen Schleifen gekommen ist, soll in dieser Arbeit die Modellierung in Dymola/Modelica erfolgen. Dadurch erwartet man sich eine deutliche Verbesserung hinsichtlich der benötigten Rechenzeit. Das Modell soll als Bibliothek für die Simulation in anderen Projekten verwendet werden können.

Anschließend ist eine Regelung zu erstellen, welche einem Motorprüfstand nachempfunden sein wird. Dabei ist der Zustand des gesamten Motors zu berücksichtigen, um eine Regelung für den Luftpfad zu entwerfen. Das Hauptaugenmerk ist auf eine modellbasierte Regelung zu legen, da nur bei dieser das gesamte Modellwissen einfließen kann. Diese Regelungsstrategie soll durch unterschiedliche Solltrajektorien für die Regelgrößen verifiziert werden.

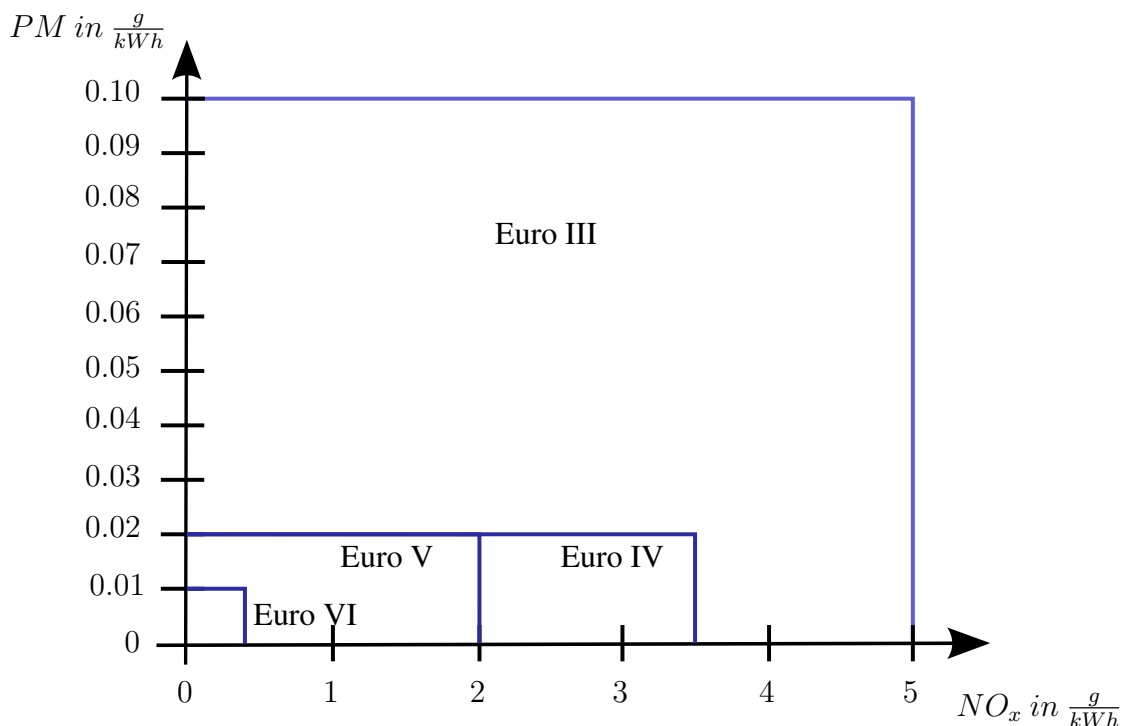
### 1.2. Prinzip eines Dieselmotors

Ein Dieselmotor ist ein selbstzündender Verbrennungsmotor, bei dem das Luft-Kraftstoffgemisch so weit komprimiert wird, bis es sich entzündet. Die darauf folgende exotherme Reaktion wird über den Kolben in mechanische Energie umgewandelt. Obwohl der erste Dieselmotor bereits Ende des 18. Jahrhunderts existierte, kann seine Effizienz durch neue Innovationen immer noch gesteigert werden. Vor allem die Möglichkeit zur Leistungssteigerung durch eine Turboaufladung und die elektronische Regelung des Motors haben in den letzten Jahrzehnten zu

seiner Beliebtheit beigetragen. Die momentanen Entwicklungen konzentrieren sich vor allem auf die Reduktion der Schadstoffemissionen.

## 1.3. Abgasverhalten

Bei der Verbrennung in einem Dieselmotor treten unterschiedliche Schadstoffe in Erscheinung. Die beiden wesentlichsten, welche auch einer gesetzlichen Limitierung unterliegen, sind Partikel und Stickoxide. Um eine Reduktion dieser Emissionen zu erreichen, werden große Anstrengungen unternommen. Durch eine verbesserte Regelung des Luftpfades kann die Entstehung der Emissionen reduziert werden. Eine zusätzliche Abgasnachbehandlung reduziert den Ausstoß nochmals deutlich. In Abbildung 1.1 sind die verschiedenen gesetzlichen Emissionsgrenzwerte dargestellt, welche von der Europäischen Union festgelegt wurden. Dabei gilt seit Oktober 2008 die Euro V Norm, wie in Abbildung 1.1 zu sehen ist, für Nutzfahrzeuge in der Europäischen Union. Diese Werte müssen unter möglichst geringen zusätzlichem Aufwand eingehalten werden. Zu Beginn des Jahres 2013 tritt nochmals eine drastische Verschärfung der Emissionsgrenzwerte durch das Inkrafttreten der *Euro VI* Abgasnorm ein. Ab diesem Zeitpunkt ist der Ausstoß von Rußpartikeln auf  $0.01g/kWh$  und von Stickoxiden auf  $0.4g/kWh$  gesetzlich begrenzt.



**Abbildung 1.1.:** Vorgeschriebene Grenzwerte in der EU für Nutzfahrzeuge, [DieselNet, 2012] und [Becher und Eggert, 2004]

# Kapitel 2

## Modellierungsumgebung Dymola/Modelica

*Modelica* ist eine offene Programmiersprache, die seit 1996 von einer europäischen Forschergruppe (Modelica Association) entwickelt wird, und von unterschiedlichen Softwarepaketen übersetzt werden kann, Fritzson [2003]. Im Rahmen dieser Arbeit wird die proprietäre Software *Dymola* für die Implementierung und Simulation verwendet.

### 2.1. Modellierungssprache Modelica

Das wichtigste Merkmal der Programmiersprache *Modelica* ist deren Objektorientiertheit. Dadurch hat man die Möglichkeit, komplexe physikalische Modelle sinnvoll in Klassen aufzuteilen und einzelne Komponenten wiederverwenden zu können. Außerdem ist es einfach möglich, physikalische Systeme aus unterschiedlichen Domänen, wie Elektrik, Mechanik, Thermodynamik, usw., in einem Gesamtmodell zu simulieren.

#### 2.1.1. Aufbau eines Modells

Jedes Modell wird in *Modelica* durch eine eigene Klasse repräsentiert. Erst durch die Verwendung des Modells, entweder als Teil eines anderen oder in einer Testumgebung, wird ein konkretes Objekt der Klasse instanziiert. Der Aufbau eines einfachen Modells ist exemplarisch in Listing 2.1 dargestellt. In diesem Beispiel ist die Bewegung einer rotierenden Masse angeführt. Dazu muss die Differentialgleichung 2.1 für die Drehzahl  $N(t)$  implementiert werden:

$$\frac{dN(t)}{dt} = \frac{M(t)}{2 \cdot \pi \cdot J} \text{ mit } N(0) = 100 \quad (2.1)$$

In diesem Beispiel wird in Zeile 3 das für die Modellierung erforderliche Drehmoment  $M(t)$  definiert und in Zeile 7 das Massenträgheitsmoment  $J$ , welches ein konstanter Parameter ist. Die Implementierung der Differentialgleichung erfolgt ausschließlich in Zeile 15. Der andere Teil des Modells stellt die Definition der benötigten Größen und die Initialisierung der Drehzahl dar. Zu beachten ist, dass alle Zuweisungen, die im Abschnitt *initial algorithm* sind, ausschließlich vor Simulationsbeginn zur konsistenten Initialisierung des gesamten Systems herangezogen werden.

```

1  model Rotationsmasse
2      // Definition der Ein- und Ausgänge
3      Modelica.Blocks.Interfaces.RealSignal M;
4      Modelica.Blocks.Interfaces.RealSignal N;
5
6      // Definition bzw. importieren der benötigten Konstanten
7      parameter Modelica.SIunits.MomentOfInertia J = 1;
8      import Modelica.Constants.pi;
9
10     algorithm
11         // Implementation von Zuweisungssequenzen
12
13     equation
14         // Abbildung der physikalischen Beziehungen zwischen den
15         // Größen
16         der(N) = M/(2*pi*J)
17
18     initial algorithm
19         // Initialisierung der speichernden Elemente
20         N = 100;
21 end Rotationsmasse;

```

Listing 2.1: Beispiel eines einfachen Modells in Modelica

## 2.1.2. Datenstruktur Record

In Modelica beschreiben sogenannte *records* Klassen, welche nur Daten enthalten. Durch dieses Konzept besitzt der Anwender die Möglichkeit, die Objektorientiertheit durch das gesamte Modell beizubehalten. Es handelt sich dabei um eine Klasse, in der weder Gleichungen noch Algorithmen vorkommen. Diese kann, wie sämtliche anderen Klassen auch, initialisiert und mit den zum Modell gehörigen Daten ausgestattet werden. Besonders eignet sich diese Komponente zur Speicherung von modellspezifischen Daten.

## 2.1.3. Verbindung von Modellen

Die Kommunikation zwischen zwei Objekten erfolgt über Anschlüsse (engl. *connectoren*), welche einfach durch Linien symbolisiert werden. In Abbildung 2.1 sind schematisch drei Modelle dargestellt, die miteinander verbunden werden. Um zwei Anschlüsse durch eine Verbindung (engl. *connection*) zu verbinden müssen beide vom selben Typ sein. Dies ist vor allem deshalb notwendig, da in *Modelica* mehrere physikalische Größen durch eine Verbindung verbunden werden können. Ein elektrischer Anschluss repräsentiert zum Beispiel die Spannung  $u(t)$  und den Strom  $i(t)$ .

Um das gesamte Modell in einer anschaulichen Weise gestalten zu können, ist es oft erforderlich, einen passenden *Connector* zu erstellen. Dies geschieht in Listing 2.2 am Beispiel eines elektrischen Anschlusses.

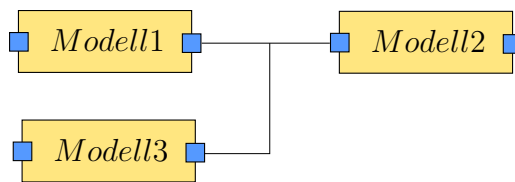


Abbildung 2.1.: Verbindung mehrerer Modelle in Modelica

```

1  connector Elektrisch
2
3      Modelica.SIunits.Voltage v;
4      Modelica.SIunits.Current i;
5
6  end Elektrisch;

```

Listing 2.2: Beispiel einer elektrischen Verbindung

## 2.1.4. Unterschied zwischen Algorithmen und Gleichungen

Ein wesentlicher Unterschied zu anderen Programmiersprachen ergibt sich durch die Möglichkeit, eine gleichungsbasierte Eingabe vornehmen zu können. Dies hat zur Folge, dass durch die Beschreibung der Beziehung der physikalischen Größen im *equation* Abschnitt keine Datenflussrichtung vorgegeben ist. Auch die Reihenfolge der Beziehungen ist irrelevant für das Verhalten des Modells. Für den Programmierer setzt dies im Gegensatz zu herkömmlichen Sprachen eine veränderte Denkweise voraus. [Fritzson, 2003, S.237]

Diese Vorgehensweise wird in Dymola durch eine symbolische Manipulation (engl. „*symbolic manipulation*“) durchgeführt. Dabei werden im ersten Schritt die implementierten Gleichungen bezüglich ihrer Abhängigkeiten analysiert. Danach werden die unbekanntenen Größen identifiziert und gegebenenfalls Eliminierungen durchgeführt, ohne dabei die modellierte Funktionalität zu verändern. Das Ergebnis der symbolischen Manipulation sind Gleichungen, die einerseits in einer geeigneten Reihenfolge zur Berechnung angeordnet sind, andererseits bereits auf die zu berechnende Größe umgeformt wurden. Zusätzlich kann durch eine geringere Anzahl von Gleichungen der Berechnungsaufwand reduziert werden. [Claytex]

Da es in vielen Fällen trotzdem notwendig ist, eine Reihe von Befehlen in zeitlicher Reihenfolge abzuarbeiten, wird auch diese Möglichkeit durch den Abschnitt *algorithm* zur Verfügung gestellt. Dieser Abschnitt kann in einem Modell auch in eine *function* ausgegliedert werden, um die Übersichtlichkeit zu erhöhen. Dadurch ist es z.B. elegant möglich, Werte aus modellierten Funktionen abzufragen. Die Definition einer solchen Funktion ist in Listing 2.3 dargestellt.

```

1  function kennflaeche
2      // Definition der Ein- und Ausgänge
3      input Real in1;
4      input Real in2;
5      output Real out;
6
7      algorithm
8          // Implementation von Zuweisungssequenzen
9          out = in1 + in1^2 + in2;

```



```
10 | end kennflaeche;
```

**Listing 2.3:** Definition einer Funktion

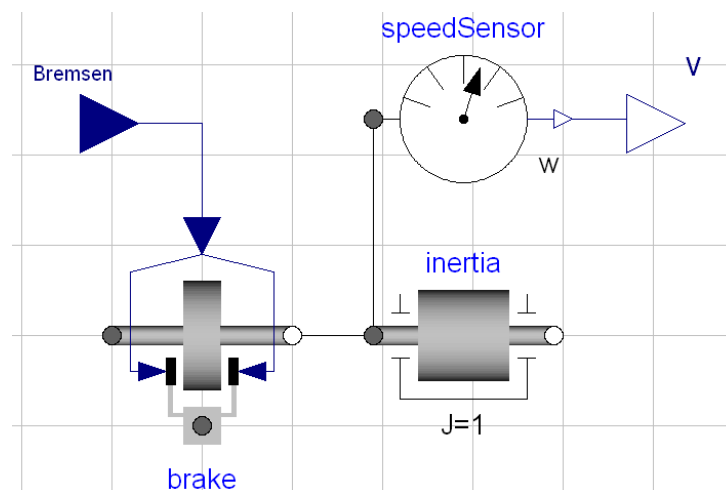
## 2.2. Simulationswerkzeug Dymola

Die Software Dymola wird in dieser Arbeit verwendet, um das in Modelica erstellte Modell des Luftpfades zu übersetzen und zu simulieren. Dabei handelt es sich um eine ausgereifte Software von der Firma *Dynasim* ©. Als Löser wird ein in Dymola implementierter differential-algebraischer Gleichungslöser (engl. „*differential algebraic system solver*“, DASSL) verwendet, da dieser positive Eigenschaften bezüglich der Rechengeschwindigkeit bei komplexen hybriden Systemen aufweist [Felgner]. DASSL verwendet eine Rückwärtsdifferenziation, sogenannte „*Backward Differentiation Formulas*“ (BDFs) Verfahren bis zur 5. Ordnung.

Diese Mehrschrittverfahren sind besonders bei steifen System beliebt, da sie bessere Stabilitätseigenschaften aufweisen.

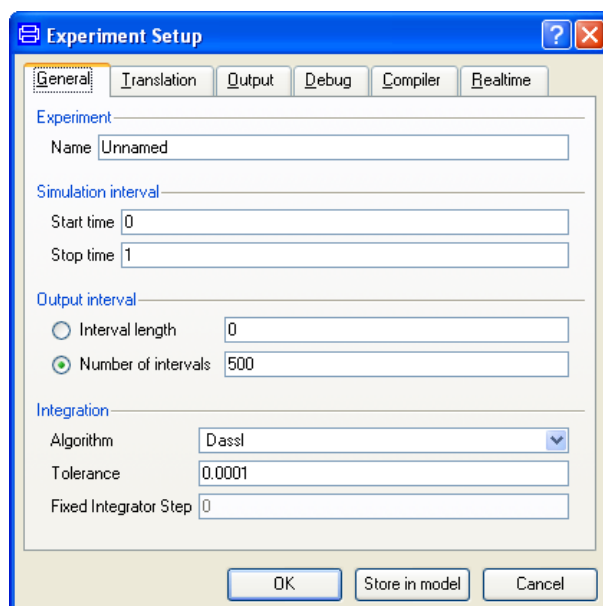
### 2.2.1. Handhabung von Dymola

Neben der zuvor beschriebenen Texteingabe bietet Dymola die Möglichkeit, im sogenannten Diagramm Abschnitt die Funktionalität durch Verbindung von Teilkomponenten herzustellen. Dies ist in Abb. 2.2 dargestellt. Die Schnittstellen zur Kommunikation mit anderen Komponenten symbolisieren die beiden Dreiecke. In diesem Beispiel wird über die Schnittstelle *Bremsen* ein Bremsmoment vorgegeben, mit dem die Masse *inertia* abgebremst werden kann. Über den *speedSensor* kann die Geschwindigkeit ermittelt und über den Port *v* ausgegeben werden. Nach



**Abbildung 2.2.:** Dymola in der Diagramm Ansicht

der Implementierung der Funktionalität ist es bequem möglich, über den Simulationsknopf zur Simulationsansicht zu wechseln. Bevor nun die Simulation gestartet werden kann, sollte man die Werte in den Simulationseinstellungen überlegt einstellen. Dies umfasst, wie in Abb. 2.3 dargestellt die Startzeit (engl. *starttime*), Endzeit (engl. *stoptime*) und Anzahl der Berechnungsintervalle (engl. *number of intervals*), um die Berechnungspunkte festzulegen. Weiters kann man den gewünschten Algorithmus und die verwendete Toleranz auswählen.



**Abbildung 2.3.:** Einstellungen für die Simulation in Dymola

# Kapitel 3

## Modellierung des Luftpfades eines Dieselmotors

Um die wichtige Entscheidung der Modellierungstiefe treffen zu können, muss zunächst die Verwendung des Modells klar abgegrenzt werden. Anhand des in Dymola erstellten Modells soll es möglich sein, verschiedene Regelungsstrategien testen zu können. Das Modell des Luftpfades dient für die Simulation der Regelstrecke beim Reglerentwurf. Grundsätzlich existieren zwei unterschiedliche Ansätze zur Modellierung des Luftpfades eines Verbrennungsmotors, welche sich hinsichtlich des Detaillierungsgrades unterscheiden.

- *Discrete-Event Model* (DEM)

Bei dieser Art der Modellierung wird die exotherme Reaktion in jedem Zylinder als diskretes Ereignis betrachtet. Dies bedeutet, dass es notwendig ist, die Position der Zylinder genau zu wissen. Deshalb wird der Zustand des Modells über den Kurbelwellenwinkel dargestellt. Dadurch besteht die Möglichkeit, detaillierte Effekte, die bei der Verbrennung auftreten, zu berücksichtigen. Diesem Vorteil steht der deutlich höhere Rechenaufwand gegenüber. [Guzzella und Onder, 2004, Seite 129]

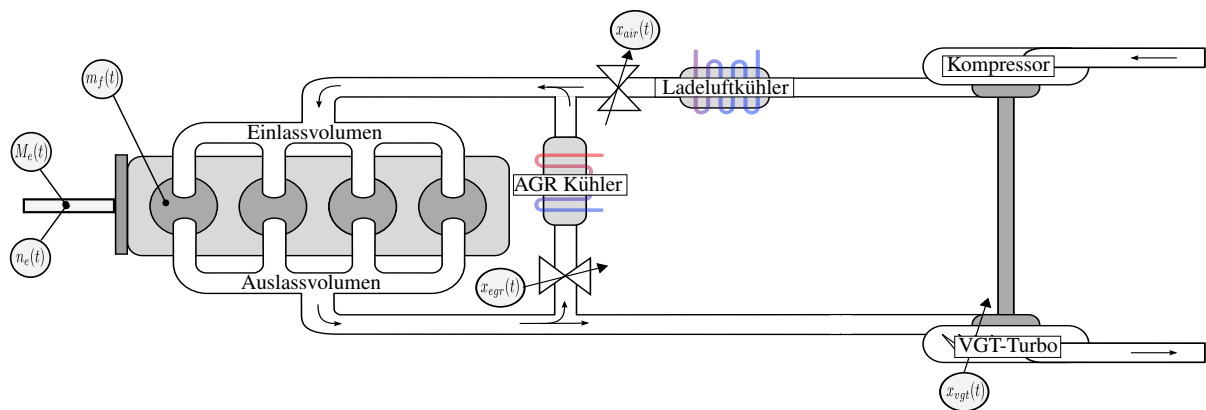
- *Mean-Value Model* (MVM)

Dem gegenüber steht die Modellierung durch eine Mittelwertbildung des Verbrennungsvorganges. Dabei wird auf die detaillierten Phänomene, die bei der Zündung des Kraftstoff-Luftgemisches auftreten verzichtet. Für die beiden relevanten Größen, dem erzeugten Motordrehmoment und der Brenntemperatur werden Kennlinien erstellt, welche für die Modellierung herangezogen werden.

Das in dieser Arbeit entworfene Modell des Luftpfades dient zur Verifikation von unterschiedlichen Regelungsstrategien. Die einzigen Eingriffsmöglichkeiten für die Regler bestehen über die Klappenstellungen im Luftpfad, worauf das zu erstellende Modell jedoch relativ träge reagiert. Deshalb ist es im Rahmen dieser Arbeit ausreichend sich auf das *Mean-Value Model* zu beschränken.

### 3.1. Überblick über den gesamten Luftpfad

Bevor in die detaillierte Modellierung näher eingegangen wird, ist in Abbildung 3.1 ein Luftpfad eines Dieselmotors abgebildet. Dieser enthält die wesentlichen Komponenten, wie eine Abgasrückführung mit der dazugehörigen Klappenposition  $x_{egr}(t)$  und eine Abgasurboaufladung



**Abbildung 3.1.:** Luftfad eines modernen Dieselmotors

mit der Turbinenstellung  $x_{vgt}(t)$  als Eingangsgröße in das System. Weiters ist eine Drosselklappe bei der Luftzufuhr verbaut, welche mit dem Signal  $x_{air}(t)$  angesteuert wird. Die Drehzahl des Motors wird mit  $n_e(t)$  und die eingespritzte Kraftstoffmenge mit  $m_f(t)$  dargestellt. Das erzeugte Motordrehmoment  $M_e(t)$  liegt schließlich an der Welle an.

Über die bereits erwähnten Größen Motordrehzahl  $n_e(t)$  und Kraftstoffmenge  $m_f(t)$  wird dem Luftpfad der aktuelle Zustand des gesamten Verbrennungsmotors aufgeprägt. Der Abgasturbo-lader ist ein beliebtes Mittel zur Leistungssteigerung eines Verbrennungsmotors. Um die Steigerung der Leistung beeinflussen zu können wurde die Stellung der Turbinenschaufeln variabel ausgeführt. Aufgrund der bereits beschriebenen gesetzlichen Emissionsbeschränkungen wird in modernen Dieselmotoren eine Abgasrückführung verbaut. Eine hohe Abgasrückführtrate führt zu geringeren Stickoxidemissionen bei der Verbrennung. Über das Volumen am Eingang gelangt das Kraftstoff-Luftgemisches zu den Zylindern, in denen die Verbrennung abläuft. Anschließend wird das heiße Abgas über das Auslassvolumen zur Turboaufladung und über die Abgasrückführung wieder zum Einlassvolumen geleitet.

## 3.2. Darstellung von Volumina

Um die Dynamik des Systems ausreichend erfassen zu können, ist es notwendig, die markanten Volumina des Luftpfades als solche zu modellieren. Wiederum stellt sich die Frage der Modellierungstiefe. Um den Aufwand in Grenzen zu halten, ohne dabei eine zu große Ungenauigkeit in Kauf zu nehmen, werden folgende Vereinfachungen getroffen [Guzzella und Onder, 2004]:

- Homogene Zusammensetzung des Stoffes im Volumen
- Homogene Verteilung der Größen Temperatur und Druck
- Konstante Volumengröße
- Keine sonstigen Energieverluste

Die maßgebliche Beziehung stellt die *thermische Zustandsgleichung idealer Gase* dar [Baehr und Kabelac, 2006, S.208]:

$$p(t) \cdot V = m(t) \cdot R \cdot T(t) \quad (3.1)$$

Sie verbindet, die für das Volumen  $V$  bestimmenden Größen, Druck  $p(t)$ , Masse  $m(t)$ , Temperatur  $T(t)$  und die spezifische Gaskonstante  $R$ . An dieser Stelle wird eine neue Zustandsgröße

der Thermodynamik, die Enthalpie  $H(t)$  in  $J$ , eingeführt:

$$H(t) = U + p(t) \cdot V \quad (3.2)$$

Diese Enthalpie setzt sich aus der Summe von innerer Energie  $U$  und dem Produkt von Druck  $p(t)$  und Volumen  $V$  zusammen und kennzeichnet dadurch den Energiegehalt eines Stoffstromes. Die innere Energie setzt sich wiederum aus der termischen-, chemischen- und potentiellen Energie eines Stoffes zusammen. Um eine Energiebilanz über ein Volumen mit einer Eintritts- und Austrittsöffnung erstellen zu können ist es des Weiteren notwendig, die Situation an dessen Öffnungen zu beschreiben. Dies geschieht mit dem Enthalpiestrom:

$$\begin{aligned} \dot{H}_{zu}(t) &= c_p \cdot T_{zu}(t) \cdot W_{zu}(t) \\ \dot{H}_{ab}(t) &= c_p \cdot T(t) \cdot W_{ab}(t) \end{aligned} \quad (3.3)$$

$W_{zu}(t)$  und  $W_{ab}(t)$  repräsentieren die Massenzu- und Abflüsse und  $c_p$  den spezifischen Wärmekoeffizienten bei konstantem Druck. Dabei wird von einer guten Durchmischung des Mediums in dem Volumen ausgegangen, wodurch für den austretenden Enthalpiestrom  $\dot{H}_{ab}(t)$  die Temperatur  $T(t)$  im Volumen verwendet werden kann. Weiters lässt sich, die im Volumen enthaltene Masse  $m(t)$  und die Änderung der im Gas enthaltenen Energie  $E(t)$  über die Zu- und Abflüsse darstellen:

$$\begin{aligned} \dot{m}(t) &= W_{zu}(t) - W_{ab}(t) \\ \dot{E}(t) &= \dot{H}_{zu}(t) - \dot{H}_{ab}(t) \end{aligned} \quad (3.4)$$

Da von einer adiabatischen Zustandsänderung ausgegangen wird, das heißt es treten keine Wärmetransmissionen durch die Wand des Volumens auf, ist es für die Energiebilanz ausreichend, die beiden Enthalpieflüsse  $\dot{H}_{zu}(t)$  und  $\dot{H}_{ab}(t)$  durch die Rohre zu verwenden. Ersetzt man die Größen in Glg. 3.4 durch die Beziehungen 3.3 aus der Wärmelehre, resultiert daraus die für diese Arbeit hinreichend genaue Beschreibung eines im Volumen enthaltenen Gases:

$$\begin{aligned} \dot{p}(t) &= \frac{dp(t)}{dt} = \frac{\gamma \cdot R}{V} (W_{zu}(t) \cdot T_{zu}(t) - W_{ab}(t) \cdot T(t)) \\ \dot{m}(t) &= \frac{dm(t)}{dt} = W_{zu}(t) - W_{ab}(t) \\ T(t) &= \frac{p(t) \cdot V}{R \cdot m(t)} \end{aligned} \quad (3.5)$$

Das Modell enthält als Zustandsgrößen den Druck  $p(t)$  und die Masse  $m(t)$ . Die Temperatur lässt sich aus der algebraischen Glg. 3.1 ermitteln. Der Parameter  $\gamma$  symbolisiert das spezifische Wärmeverhältnis.

### 3.3. Klappen als Rohrrestriktionen

Unter Rohrrestriktion versteht man einen Widerstand eines durchströmten Rohres, der zu einem Druckabfall führt. Dieser Widerstand kann sich durch die Bauform des Rohres ergeben, oder wie im Fall dieser Arbeit, gezielt als Ventil eingebaut werden, siehe [Jankovic und Kolmanivski, 2000, S.288] und [Heywood, 1988, S.226]. Durch die Ventilstellung  $x(t)$  ist die effektive Fläche der Rohrrestriktion  $A_{eff}(t)$  eine zeitvariable Größe. Da die Rohre von Luft durchströmt werden,

ist es sinnvoll, bei der Betrachtung des Massenflusses  $\dot{m}(t)$  von einem kompressiblen Medium auszugehen, um die Genauigkeit zu erhöhen. Dieser Massenfluss hängt von den thermodynamischen Eigenschaften des einströmenden Gases  $p_{zu}(t)$  und  $T_{zu}(t)$ , sowie dem Gegendruck  $p_{ab}(t)$  ab:

$$\dot{m}(t) = A_{eff}(t) \cdot \frac{p_{zu}}{\sqrt{R \cdot T_{zu}(t)}} \cdot \Psi\left(\frac{p_{zu}(t)}{p_{ab}(t)}\right) \quad (3.6)$$

Die Definition der Funktion  $\Psi\left(\frac{p_{zu}(t)}{p_{ab}(t)}\right)$  erfolgt in Gleichung 3.8. In einem stationären Betriebspunkt tritt es auf keinen Fall ein, dass sich die Richtung des Massenflusses ändert. In jedem Rohrabschnitt ist die Richtung des Fluids im stationären Fall vorgegeben. Bei raschen Betriebspunktwechsel, also im transienten Fall, ist es jedoch sehr wohl möglich, dass sich aufgrund geänderter Druckverhältnisse auf beiden Seiten der Rohrrestrition die Richtung des Massenflusses kurzfristig ändert. Deshalb ist es notwendig, die in Gleichung 3.7 dargestellte Fallunterscheidung vorzunehmen. Eingangs- und Ausgangsgrößen werden vertauscht, und zusätzlich das Vorzeichen des Massenflusses geändert:

$$\dot{m}(t) = \begin{cases} A_{eff}(t) \cdot \frac{p_{ab}}{\sqrt{R \cdot T_{ab}(t)}} \cdot \Psi\left(\frac{p_{ab}(t)}{p_{zu}(t)}\right) & \text{falls } p_{zu}(t) > p_{ab}(t) \\ 0 & \text{falls } p_{zu}(t) = p_{ab}(t) \\ -A_{eff}(t) \cdot \frac{p_{zu}}{\sqrt{R \cdot T_{zu}(t)}} \cdot \Psi\left(\frac{p_{zu}(t)}{p_{ab}(t)}\right) & \text{falls } p_{zu}(t) < p_{ab}(t) \end{cases} \quad (3.7)$$

In der Korrekturfunktion für den Massenfluss  $\Psi\left(\frac{p_{zu}(t)}{p_{ab}(t)}\right)$  tritt ebenfalls eine Fallunterscheidung auf:

$$\Psi\left(\frac{p_{zu}(t)}{p_{ab}(t)}\right) = \begin{cases} \sqrt{\gamma \cdot \left(\frac{2}{\gamma+1}\right)^{\frac{\gamma+1}{\gamma-1}}} & \text{falls } \frac{p_{zu}(t)}{p_{ab}(t)} \leq \left(\frac{2}{\gamma+1}\right)^{\frac{\gamma}{\gamma-1}} \\ \sqrt{\frac{2 \cdot \gamma}{\gamma-1} \left( \left(\frac{p_{zu}}{p_{ab}}\right)^{\frac{2}{\gamma}} - \left(\frac{p_{zu}}{p_{ab}}\right)^{\frac{\gamma+1}{\gamma}} \right)} & \text{sonst} \end{cases} \quad (3.8)$$

Diese ist notwendig, da Gase bei Erreichen der Schallgeschwindigkeit ein anderes Verhalten aufweisen. An der engsten Stelle der Drosselklappe wird die Schallgeschwindigkeit erreicht, sobald das anliegende Druckverhältnis einen kritischen Wert überschreitet, [Guzzella und Onder, 2004].

### 3.4. Modellierung des Verbrennungsvorgangs

Wie bereits erwähnt erfolgt die Modellierung im Rahmen dieser Arbeit durch das sogenannte Mittelwertmodell. Deshalb wird der Verbrennungsvorgang nicht explizit modelliert. Für die beiden Größen Verbrennungstemperatur  $T_e(t)$  und erzeugtes Drehmoment  $M_e(t)$  werden Kennlinien hinterlegt. Entscheidend für die Modellierung des Luftpades ist der Massenfluss, welcher durch den Motorblock gepumpt wird. Dieser lässt sich einfach wie in Gleichung 3.9 darstellen, indem die Masse in den Zylindern  $m_{zyl}(t)$  mit der Anzahl der Pumpzyklen multipliziert wird. Diese ergeben sich aus der Motordrehzahl  $N_e(t)$  und den Umdrehungen pro Zyklus  $N_{re}$ . Die Verluste des Pumpprozesses werden durch die volumetrische Effizienz  $\eta_{vol}$  repräsentiert.

$$W_{zu,ab} = \eta_{vol} \cdot m_{zyl}(t) \cdot \frac{N_e(t)}{60 \cdot N_{re}} \quad (3.9)$$

Wird die Masse durch die *thermische Zustandsgleichung idealer Gase* aus Gleichung 3.1 ersetzt, erhält man Glg. 3.10. In dieser stellt die Anzahl der Zylinder  $N_{zyl}$  in Kombination mit dem Zylindervolumen  $V_d$  das gesamte zur Verfügung stehende Volumen dar:

$$W_{zu,ab} = \eta_{vol} \cdot \frac{p_{zu}(t) \cdot N_{zyl} \cdot V_d}{R \cdot T_{zu}(t)} \cdot \frac{N_e(t)}{60 \cdot N_{re}} \quad (3.10)$$

Eine Veränderung der eingespritzten Brennstoffmasse kann sich erst auf das erzeugte Drehmoment auswirken, wenn eine Verbrennung in einem der Zylinder stattgefunden hat. Da durch die Verwendung des Mittelwertmodells dies nicht in physikalischen Gleichungen berücksichtigt werden kann, muss eine Totzeit<sup>1</sup>  $\tau_{IPS}(t)$  diese Verzögerung modellieren. Das selbe Verhalten weist die ausströmende Luftmasse aus dem Motorblock auf, auch hier wird eine weitere Totzeit<sup>2</sup>  $\tau_{IEG}(t)$  berücksichtigt [Guzzella und Onder, 2004].

## 3.5. Kühlereinheiten

Die Kühler in einem Verbrennungsmotor dienen dazu, das einströmende heiße Gasgemisch abzukühlen. Dazu muss dem Medium Energie entzogen werden. Die niedrigeren Temperaturen an der Ausgangsseite senken die Temperatur in den Zylindern ab, wodurch sich verbesserte Eigenschaften bezüglich der Schadstoffbildung ergeben. Die entzogene Energie wird durch ein flüssiges Kühlmittel abgeführt. Man kann sich einen an dieser Stelle modellierten Kühler als einen Wärmetauscher vorstellen. Die Modellierung der den Wärmeübertragungen zugrunde liegenden physikalischen Beziehungen würde die Modellierungstiefe des in dieser Arbeit erforderlichen Modells übersteigen. Deshalb wird ein verhältnismäßig einfaches Modell, aus [Jung, 2003] für die Darstellung der Kühler verwendet, wobei die Temperatur der Kühlmittelflüssigkeit  $T_{KM}$  als konstant angenommen und ein Effizienzfaktor  $\eta$  des gesamten Kühlers eingeführt wird. Damit erhält man die Austrittstemperatur  $T_{ab}(t)$  des ausströmenden Gases in Abhängigkeit der Eintrittstemperatur  $T_{zu}(t)$ :

$$T_{ab}(t) = \eta \cdot T_{KM} + (1 - \eta) \cdot T_{zu}(t) \quad (3.11)$$

Durch die Einführung der Effizienz  $\eta$  besteht die Möglichkeit festzulegen, in welchem Maße die Übertragung der Wärme stattfindet. Dies ist wiederum vom Aufbau des Kühlers abhängig, wird an dieser Stelle jedoch nicht näher behandelt.

## 3.6. Darstellung des Anteils verbrannter Luft

Die von dem Kompressor aus der Umgebung angesaugte Luft besteht zu ungefähr 78% aus Stickstoff ( $N_2$ ), zu 21% aus Sauerstoff ( $O_2$ ) und zu 1% aus einer Vielzahl von anderen Gasen. Für die Verbrennung in einem Dieselmotor ist jedoch nur der Sauerstoff relevant, da nur

<sup>1</sup>induction to power stroke - Verzögerung vom Eintritt des Kraftstoffes in den Verbrennungsraum bis zum Anliegen des Motordrehmoments an der Welle

<sup>2</sup>induction to exhaust gas - Verzögerung vom Eintritt in den Verbrennungsraum bis zum Austritt in den Abgasstrang

dieser in der Verbrennung eine Reaktion eingeht. Er reagiert mit dem im Kraftstoff enthaltenen Kohlenstoff ( $C$ ) zu Kohlendioxid ( $CO_2$ ). Da der Sauerstoff ohne Einwirkung einer anderen Komponente aus der Luft eine Reaktion eingeht, kann die Betrachtung auf verbrannte Luft und unverbrannte Luft eingeschränkt werden. Um die Zusammensetzung des Gases im Motor zu beschreiben, ist es notwendig, den Anteil der verbrannten Luft  $F(t)$  im Einlass sowie im Auslass zu modellieren. Die logische Definition aus [Chauvin und Petit, 2007] lautet:

$$F(t) = \frac{m_{\text{verbrannt}}(t)}{m(t)} = \frac{m(t) - m_{\text{Frischluf}}(t)}{m(t)} \quad (3.12)$$

und deren Ableitung:

$$\frac{dF(t)}{dt} = \frac{\dot{m}_{\text{verbrannt}}(t) \cdot m(t) - m_{\text{verbrannt}}(t) \cdot \dot{m}(t)}{m^2(t)} \quad (3.13)$$

Die Summe aus der Masse der verbrannten Luft  $m_{\text{verbrannt}}(t)$  und der unverbrannten Luft  $m_{\text{Frischluf}}(t)$  ergibt die gesamte im Volumen befindliche Masse  $m(t)$ . Da nun der Anteil der unverbrannten Luft bekannt ist, ist es einfach möglich dies in Verhältnis zu jener Frischluft zu setzen, die notwendig ist, um eine vollständige Verbrennung<sup>3</sup> zu erreichen:

$$\lambda = \frac{\dot{m}(t) \cdot (1 - F)}{f_{st} \cdot \dot{m}_f(t)} \quad (3.14)$$

Der Zähler repräsentiert die vorhandene Frischluft, im Nenner befindet sich die vorhandene Kraftstoffmenge  $m_f$  multipliziert mit dem Stöchiometrischen Faktor für Diesel  $f_{st}$ , der beschreibt wie viel Sauerstoff notwendig ist, um den Kraftstoff zu verbrennen. Es wird ein  $\lambda$  von mindestens 1 benötigt, um eine vollständige Verbrennung zu erreichen. In der Praxis muss das Verhältnis sogar höher sein, da nicht von einer idealen Vermischung der Gase im Brennraum ausgegangen werden kann.

Wird  $m_{\text{verbrannt}}(t)$  durch den 1. Teil der Gleichung 3.12 ersetzt, führt dies zu:

$$\frac{dF(t)}{dt} = \frac{\dot{m}_{\text{verbrannt}}(t) - F(t) \cdot \dot{m}(t)}{m(t)} \quad (3.15)$$

Diese Ableitung wird später in Kapitel 4 benötigt, um die Differentialgleichungen für die Anteile der verbrannten Luft in den jeweiligen Rohrabschnitten zu erhalten.

## 3.7. Modellierung der Turboaufladung

In dem zu modellierenden Motor wird ein Abgasturbolader verwendet. Dieser nutzt die im Abgas enthaltene kinetische Energie, um über ein Schaufelrad eine Welle anzutreiben. Am anderen Ende der Welle ist ebenfalls ein Schaufelrad angebracht, welches die einströmende Luft verdichtet. Da die Aufladung über eine VGT verfügt, ist es möglich, über die Stellung  $x_{vgt}(t)$  der Turbinenschaufel die Stärke der Kompression der Frischluft einzustellen. Die Drehzahl der starren Welle kann mit Hilfe des Drallsatzes über eine Leistungsbilanz gebildet werden, Glg.

<sup>3</sup>Bei einer vollständigen Verbrennung geht der gesamte im Kraftstoff enthaltene Kohlenstoff zu Kohlendioxid über



3.16. Dieser beschreibt die Änderung der Drehzahl  $N_t(t)$  aufgrund des einwirkenden Drehmoments  $M(t)$ , unter der gegebenen Geometrie mit dem Massenträgheitsmoment  $J$ :

$$\frac{dN_t(t)}{dt} = \frac{60}{2\pi} \frac{M(t)}{J} \quad (3.16)$$

Das Drehmoment wird durch eine Bilanzierung der Leistungen und der momentan vorliegenden Turbinendrehzahl  $N_t(t)$  errechnet:

$$M(t) = \frac{60}{2\pi} \frac{P_{zu}(t) - P_{ab}(t)}{N(t)} \quad (3.17)$$

Darin fließen die von der Turbine auf die Welle gebrachte Leistung  $P_{zu}(t)$  und die von dem Kompressor entzogene Leistung  $P_{ab}(t)$  ein. Setzt man Gleichung 3.17 in Gleichung 3.16 ein erhält die Differentialgleichung zur Beschreibung der Turbinendrehzahl:

$$\frac{dN_t(t)}{dt} = \left(\frac{60}{2\pi}\right)^2 \frac{P_{zu}(t) - P_{ab}(t)}{J \cdot N_t(t)} \quad (3.18)$$

Zur Beschreibung des Kompressorverhaltens wird ein üblicher Ansatz aus [Moraal und Kolmanovsky, 1999] und [Jung, 2003] verwendet. Dabei wird zuerst ein isentropischer Prozess angenommen, das heisst, die Entropie  $S(t)$  ist konstant. Damit kann das Verhältnis der Temperaturen und Drücke, die vor und nach dem isentropischen Prozess vorherrschen, wie folgt beschrieben werden:

$$\frac{T_{ab, is}(t)}{T_{zu}(t)} = \left(\frac{p_{ab}(t)}{p_{zu}(t)}\right)^{\frac{\gamma-1}{\gamma}} \quad (3.19)$$

Aufgrund der Tatsache, dass ein Prozess in der Realität nicht ohne Verluste ablaufen kann, muss eine Maßnahme getroffen werden, diese in der Modellierung zu berücksichtigen. An dieser Stelle wird eine Effizienz  $\eta_c(t)$  eingeführt, welche die Verluste, die bei der Kompression auftreten, ausreichend mitberücksichtigt:

$$\eta_c(t) = \frac{T_{ab, is}(t) - T_{zu}(t)}{T_{ab}(t) - T_{zu}(t)} \quad (3.20)$$

Gleichung 3.20 wird auf  $T_{ab}(t)$  umgeformt und die darin enthaltene Größe  $T_{ab, is}(t)$  durch die Beziehung 3.19 ersetzt. Dadurch erhält man als Ergebnis mit Gleichung 3.21 eine Beziehung für die Ausgangstemperatur  $T_{ab}(t)$  des Kompressors in Abhängigkeit der Eigenschaften des einströmenden Gases, Temperatur  $T_{zu}(t)$ , Druck  $p_{zu}(t)$ , des Druckes am Ausgang  $p_{ab}(t)$ , zuzüglich einer Effizienz  $\eta_c(t)$ :

$$T_{ab}(t) = T_{zu}(t) + \frac{T_{zu}(t)}{\eta_c(t)} \left( \left(\frac{p_{ab}(t)}{p_{zu}(t)}\right)^{\frac{\gamma-1}{\gamma}} - 1 \right) \quad (3.21)$$

Somit fehlt noch der Zusammenhang zwischen dem Massenfluss  $W_c(t)$  und der in der Differentialgleichung 3.17 benötigten Leistung  $P(t)$ . Diese Leistung ist erforderlich, um die Luftmasse  $W(t)$  befördern zu können. In diese Gleichung fließen die Temperatur vor dem Kompressor, also die Außentemperatur  $T_a(t)$ , jene nach der Kompression  $T_c(t)$ , sowie der spezifische Wärmekoeffizient bei konstantem Druck  $c_p$  ein:

$$P_c(t) = W_c(t) \cdot c_p \cdot (T_c(t) - T_a(t)) \quad (3.22)$$

# Kapitel 4

## Umsetzung in Modelica

Dieses Kapitel beschreibt die konkrete Implementierung des Luftpfadmodells einer Verbrennungskraftmaschine. Als markante Eigenschaften sind der Abgasturbolader und die Abgasrückführung zu erwähnen, welche beide über ein Steuerungsventil verfügen. Das gesamte System wird in Teilkomponenten zerlegt, um die Übersichtlichkeit und Modularität zu erhalten. Die Parametrierung der verwendeten Kennlinien erfolgte einerseits durch Herstellerdaten andererseits aus den vorhandenen Messdaten des Motors. Diese Kennlinien werden aus dem bereits vorhandenem Matlab/Simulink Modell verwendet und in diesem Kapitel nochmals abgebildet. Die meisten Kennlinien wurden über die Methode der kleinsten Fehlerquadrate an die vorliegenden Messdaten angepasst.

### 4.1. Notation

Sämtliche Größen aus dem in Modelica implementierten System werden in Tabelle 4.1 angeführt. Die Gruppierung erfolgt anhand der erstellten Teilkomponenten. Alle in dieser Tabelle angeführten Größen sind von der Zeit abhängig, wobei dies aufgrund der Übersichtlichkeit in der Notation nicht berücksichtigt wurde.

Benennung	Einheit	Erklärung
$p_i$	$Pa$	Druck im Einlassvolumen
$m_i$	$kg$	Masse im Einlassvolumen
$F_i$	1	Anteil verbrannter Luft im Einlassvolumen
$T_i$	$K$	Temperatur im Einlassvolumen
$p_x$	$Pa$	Druck im Auslassvolumen
$m_x$	$kg$	Masse im Auslassvolumen
$F_x$	1	Anteil verbrannter Luft im Auslassvolumen
$T_x$	$K$	Temperatur im Auslassvolumen
$N_e$	$rpm$	Motordrehzahl
$T_e$	$K$	Temperatur im Motorblock
$M_e$	$Nm$	Erzeugtes Drehmoment des Motors
$m_f$	$\frac{kg}{cyl}$	Kraftstoff pro Zyklus
$W_f$	$\frac{kg}{s}$	Massenfluss Kraftstoff

$W_{ie}$	$\frac{kg}{s}$	Massenfluss vom Einlass in den Motorblock
$W_{ex}$	$\frac{kg}{s}$	Massenfluss aus dem Motorblock in den Auslass
$\lambda_{cyl}$	1	Luft-Kraftstoffverhältnis im Zylinder
$\tau_{IPS}$	s	Verzögerung von der Einspritzung zum Drehmoment
$\tau_{IEG}$	s	Verzögerung von der Einspritzung zum Abgas
$p_{ic}$	Pa	Druck im Ladeluftkühler
$m_{ic}$	kg	Masse im Ladeluftkühler
$W_{ci}$	$\frac{kg}{s}$	Massenfluss vom Ladeluftkühler in den Einlass
$\tilde{T}_{ic}$	K	Temperatur im Volumen des Ladeluftkühler
$T_{ic}$	K	Temperatur nach dem Ladeluftkühler
$x_{air}$	%	Stellung der Drosselklappe
$W_{xi}$	$\frac{kg}{s}$	Massenfluss über die Abgasrückführung
$T_{xi}$	K	Temperatur des rückgeführten Gases
$x_{egr}$	%	Stellung der Klappe in der Abgasrückführung
$N_t$	rpm	Turbodrehzahl
$W_c$	$\frac{kg}{s}$	Massenfluss der Frischluft über den Kompressor
$W_{xt}$	$\frac{kg}{s}$	Massenfluss des Abgases über die Turbine
$p_t$	Pa	Druck am Turbinenausgang
$p_a$	Pa	Umgebungsdruck
$T_a$	K	Umgebungstemperatur
$T_c$	K	Temperatur am Kompressorausgang
$T_t$	K	Temperatur am Turbinenausgang
$x_{vgt}$	%	Position der Turbinenschaufel
$\eta_c$	1	Effizienz des Kompressors
$\eta_t$	1	Effizienz der Turbine
$P_c$	W	Leistung des Kompressors
$P_t$	W	Leistung der Turbine

Tabelle 4.1.: Notation der verwendeten Größen

### 4.1.1. Konstanten

Die in Tabelle 4.2 angeführten Konstanten sind nicht vom Aufbau des Motors abhängig, sondern Eigenschaften des Mediums Luft und des verwendeten Kraftstoffs Diesel. In Dymola werden diese Konstanten in einem *record* repräsentiert. Dadurch ergibt sich der Vorteil, dass alle von der Umwelt bestimmten Konstanten, kompakt an einer Stelle des Modells zusammengefasst dargestellt sind. Aus den in Tabelle 4.2 definierten Konstanten werden noch die *spezifische Gaskonstante für Luft*  $R$  und das *spezifische Wärmeverhältnis*  $\gamma$  berechnet [Guzzella und Onder, 2004]:

$$R = c_p - c_v = 287 \frac{J}{kg \cdot K}$$

$$\gamma = \frac{c_p}{c_v} = 1.395$$
(4.1)

Benennung	Wert	Einheit	Erklärung
$c_p$	1014.4	$\frac{J}{kg \cdot K}$	Spez. Wärmekoeffizient bei konst. Druck
$c_v$	727.4	$\frac{J}{kg \cdot K}$	Spez. Wärmekoeffizient bei konst. Temperatur
$f_{st}$	14.6	1	Stöchiometrischer Faktor für Diesel
$HW_u$	$43 \cdot 10^6$	$\frac{J}{kg}$	unterer Heizwert für Diesel

Tabelle 4.2.: Allgemeine Konstanten

Sämtliche motorspezifischen Konstanten, welche durch die Bauart festgelegt sind, werden in Tabelle 4.3 definiert.

Benennung	Wert	Einheit	Erklärung
$N_{zyl}$	6	1	Zylinderanzahl
$N_{re}$	2	1	Umdrehungen pro Zyklus
$V_d$	0.03	$m^3$	Volumen eines Zylinders
$V_i$	0.0324	$m^3$	Volumen des Motoreinlasses
$V_x$	0.0054	$m^3$	Volumen des Motorauslasses
$V_{ic}$	0.0324	$m^3$	Volumen des Ladeluftkühlers
$T_{KM,egr}$	356	$K$	Temperatur des Kühlmittels in der Abgasrückführung
$T_{KM,ic}$	297	$K$	Temperatur des Kühlmittels im Ladeluftkühler
$\eta_{egr}$	0.96	1	Effizienz der Abgasrückführung
$\eta_{ic}$	0.96	1	Effizienz des Ladeluftkühlers

Tabelle 4.3.: Motorspezifische Konstanten

## 4.2. Thermodynamische Verbindung der Komponenten

Am realen Motor sind die unterschiedlichen funktionalen Einheiten durch Rohre verbunden. Um diese Verbindung auch in Dymola repräsentieren zu können, wird ein neuer *Connector* erstellt. Dadurch erhält man die Möglichkeit in einem Schritt die Größen Druck  $p(t)$ , Massenfluss  $\dot{m}(t)$  und Temperatur  $T(t)$  zu koppeln. Der Aufbau des Gesamtsystems kann dadurch wesentlich übersichtlicher gestaltet werden:

```

1 connector Pipe
2   Modelica.SIunits.Pressure p;
3   Modelica.SIunits.MassFlowRate W;
4   Modelica.SIunits.Temperature T;
5 end Pipe;
```

Listing 4.1: Thermodynamische Verbindung

Dieses Modell einer Rohrverbindung zweier Komponenten überträgt die zuvor aufgezählten thermodynamischen Zustände ohne Verzögerung. Außerdem unterliegen sie keiner Veränderung, zum Beispiel Wärmeverlust an den Rohrwänden. Diese Eigenschaften werden an dieser Stelle nicht modelliert, sondern in das Verhalten der Komponenten hinzugefügt. Dadurch erhält

man idealisierte Verbindungen, die die berechneten Größen direkt an die jeweils verbundenen Komponenten weitergeben.

### 4.3. Lufteinlass

Diese Komponente besteht im Wesentlichen aus einem Volumen, welches wie in Kapitel 3 beschrieben modelliert wird. Das Volumen  $V_i$  wird durch einen Luftmassenstrom  $W_{ci}(t)$  aus dem Ladeluftkühler und einem Luftmassenstrom  $W_{xi}(t)$  aus der Abgasrückführung gespeist, und gibt die Masse an den Motorblock in Form von  $W_{ie}(t)$  zur Verbrennung ab. Um den Anteil der verbrannten Luft im Einlassvolumen  $F_i(t)$  berechnen zu können, muss zuvor die Beziehung 4.2 für die Änderung der verbrannten Masse  $\dot{m}_{i,verbrannt}(t)$  hergestellt werden. Dies ergibt sich aus dem Massenstrom, der aus dem Abgas zurückgeführt wird und jenem, der vom Einlass in den Motor geleitet wird:

$$\dot{m}_{i,verbrannt}(t) = W_{xi}(t) \cdot F_x(t) - W_{ie}(t) \cdot F_i(t) \quad (4.2)$$

Zusätzlich wird die Änderung der Masse  $\dot{m}_i(t)$  benötigt. Diese ergibt sich aus den bereits beschriebenen Massenflüssen, wobei  $W_{ie}(t)$  für eine spätere Vereinfachung in die beiden Anteile verbrannte Luft und Frischluft aufgeteilt wird:

$$\dot{m}_i(t) = W_{ci}(t) + W_{xi}(t) - W_{ie}(t) \cdot F_i(t) - W_{ie}(t) \cdot (1 - F_i(t)) \quad (4.3)$$

Die beiden zuvor aufgestellten Gleichungen 4.2 und 4.3 werden in die in Kapitel 3 ermittelte Gleichung 3.15 eingesetzt, um nach Vereinfachungen auf den Anteil der verbrannten Luft im Verhältnis zur gesamten Luftmasse  $F_i(t)$  im Einlassvolumen zu kommen. Das gesamte mathematische Modell für den Lufteinlass, welches in Dymola mittels der Texteingabe realisiert wurde, ist in den Gleichungen 4.4 zusammengefasst:

$$\begin{aligned} \frac{dp_i(t)}{dt} &= \frac{\gamma \cdot R}{V_i} [T_{ic}(t) \cdot W_{ci}(t) + T_{xi}(t) \cdot W_{xi}(t) - T_i(t) \cdot W_{ie}(t)] \\ \frac{dm_i(t)}{dt} &= W_{ci}(t) + W_{xi}(t) - W_{ie}(t) \\ T_i(t) &= \frac{p_i(t) \cdot V_i}{R \cdot m_i(t)} \\ \frac{dF_i(t)}{dt} &= \frac{[F_x(t) - F_i(t)] \cdot W_{xi}(t) - F_i(t) \cdot W_{ci}(t)}{m_i(t)} \end{aligned} \quad (4.4)$$

Für die Berechnung des Drucks im Einlass  $p_i(t)$  ist die Temperatur aus dem Ladeluftkühler  $T_{ic}(t)$ , aus der Abgasrückführung  $T_{xi}(t)$  und jene aus dem Einlassvolumen  $T_i(t)$  notwendig. In Abb. 4.1 ist die grafische Darstellung des Lufteinlasses in Dymola abgebildet. Darauf sind die orangen Rohrverbindungen sichtbar und die zusätzlich für die Interaktion mit anderen Blöcken benötigten Signale, Einlasstemperatur  $T_i(t)$ , Anteil verbrannter Luft im Auslass  $F_x(t)$ , Anteil verbrannter Luft im Einlass  $F_i(t)$  und Ladedruck  $p_i(t)$ .

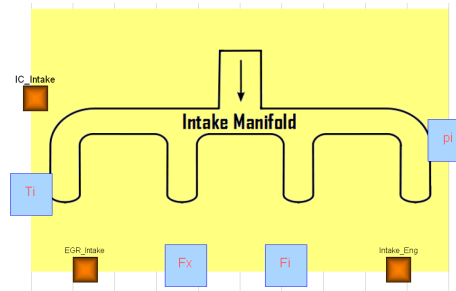


Abbildung 4.1.: Darstellung des Luftereinlassvolumen in Dymola

## 4.4. Luftauslass

Prinzipiell werden für die Modellierung dieser Komponente die gleichen Grundlagen benötigt, die bereits für den Luftereinlass herangezogen wurden. Das Volumen wird vom Motorblock  $W_{ex}(t)$  gefüllt, und entleert sich über die Abgasrückführung  $W_{xi}(t)$  und über den Turbolader  $W_{xt}(t)$ . Zu beachten ist für den Anteil der verbrannten Luft  $F_x(t)$ , dass man die Masse des Brennstoffes  $W_{f,\tau}(t)$  hinzuzählt. Dafür werden wieder die beiden Beziehungen für die Änderung der verbrannten Masse im Auslass  $\dot{m}_{x,verbrannt}(t)$  und für die Änderung der Masse im Auslass  $\dot{m}_x(t)$  in den Gleichungen 4.5 und 4.6 aufgestellt.

$$\dot{m}_{x,verbrannt}(t) = W_{ie}(t) \cdot F_i(t) + W_{f,\tau}(t) \cdot (1 + f_{st}) - (W_{xi}(t) + W_{xt}(t)) \cdot F_x(t) \quad (4.5)$$

Für die Berechnung der Änderung der verbrannten Masse im Auslass  $\dot{m}_{x,verbrannt}(t)$  in Gleichung 4.5 wird von einer vollständigen Verbrennung der um eine Totzeit  $\tau_{IEG}(t)$  verzögerten eingespritzten Kraftstoffmenge  $W_{f,\tau}(t)$  ausgegangen. Eine genauere Beschreibung der Totzeit erfolgt in Kapitel 4.5. Deshalb ist es notwendig, zur verbrannten Masse die Kraftstoffmenge  $W_{f,\tau}(t)$  multipliziert mit dem stöchiometrischen Faktor für Diesel  $f_{st}$  hinzu zu addieren. Dieser gibt an, wie viel Teile Frischluft benötigt werden, um 1 Teil Diesel zu verbrennen. Abgezogen werden die beiden Komponenten, welche in die Abgasrückführung und in den Turbolader abfließen:

$$\dot{m}_x(t) = W_{ex}(t) - W_{xt}(t) - W_{xi}(t) \cdot F_x(t) - W_{xi}(t) \cdot (1 - F_x(t)) \quad (4.6)$$

An dieser Stelle werden die beiden zuvor ermittelten Zusammenhänge 4.5 und 4.6 in die Gleichung 3.15 aus Kapitel 3 eingesetzt, um die endgültige Beziehung für den Anteil an verbrannter Luft im Auslass  $F_x(t)$  zu erhalten. Das gesamte Luftauslassmodell ist in den Gleichungen 4.7 zusammengefasst:

$$\begin{aligned} \frac{dp_x(t)}{dt} &= \frac{\gamma \cdot R}{V_x} [T_e(t) \cdot W_{ex}(t) - T_x(t) \cdot W_{xi}(t) - T_x(t) \cdot W_{xt}(t)] \\ \frac{dm_x(t)}{dt} &= W_{ex}(t) - W_{xi}(t) - W_{xt}(t) \\ T_x(t) &= \frac{p_x(t) \cdot V_x}{R \cdot m_x(t)} \\ \frac{dF_x(t)}{dt} &= \frac{F_i(t) \cdot W_{ie,\tau}(t) + [1 + f_{st}] \cdot W_{f,\tau}(t) - F_x(t) \cdot W_{ex}(t)}{m_i(t)} \end{aligned} \quad (4.7)$$

Für die Berechnung des Drucks im Auslass  $p_x(t)$  wird das Volumen  $V_x$  desselben, sowie die Temperatur aus dem Verbrennungsvorgang  $T_e(t)$  und die Temperatur im Auslassvolumen  $T_x(t)$

benötigt. In Abbildung 4.2 ist wieder die grafische Darstellung in Dymola abgebildet. Neben Größen, die durch die Rohrverbindungen resultieren, wird für die Koppelung noch der Anteil an verbrannter Luft im Auslass  $F_x(t)$ , der Anteil an verbrannter Luft im Einlass  $F_i(t)$ , die eingespritzte Kraftstoffmenge  $W_{f,\tau}(t)$  und der verzögerte Massenfluss aus dem Einlass  $W_{ie,\tau}(t)$  benötigt.

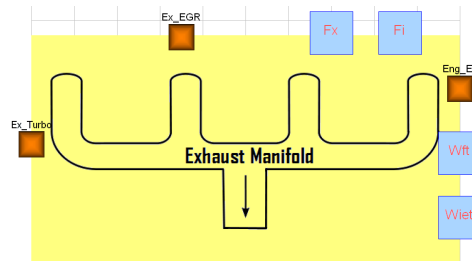


Abbildung 4.2.: Darstellung des Luftauslassvolumen in Dymola

## 4.5. Motorblock

In dieser Komponente sind keine Differentialgleichungen vorhanden, es werden lediglich algebraische Beziehungen hergestellt und Kennlinien bzw. Kennflächen hinterlegt. Sämtliche Kennlinien in dieser Arbeit werden durch *functions* in Dymola implementiert. In Listing 4.2 ist exemplarisch die Realisierung der Kennlinie für die Verbrennungstemperatur  $T_e$  in Dymola dargestellt. Diese Kennlinie ist quadratisch vom Luft-Kraftstoff Verhältnis und linear von der Motordrehzahl abhängig. Das Ergebnis ist in Abbildung 4.3 zu sehen. Die blauen Kreuze in diesem Diagramm stellen sämtliche Messwerte dar. Diese wurden als Grundlage für das Anpassen der Kennfläche herangezogen. Die grünen Linien repräsentieren die hinterlegte Kennfläche.

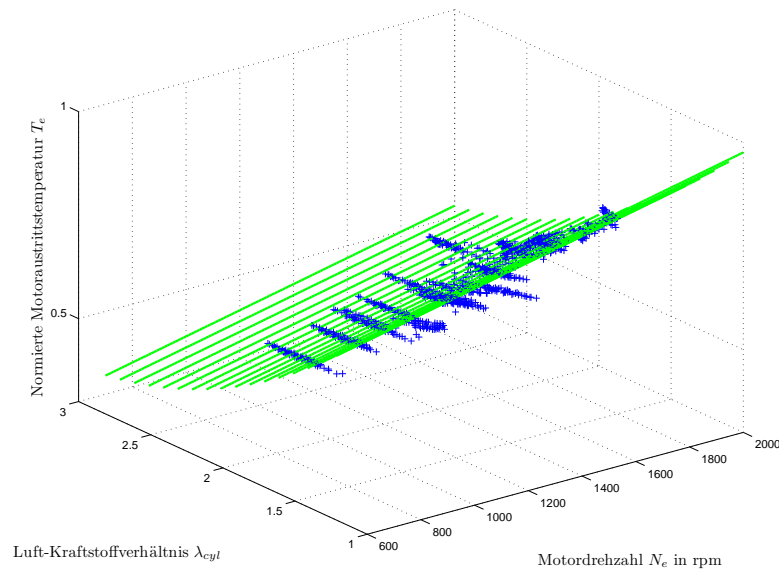
```

1  function temperatureEngine
2  input Real lambda_cyl;           // Air fuel ratio
3  input Real N_e;                 // Engine speed
4  output Real T_e;                // Temperature engine
5
6  parameter Real[4] K_T_e = {103.27, -682.63, 167.95, 1414.77};
7  Real[4] P_T_e;
8  Real lambda;
9
10 algorithm
11
12   lambda :=if (lambda_cyl > 3) then 3 else lambda_cyl;
13   P_T_e :={ lambda^2, lambda, N_e/1000, 1 };
14   T_e := K_T_e * P_T_e;
15
16 end temperatureEngine;

```

Listing 4.2: Kennfläche der Verbrennungstemperatur  $T_e$

Wie bereits erwähnt ist die eingespritzte Kraftstoffmenge  $m_f$  eine Eingangsgröße und sie ist unabhängig vom aktuellen Zustand des Luftpfades. Dadurch kann es vorkommen, dass bei einem



**Abbildung 4.3.:** Kennfläche der Brenntemperatur

hohen Motordrehmoment zu viel Kraftstoff zugeführt wird. Da dieser nicht mehr ausreichend Sauerstoff für die vollständige Verbrennung vorfindet, beginnt der Motor Ruß aus zustoßen. Durch eine Begrenzung des Kraftstoffes kann dieser Zustand verhindert werden, wobei die maximal zulässige Menge  $W_{f,max}$  in Gleichung 4.8 berechnet wird:

$$W_{f,max} = \frac{W_{ie}(t) \cdot (1 - F_i(t))}{f_{st}} \quad (4.8)$$

Diese Begrenzung wird in Dymola durch den Befehl  $result = \min(a,b)$  im Motorblock realisiert, welcher den jeweils kleineren Wert für die Zuweisung zur Größe auf der linken Seite heranzieht. In Gleichung 4.9 wird die zuvor beschriebene Begrenzung angewendet. Entweder wird genau soviel Kraftstoff zugeführt, wie durch die vorhandene Frischluft verbrannt werden kann, oder jene Menge, die sich über die aktuelle Eingangsgröße  $m_f(t)$  mit Hilfe der aktuellen Motordrehzahl  $N_e(t)$ , der Anzahl der Zylinder  $N_{zyl}$  und der Umdrehungen pro Zyklus  $N_{re}$  ergibt:

$$W_f = \min \left( W_{f,max}, \frac{m_f(t) \cdot N_e(t) \cdot N_{zyl}}{60 \cdot N_{re}} \right) \quad (4.9)$$

Die aus der Modellierungsart resultierenden Totzeiten im Motorblock können ebenfalls bequem mittels  $delay(Ausrdruck, Zeit)$ , aus [Fritzson, 2003, S.203], umgesetzt werden. Für die beiden Massenflüsse  $W_f(t)$  und  $W_{ie}(t)$  tritt die Totzeit  $\tau_{IEG}(t)$  auf, welche von der Einspritzung bis zum Ausstoß aus den Zylindern dauert:

$$\begin{aligned} W_{f,\tau}(t) &= W_f(t - \tau_{IEG}(t)) \\ W_{ie,\tau}(t) &= W_{ie}(t - \tau_{IEG}(t)) \\ \tau_{IEG}(t) &= \frac{90}{N_e(t)} \end{aligned} \quad (4.10)$$



Die Verzögerung  $\tau_{IPS}(t)$  stellt die Zeit dar, die vom Einspritzen des Kraftstoffes bis zum Anliegen des korrespondierenden Motordrehmomentes  $M_{e,\tau}(t)$  an der Antriebswelle vergeht:

$$\begin{aligned} M_{e,\tau}(t) &= M_e(t - \tau_{IPS}(t)) \\ \tau_{IPS}(t) &= \frac{60}{N_e(t)} \end{aligned} \quad (4.11)$$

Die Luftmasse  $W_{ie}(t)$ , welche durch den Motor gepumpt wird, resultiert aus Gleichung 3.10:

$$W_{ie}(t) = \eta_{vol} \cdot \frac{p_i(t) \cdot N_{zyl} \cdot V_d}{R \cdot T_i(t)} \cdot \frac{N_e(t)}{60 \cdot N_{re}} \quad (4.12)$$

Für die zugeführten thermodynamischen Größen wird der Ladedruck  $p_i(t)$  und die Temperatur im Einlass  $T_i(t)$  eingesetzt. Die Parametrierung der Kennlinien erfolgt durch das Verhältnis von Frischluft zu Kraftstoff  $\lambda_{cyl}$ , welches sich nachvollziehbar aus dem Frischluftanteil des Einlassmassenstroms  $(1 - F_i)$  und der eingespritzten Kraftstoffmenge  $W_f$  berechnen lässt:

$$\lambda_{cyl} = \frac{W_{ie} \cdot (1 - F_i)}{f_{st} \cdot W_f} \quad (4.13)$$

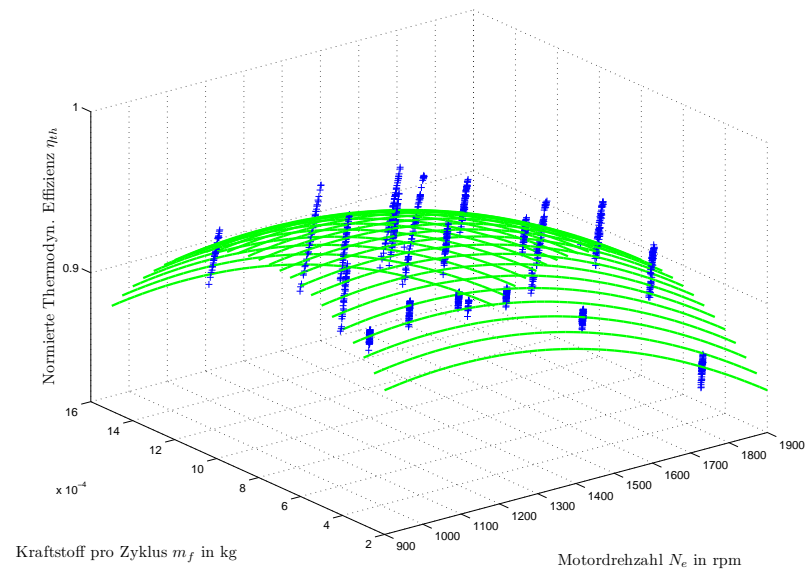
Die Parametrierung der Motordrehmomentkennlinie ist in [Guzzella und Onder, 2004, S.65] detailliert ausgeführt. Dazu wird einerseits der mittlere Druck im Zylinder  $p_{me}$  definiert, und andererseits der durch den zugeführten Kraftstoff erzeugte mittlere Druck  $p_{mf}$  bei einer Effizienz von 1:

$$\begin{aligned} p_{me} &= \frac{M_e(t) \cdot 4 \cdot \pi}{V_d \cdot N_{cyl}} \\ p_{mf} &= \frac{HW_u \cdot m_f}{V_d \cdot N_{cyl}} \end{aligned} \quad (4.14)$$

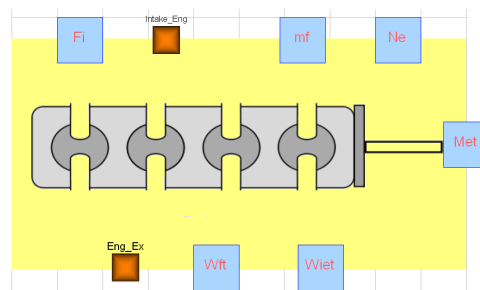
$HW_u$  symbolisiert den unteren Heizwert für Diesel. Durch die Kennfläche der thermodynamischen Effizienz kann nun die Beziehung für das Motordrehmoment in Gleichung 4.15 angegeben werden. In Abbildung 4.4 werden anhand der blauen Kreuze wieder alle Werte der thermodynamischen Effizienz, die aus den Messdaten des Prüfstandes kommen, dargestellt.

$$M_e(t) = \frac{V_d \cdot N_{cyl}}{N_{re} \cdot 2\pi} (p_{mf} \cdot \eta_{th} - p_{me0f} - p_{me0g}) \quad (4.15)$$

Die Repräsentation des Motorblocks in Dymola ist in Abbildung 4.5 dargestellt. Zuzüglich zu den beiden Rohrverbindungen werden die beiden Eingänge des Luftpfades, die Kraftstoffmenge  $m_f(t)$  und die aktuelle Motordrehzahl  $N_e(t)$  in dieser Komponente benötigt. Ebenfalls ist es notwendig, die zuvor berechneten verzögerten Werte Kraftstofffluss  $W_{f,\tau}(t)$ , Massenfluss in den Motorblock  $W_{ie,\tau}(t)$  und Motordrehmoment  $M_{e,\tau}(t)$  den anderen Teilen der Modellierung zur Verfügung zu stellen.



**Abbildung 4.4.:** Kennfläche der thermodynamischen Effizienz



**Abbildung 4.5.:** Darstellung des Motorblocks in Dymola

## 4.6. Abgasrückführung

Die Abgasrückführung besteht im wesentlichen aus einem Kühler, der die hohe Temperatur des Abgases reduziert und einem Ventil. Durch die Ventilstellung  $x_{egr}(t)$  wird die Luftmasse, welche rückgeführt wird, gesteuert. Das Ventil ist bei einem Wert von 0% geschlossen und lässt bei 100% die maximale Luftmasse durch. Der Effekt des Kühlers wird einfach aus Gleichung 3.11 übernommen und führt zu folgender Beziehung:

$$T_{xi}(t) = \eta_{egr} \cdot T_{KM,egr} + (1 - \eta_{egr}) \cdot T_x(t) \quad (4.16)$$

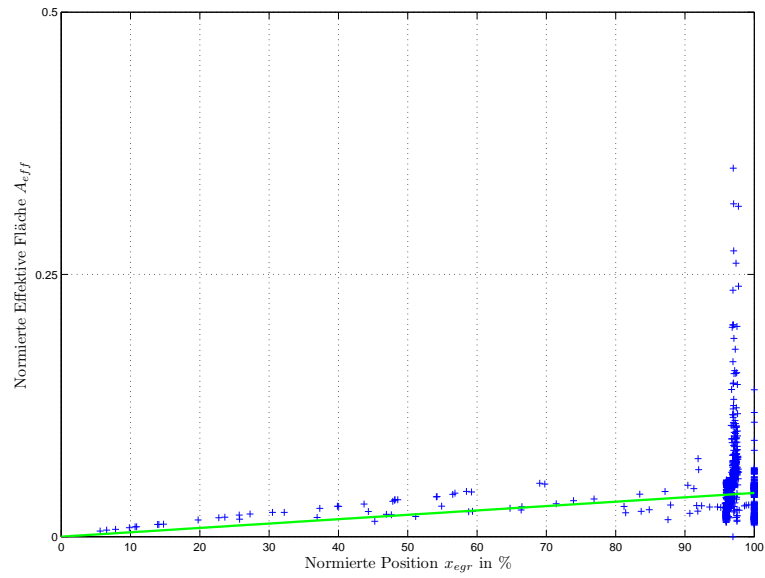
Die Effizienz des Kühlers  $\eta_{egr}$  und die Temperatur des Kühlmittels  $T_{KM,egr}$  ist aus Tabelle 4.3 zu entnehmen. Die tatsächliche rückgeführte Luftmasse  $W_{xi}(t)$  wird durch die Gleichung 3.8 für Rohrrestriktionen ermittelt. Dabei tritt jedoch das Problem auf, dass die Fläche, welche zum Durchströmen zur Verfügung steht, unbekannt ist. Diese ist zwar hauptsächlich von der Position der Klappe  $x_{egr}(t)$  abhängig, weist jedoch in geöffneter Position auch eine starke Abhängigkeit vom Druckverhältnis  $p_r(t)$  auf. Deshalb werden beide Größen für die Parametrierung herangezogen und resultieren in folgender Beziehung für die effektive Fläche:

$$A_{eff,egr}(t) = 5 \cdot 10^{-6} \cdot x_{egr}(t) + 3 \cdot 10^{-4} \cdot p_r(t)^{25} + e^{-1600 \cdot (1-p_r(t)+0.003)} \quad (4.17)$$

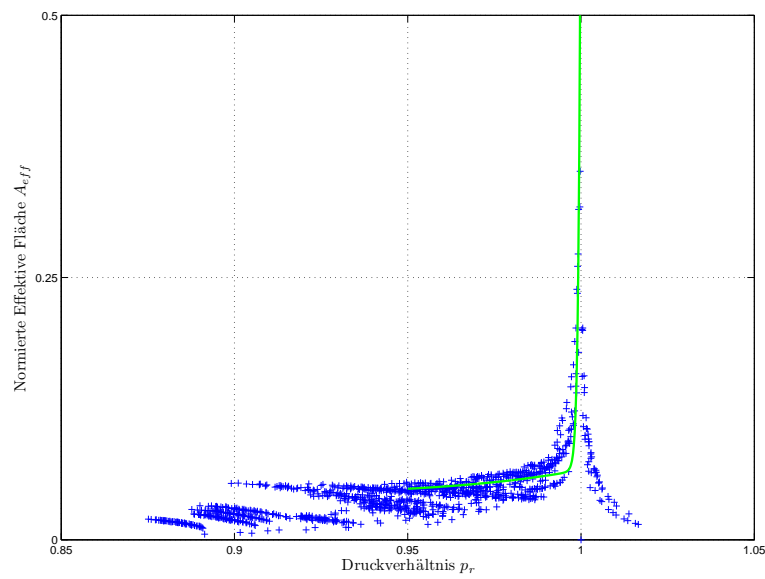
In den Abbildungen 4.7 und 4.6 sind die Abhängigkeiten von beiden Größen und die verwendete Kennlinie in zwei Ansichten ersichtlich. Beiden Abbildungen ist deutlich zu entnehmen, dass nicht alle Messpunkte, welche durch die blauen Kreuze repräsentiert werden, für die Ermittlung der jeweiligen Kennlinie herangezogen werden können.

Betrachtet man jene Messpunkte, die einer Klappenposition von 0% – 95% zugeordnet sind, ist eine deutliche lineare Abhängigkeit der effektiven Fläche  $A_{eff,egr}(t)$  von der Klappenposition zu erkennen. Deshalb wird der lineare Term in der Kennlinie als sinnvoll erachtet. In diesem Bereich ist das Druckverhältnis  $p_r(t)$  wesentlich kleiner als 1.

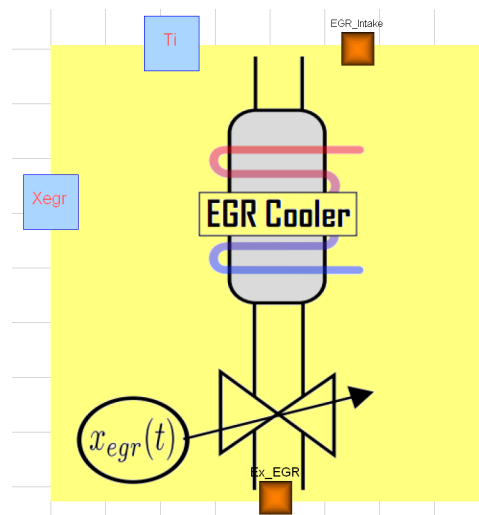
Betrachtet man die effektive Fläche in Abhängigkeit des an der Klappe anliegenden Druckverhältnis  $p_r(t)$  lässt sich am ersten Blick keine eindeutige Beziehung erkennen. Nun erweist es sich als Vorteil, dass jene Messpunkte, an denen sich das Druckverhältnis deutlich von 1 unterscheidet, jene sind an denen die Klappe teilweise geschlossen ist. Dies ist auch nachvollziehbar, da nur wenn die Klappe zumindest teilweise geschlossen ist, auch ein Druckabfall auftreten kann. Deshalb ist es ausreichend, wenn der Term der die Abhängigkeit vom Druckabfall beschreibt nur jene Messpunkte ausreichend repräsentiert, die in der Nähe von  $p_r(t) = 1$  sind. Diese Punkte werden durch eine geeignet angepasste Exponentialfunktion dargestellt. Nach ausgiebigen Variationen der Kennlinie stellte sich heraus, dass noch ein polynomialer Term hoher Ordnung notwendig ist, um die Messpunkte ausreichend zu beschreiben. In Abbildung 4.8 werden zu den Rohrverbindungen noch die Klappenposition  $x_{egr}(t)$  und die Temperatur im Einlass  $T_i(t)$  benötigt.



**Abbildung 4.6.:** Kennlinie der Rohrrestriktion in Abhängigkeit der Klappenposition



**Abbildung 4.7.:** Kennlinie der Rohrrestriktion in Abhängigkeit des Druckverhältnisses



**Abbildung 4.8.:** Darstellung der Abgasrückführung in Dymola

## 4.7. Ladeluftkühler

Da die Größe dieser Komponente nicht unerheblich ist, wird ebenfalls ein Volumen  $V_{ic}$  modelliert, welches durch den Kompressor den Luftmassenstrom  $W_c(t)$  erhält und diese an den Luft-einlass  $W_{ci}(t)$  abgibt. Zusätzlich ist es vorgesehen, über eine Drosselklappenstellung  $x_{air}(t)$  die Menge der Frischluft zu begrenzen. Anhand der bereits in den Gleichungen 3.5 dargestellten Beschreibung eines Volumen mit kompressiblem Medium werden folgende Beziehungen für das Volumen im Ladeluftkühler aufgestellt:

$$\begin{aligned}\frac{dp_{ic}(t)}{dt} &= \frac{\gamma \cdot R}{V_{ic}} \left[ T_c(t) \cdot W_c(t) - \tilde{T}_{ic}(t) \cdot W_{ci}(t) \right] \\ \frac{dm_{ic}(t)}{dt} &= W_c(t) - W_{ci}(t) \\ \tilde{T}_{ic}(t) &= \frac{p_{ic}(t) \cdot V_{ic}}{R \cdot m_{ic}(t)}\end{aligned}\quad (4.18)$$

Neben dem Volumen wird natürlich auch die kühlende Wirkung modelliert. Dieser Effekt kann relativ einfach mathematisch dargestellt werden:

$$T_{ic}(t) = \eta_{ic} \cdot T_{KM,ic} + (1 - \eta_{ic}) \cdot \tilde{T}_{ic}(t) \quad (4.19)$$

Die Effizienz  $\eta_{ic}$  der Kühleinheit und die Temperatur des Kühlmittels  $T_{KM,ic}$  sind ebenfalls aus Tabelle 4.3 zu entnehmen. Im Volumen herrscht die Temperatur  $\tilde{T}_{ic}(t)$ , welche sich beim Austritt aus dem Ladeluftkühler auf  $T_{ic}(t)$  absenkt.

Die Darstellung der Drosselklappe stellte wiederum eine Herausforderung dar. Wie bereits bei der Modellierung der Klappe in der Abgasrückführung wird von einer Rohrrestriktion ausgegangen, die durch deren effektive Fläche  $A_{eff,air}(t)$  beschrieben werden kann:

$$A_{eff,air}(t) = -2 \cdot 10^{-7} \cdot (x_{air}(t) - 100)^2 + 0.002 + e^{-450 \cdot (1 - p_r(t) + 0.0123)} \quad (4.20)$$

Diese Fläche ist nun wiederum von der aktuellen Klappenposition  $x_{air}$  und dem anliegenden Druckverhältnis  $p_r$  abhängig. Betrachtet man die beiden Abbildungen 4.9 und 4.10 kann wieder dasselbe Phänomen festgestellt werden, wie bei der Abgasrückführung. Bei teilweise geschlossener Drosselklappe, also alle Messpunkte deren Klappenposition zwischen 20% und 80% liegt, ist eine eindeutige Abhängigkeit von dieser Position  $x_{air}(t)$  festzustellen. Mathematisch wird der zuvor beschriebene Zusammenhang durch den quadratischen Term in Gleichung 4.20 repräsentiert. Bei vollständig geöffneter Drosselklappe ist der Druckabfall sehr klein, das anliegende Druckverhältnis  $p_r(t)$  also nahe 1. In diesem Fall wird, wie in Abbildung 4.10 ersichtlich eine exponentielle Funktion derart angepasst, dass sie die Messpunkte bestmöglich beschreibt. Als zusätzliche Größen werden neben den orangen Rohrverbindungen die Drosselklappenstellung  $x_{air}(t)$ , der Massenfluss in den Motoreinlass  $W_{ci}(t)$  und die Temperatur im Einlass  $T_i(t)$  benötigt.

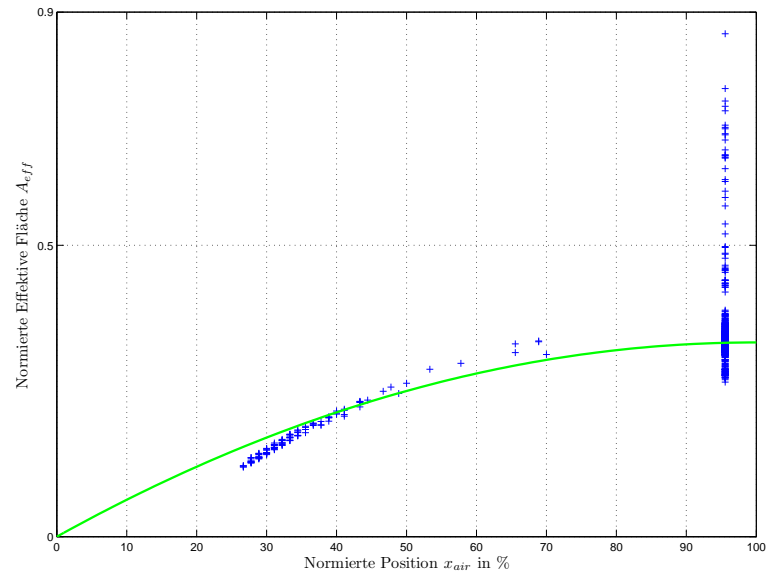


Abbildung 4.9.: Kennlinie der Drosselklappe in Abhängigkeit der Klappenposition

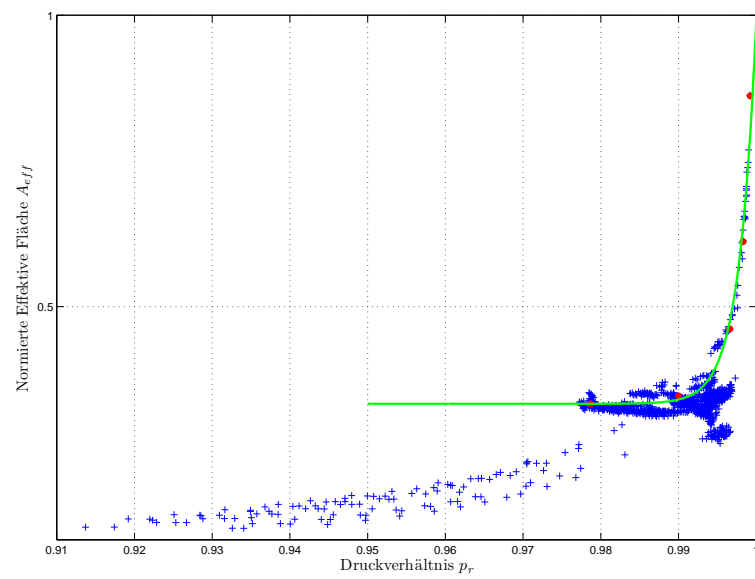


Abbildung 4.10.: Kennlinie der Drosselklappe in Abhängigkeit des Druckverhältnisses

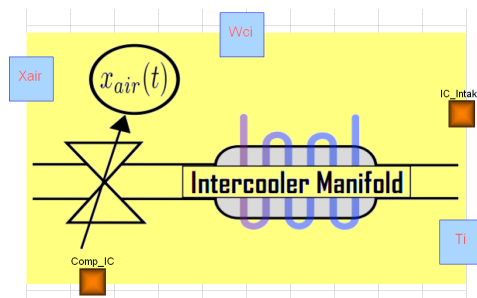


Abbildung 4.11.: Darstellung des Ladeluftkühlers in Dymola

## 4.8. Turboaufladung

Obwohl man die beiden Teile der Turboladerstufe, Aufladung und Komprimierung der Luft, trennen könnte, wurde dies nicht getan, da diese beiden Teile über die Dynamik der Drehzahl der Welle  $N_t(t)$  eng miteinander gekoppelt sind. Deshalb gibt es nur eine Komponente in *Modelica*, die beide Funktionalitäten beinhaltet.

### Kompressor

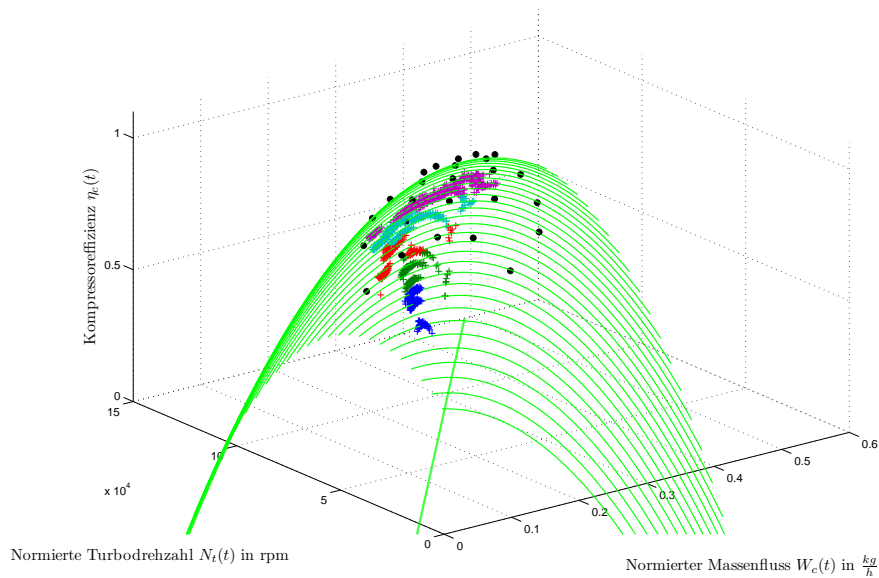
Die beschreibenden Gleichungen für den Kompressor leiten sich im Wesentlichen von jenen aus Kapitel 3 ab und werden zusammengefasst in den Gleichungen 4.21 und 4.22 angeführt:

$$T_c(t) = T_a + \frac{T_a}{\eta_c(t)} \left( \left( \frac{p_{ic}(t)}{p_a} \right)^{\frac{\gamma-1}{\gamma}} - 1 \right) \quad (4.21)$$

$$P_c(t) = W_c(t) \cdot c_p \cdot \frac{T_a}{\eta_c(t)} \left( \left( \frac{p_{ic}(t)}{p_a} \right)^{\frac{\gamma-1}{\gamma}} - 1 \right) \quad (4.22)$$

Maßgeblich für das Verhalten des Kompressors ist das Verhältnis des Drucks der Luft nach dem Kompressor  $p_{ic}(t)$  zum Umgebungsdruck  $p_a$  am Eingang. Am Kompressoreingang herrschen, die für das Modell konstanten Werte Außentemperatur  $T_a$  und Umgebungsdruck  $p_a$  vor. In Gleichung 4.22 sind neben den bekannten Größen noch die beiden Unbekannten Kompressormassenfluss  $W_c(t)$  und Kompressoreffizienz  $\eta_c(t)$  enthalten. Um die Komplexität des erstellten Modells des Luftpfades in Grenzen zu halten, wurden an dieser Stelle für die beiden Größen Kennflächen erstellt. Es existieren nur wenige Modelle, die den Zusammenhang der beiden zuvor erwähnten Größen durch physikalische Beziehungen beschreiben, deshalb ist die Verwendung von Kennflächen die Standardvorgehensweise. Diese sind in den Abbildungen 4.12 und 4.13 dargestellt. Als Grundlage zur Erstellung der Kennlinien dienen einerseits mitgelieferte Herstellerdaten andererseits aus den Messwerten berechnete Punkte. Die Herstellerdaten werden durch die schwarzen Punkte repräsentiert. Die farbigen Kreuze stellen die aus den Messwerten berechneten Punkte dar. Die Kompressoreffizienz ist von dem Massenfluss  $W_c(t)$  durch den Kompressor und der Turbinendrehzahl  $N_t(t)$  abhängig. Die Kennfläche besitzt einen Grat, an dem die Effizienz ein Maximum aufweist. Dieser Grat ist als grüne Linie dargestellt. Der Kompressormassenfluss ist von der Turbinendrehzahl einerseits und von dem anliegenden Druckverhältnis andererseits abhängig. Die Modellierung des Kompressormassenflusses stellte eine Herausforderung dar, da die Kennfläche plötzlich sehr flach wird. Mit steigendem Druckverhältnis an dem Kompressor wird bei gleicher Turbinendrehzahl immer weniger Luftmasse





**Abbildung 4.12.:** Kennfläche der Kompressoreffizienz

transportiert. Ab einem gewissen Druckverhältnis sinkt die geförderte Luftmasse plötzlich auf 0 ab. Dies ist auf einen Strömungsabriss an den Kompressorschaukeln zurückzuführen, wie sie in [Guzzella und Onder, 2004] beschrieben wird. Zu beachten ist, dass die Daten des Herstellers korrigierte Werte darstellen. Das heißt, die beiden unabhängige Größen  $W_c(t)$  und  $N_t(t)$  werden um die Werte in Tabelle 4.4 nach den Gleichungen 4.23 korrigiert:

$$W_{c,corr}(t) = W_c(t) \cdot \sqrt{\frac{T_a}{T_{c,ref}}} \cdot \frac{p_{c,ref}}{p_a} \quad (4.23)$$

$$N_{t,corr}(t) = N_t(t) \cdot \sqrt{\frac{T_{c,ref}}{T_a}}$$

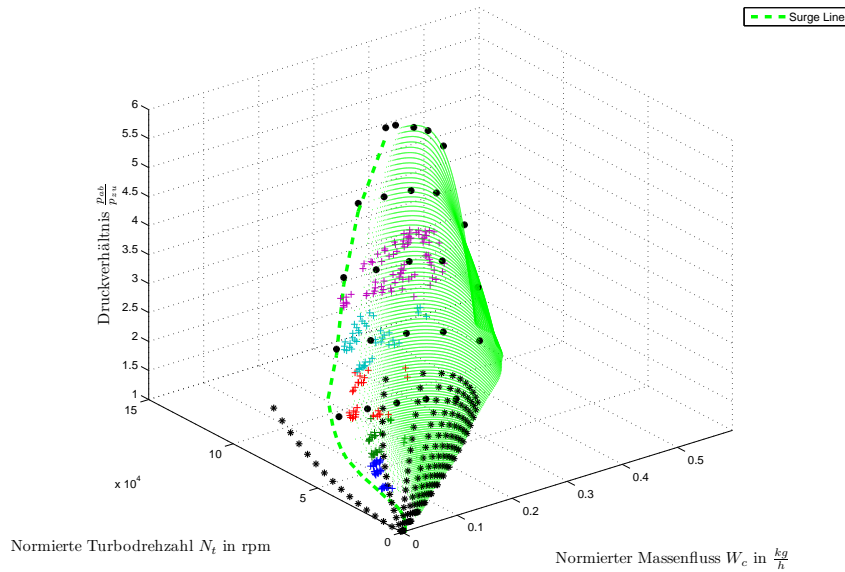
Um die aus den Messwerten berechneten Punkte korrekt darzustellen, müssen diese ebenfalls normiert werden.

Benennung	Wert	Einheit	Erklärung
$T_{c,ref}$	298	$K$	Referenztemperatur Kompressor
$p_{c,ref}$	$10^5$	$Pa$	Referenzdruck Kompressor
$T_{t,ref}$	923	$K$	Referenztemperatur Turbolader

**Tabelle 4.4.:** Referenzwerte Turbo

## Turbine

Für die Modellierung der Aufladung des Turbos werden ebenfalls die Gleichungen aus Kapitel 3 verwendet. Setzt man die in der Aufladung verwendeten Größen ein, erhält man folgende Beziehungen für die Temperatur nach der Turbine  $T_t(t)$  und die von der Turbine aufgenommenen



**Abbildung 4.13.:** Kennfläche des Kompressormassenflusses

Leistung  $P_t(t)$ :

$$P_t(t) = W_{xt}(t) \cdot c_p \cdot \eta_t(t) \cdot T_x(t) \left( 1 - \left( \frac{p_t(t)}{p_x(t)} \right)^{\frac{\gamma-1}{\gamma}} \right) \quad (4.24)$$

$$T_t(t) = T_x(t) + \eta_t(t) \cdot T_x(t) \left( 1 - \left( \frac{p_t(t)}{p_x(t)} \right)^{\frac{\gamma-1}{\gamma}} \right) \quad (4.25)$$

Der Druck nach dem Turbolader  $p_t(t)$  ist nicht der Umgebungsdruck, da eine eventuell vorhandene Abgasnachbehandlung einen Gegendruck erzeugt. Dies kann durch einen erhöhten Druck  $p_t(t)$  berücksichtigt werden. Für die Größen vor dem Turbolader wird die Temperatur des Auslasses  $T_x(t)$  und der Druck im Auslass  $p_x(t)$  eingesetzt. Wie bereits für den Kompressor werden auch für die Turboaufladung die beiden Größen Massenfluss  $W_{xt}(t)$  und Effizienz  $\eta_t(t)$  des Turbos über Kennflächen dargestellt. Die Korrektur der Herstellerangaben gestaltet sich jedoch etwas anders. Dies ist in den Gleichungen 4.26 beschrieben:

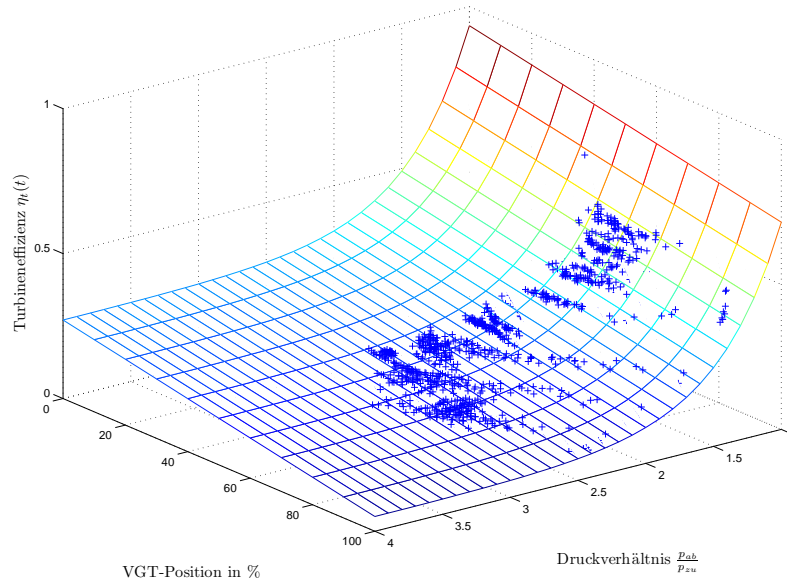
$$W_{xt,corr}(t) = W_{xt}(t) \cdot \frac{\sqrt{T_x} \cdot 10^5}{p_x} \quad (4.26)$$

$$N_{t,corr} = N_t \cdot \sqrt{\frac{T_{t,ref}}{T_x}}$$

Die Erstellung der Turbineneffizienz wies gewisse Schwierigkeiten auf, da diese von mehreren Größen abhängig ist. Bei niedrigen Drehzahlen ist ein nicht zu vernachlässigender Wärmetransfer zu verzeichnen, wie in [Moraal und Kolmanovsky, 1999] hingewiesen wird. Deshalb teilt sich die Effizienz in 2 Teile auf, der aerodynamischen Effizienz  $\eta_{t,aero}$  und jener, die aus dem Wärmetransfer resultiert  $\eta_{t,heat}$ . Die Effizienz aus dem Wärmetransfer (Abb. 4.14) wird durch folgende Beziehung angenähert:

$$\eta_{t,heat} = 6 \cdot e^{-2.2 \frac{p_x(t)}{p_t(t)}} - 0.0022 \cdot x_{vgt}(t) + 0.27 \quad (4.27)$$

Die aerodynamische Effizienz, (Abb. 4.15) wird durch einen Ansatz über die Schaufelge-



**Abbildung 4.14.:** Kennfläche der Turbineneffizienz aufgrund des Wärmetransfers

schwindigkeit (engl. „blade speed ratio“)  $c_u(t)$  ermittelt [Jung, 2003],

$$c_u(t) = \frac{\pi \cdot d_t \cdot N_t(t)}{60 \sqrt{2c_p \cdot T_x(t) \cdot \left(1 - \frac{p_t(t)}{p_x(t)} \frac{\gamma-1}{\gamma}\right)}}, \quad (4.28)$$

wobei  $d_t$  den Durchmesser der Turbinenschaufel bezeichnet. Durch diesen Ansatz kann man die Anzahl der Größen, von denen die aerodynamische Effizienz abhängt, reduzieren. Nun kann ein quadratischer Ansatz in Abhängigkeit dieser Größe verwendet werden:

$$\eta_{t,aero}(t) = a \cdot (c_u(t) - c_{u,opt}(t))^2 + \eta_{t,max}(t) \quad (4.29)$$

Der Koeffizient  $c_{u,opt}$  ist an dieser Stelle nur mehr von der korrigierten Turbinendrehzahl  $N_{t,corr}$  abhängig und wird geeignet parametrisiert:

$$c_{u,opt}(t) = 2.17 \cdot 10^{-6} \cdot N_{t,corr}(t) + 0.348 \quad (4.30)$$

Im Vergleich zur Turbineneffizienz lässt sich die Kennfläche für den Turbinenmassenfluss  $W_{xt}(t)$  einfach erstellen. Dazu wird zunächst die effektive Fläche der Turbinenschaufeln in Abhängigkeit des anliegenden Druckverhältnisses  $p_r(t)$  und der Position der Turbinenschaufeln  $x_{vgt}(t)$  modelliert:

$$A_{eff}(t) = 2.05 \cdot p_r^3 - 24.76 \cdot p_r^2 + 93.54 \cdot p_r + 0.0031 \cdot x_{vgt}^2 + 0.51 \cdot x_{vgt} - 80.19 \quad (4.31)$$

Anschließend kann durch Gleichung 3.6 der Turbinenmassenfluss berechnet werden. Diese Kennfläche ist in Abbildung 4.16 dargestellt.

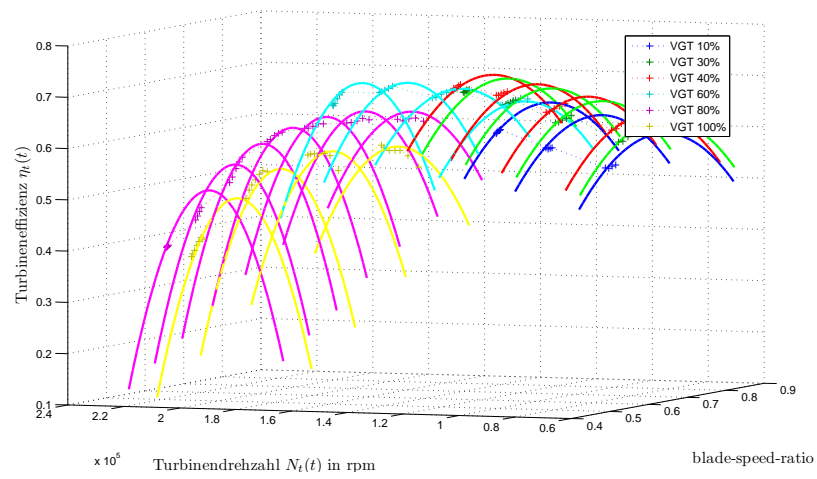


Abbildung 4.15.: Kennfläche der aerodynamischen Turbineneffizienz

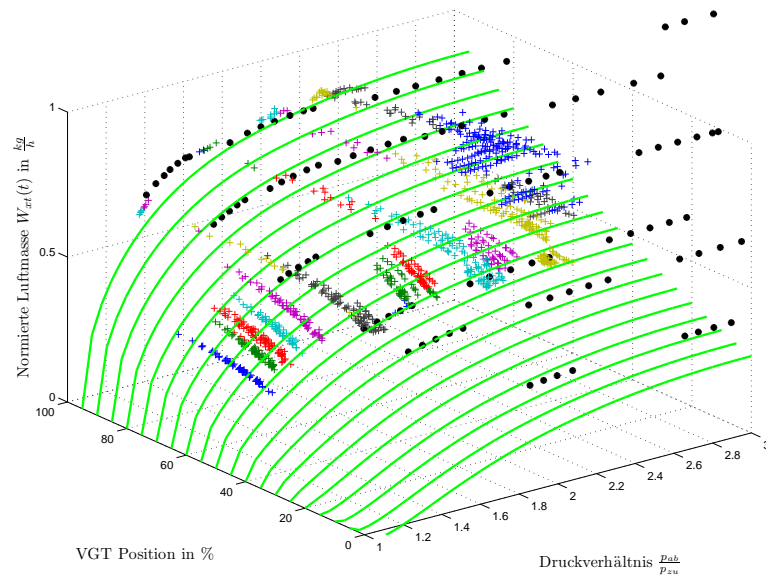


Abbildung 4.16.: Kennfläche des Turbinenmassenflusses

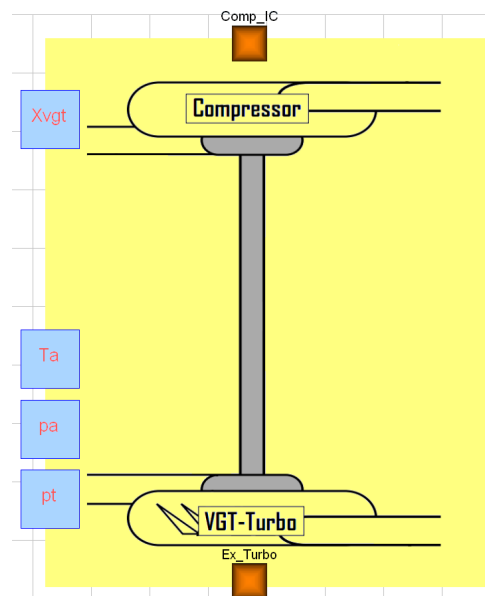


Abbildung 4.17.: Darstellung des Turboladers in Dymola

## 4.9. Initialisierung

Obwohl es der Initialisierungsroutine in Dymola gelingt sämtliche Größen des Modells konsistent zu initialisieren, ist es logischerweise notwendig, zumindest alle Zustandsgrößen am Beginn der Simulation vorzugeben. Dafür wird der Abschnitt *initial algorithm* in Modelica verwendet. Es wurde als sinnvoll erachtet, das System anhand eines Messpunktes zu initialisieren. Da sich auch der reale Motor am Prüfstand nach dem Startvorgang im Leerlauf befindet, wurde ein Messwert gewählt, der diesem Zustand am ehesten entspricht. Die Werte für die Zustandsgrößen sind in Tabelle 4.5 dargestellt.

Zustand	Wert	Einheit
$p_i$	106233	$Pa$
$m_i$	0.0346	$kg$
$F_i$	0.579	1
$p_x$	116267	$Pa$
$m_x$	0.00221	$kg$
$F_x$	0.999	1
$p_{ic}$	106247	$Pa$
$m_{ic}$	0.0359	$kg$
$N_t$	34996	$rpm$

Tabelle 4.5.: Werte der Zustandsvariablen zum Startzeitpunkt

## 4.10. Gesamtmodell

Die zuvor beschriebenen Teilmodelle werden in Modelica zu einem neuen Modell zusammengeführt. Diese neue Einheit verfügt nun über die gesamte zu modellierende Funktionalität. Der

Aufbau des Luftpfades ist in Abbildung 4.18 dargestellt. Die selbst erstellten Schnittstellen, welche thermodynamische Verbindungen darstellen, sind orange eingefärbt. Jede Linie zwischen diesen Schnittstellen stellt am realen Motor eine Rohrverbindung dar. Die restlichen Linien repräsentieren ein einzelnes Signal, welches Größen zweier Komponenten verbindet. In Abbildung 4.18 sind 8 Eingangsgrößen für das System vorhanden. Jedoch sind nicht alle davon Stellgrößen des Modells. Die Umgebungstemperatur  $T_a$ , der Umgebungsdruck  $p_a$  und der Druck  $p_t$  im Abgasstrang nach der Turboaufladung stellen die Betriebsumgebung dar und können als Störgrößen betrachtet werden.

Durch die Motordrehzahl  $N_e$  und die Kraftstoffmasse  $m_f$  wird im Wesentlichen der Betriebs-

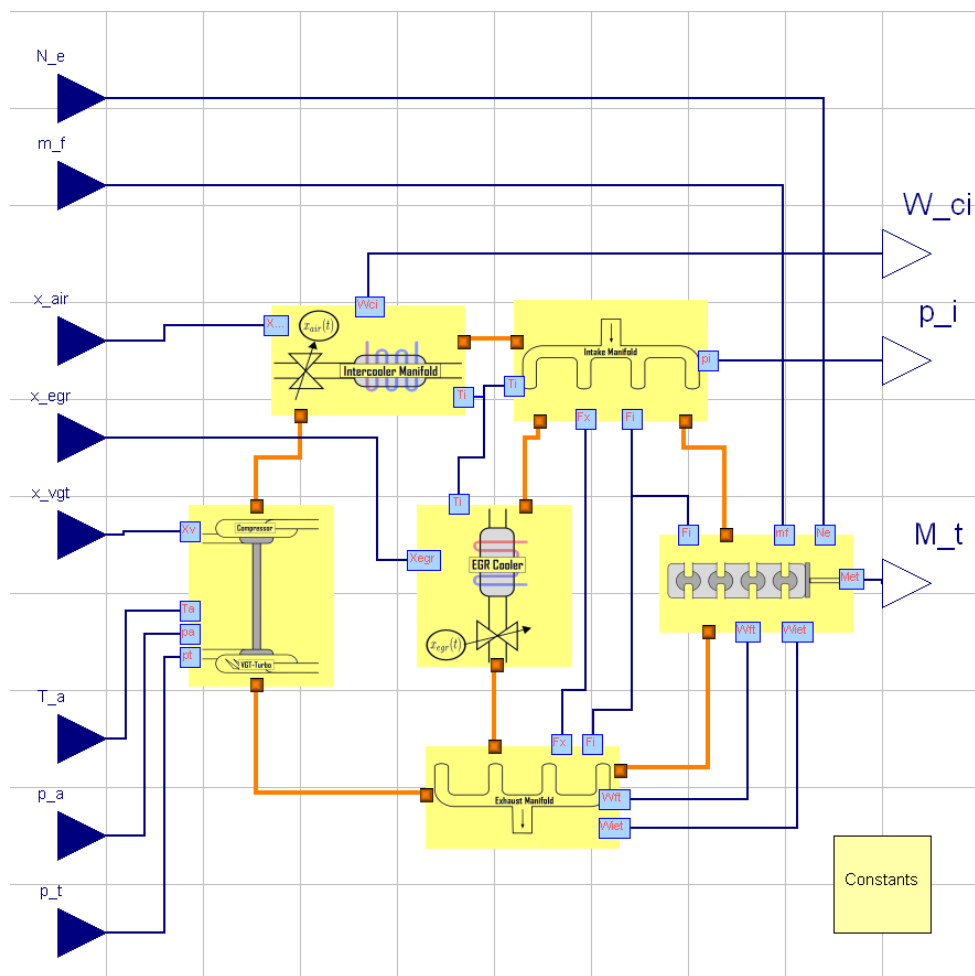


Abbildung 4.18.: Darstellung des gesamten Luftpfades in Dymola

punkt des Motors von außen vorgegeben. Somit verbleiben nur noch die 3 Stellgrößen Drosselklappe  $x_{air}(t)$ , Abgrückführklappe  $x_{egr}(t)$  und die Stellung der Turbinengeometrie  $x_{vgt}(t)$ , mit denen das Verhalten des Luftpfades geregelt werden kann.

Die Ausgangsgröße  $M_t$  stellt das vom Motor erzeugte Drehmoment dar. Es ist für die anschließende Simulation wesentlich. Demgegenüber stehen die Frischluftmasse  $W_{ci}$  und der Ladedruck  $p_i$ , welche als weitere Regelgrößen verwendet werden können.

# Kapitel 5

## Verifikation des Modells

Damit das in Kapitel 4 erstellte Modell als Simulationsgrundlage für den Reglerentwurf verwendet werden kann, muss dessen Übereinstimmung mit dem realen Motor nachgewiesen werden. Dazu werden die Messwerte, welche am Prüfstand ermittelt wurden, herangezogen. Der Motor wurde am Prüfstand durch die Motordrehzahl und die eingespritzte Kraftstoffmenge in einen gewünschten stationären Betriebszustand gebracht, um anschließend sämtliche Messwerte zu speichern. Dies geschah an rund 1100 Betriebspunkten.

### 5.1. Testumgebung in Dymola

Um dem Modell des Luftpfades die Motordrehzahl vorgeben zu können, muss diese aus dem erzeugten Motordrehmoment ermittelt werden. Dazu ist die Implementierung des Drallsatzes notwendig:

$$\ddot{\varphi}(t) = \frac{1}{J_e} \cdot \sum M(t) \quad (5.1)$$

Durch diesen mathematischen Zusammenhang wird die Winkelbeschleunigung  $\ddot{\varphi}(t)$ , welche sich aufgrund des konstanten Massenträgheitsmoments  $J_e$  unter Einwirkung der Summe der Momente  $M(t)$  ergibt, beschrieben. Das Massenträgheitsmoment  $J_e = 1.6 \text{ kg} \cdot \text{m}^2$  stellt die Trägheit der rotierenden Teile des Motors dar. Um die Simulationswerte für den Vergleich mit den Messdaten zu erhalten, ist es notwendig, den Motor in einer gewünschten Drehzahl  $N_e(t)$  zu betreiben. Um diese Vorgabe erfüllen zu können wird ein Bremsmoment  $M_b(t)$  vorgegeben. Durch eine Subtraktion dieses Bremsmomentes vom erzeugten Motordrehmoment  $M_e(t)$  besteht die Möglichkeit, die Motorgeschwindigkeit zu beeinflussen. Dies führt zur Gleichung 5.2, welche als zusätzliche Komponente in Modelica implementiert wurde:

$$\frac{dN_e(t)}{dt} = \left( \frac{30}{\pi \cdot J_e} \right) \cdot (M_e(t) - M_b(t)) \quad (5.2)$$

Diese Komponente besitzt nur einen Eingang, die Differenz der beiden zuvor beschriebenen Drehmomente, und ermittelt die aktuelle Motordrehzahl, damit diese für die Simulation an den Luftpfad weitergegeben werden kann.

## 5.2. Simulation

Zur Verifikation dienten die rund 1100 stationären Betriebspunkte, welche als Messwerte zur Verfügung stehen. Dazu wurden sämtliche Eingangsgrößen aus den Messwerten ausgelesen und Dymola zur Verfügung gestellt. Nach dem Aufschalten der Eingangsgrößen auf das Luftpfadsystem wird eine Einschwingzeit von  $5s$  gewartet, bevor die eingeschwungenen Werte der Zustände in eine Tabelle gespeichert werden. Daraus resultiert eine Simulationszeit von  $5500s$  zum Erfassen der korrespondierenden simulierten Werte des erstellten Modells. Anschließend wird ein Vergleich des transienten Verhaltens der beiden Modelle in Matlab und Dymola durchgeführt. Zur Simulation wurde als Löser der standardmäßig eingestellte DASSL verwendet, da mit diesem positive Erfahrungen gemacht wurden. Die Toleranz wurde ebenfalls mit  $0.0001$  auf dem Standardwert belassen. Da die Simulationsdauer erheblich erhöht wurde, war es notwendig auch die Zeitschritte auf  $50000$  stark zu erhöhen, um zufriedenstellende Ergebnisse zu erhalten.

### 5.2.1. Statischer Vergleich des Modelica Modells mit den Messwerten

Bei der an dieser Stelle beschriebenen Validierung handelt es sich ausschließlich um einen statistischen Vergleich des realen Motors mit dem neu erstellten Modell. Sowohl die Messwerte vom Prüfstand als auch die Simulationenwerte aus dem Dymola Modell stammen von eingeschwungenen Zuständen. In Abbildung 5.1 werden ausgewählte Größen aus dem Gesamtmodell den entsprechenden Messwerten gegenübergestellt. Bei der Wahl der zu vergleichenden Größen liegt das Hauptaugenmerk auf die in den großen Volumina vorherrschenden Drücke und den Massenflüssen zwischen den Komponenten. Es wird der Druck am Motoreinlass  $p_i(t)$  und jener am Motorauslass  $p_x(t)$  dargestellt. Vor allem der Druck am Einlass, welcher auch Ladedruck genannt wird, ist für die nachfolgende Betrachtung von großer Bedeutung. Weiters wird der Massenfluss vom Einlass in den Verbrennungsraum  $W_{ie}(t)$ , jener vom Auslass in die Turbine  $W_{xt}(t)$  und jener der aus dem Kompressor kommt  $W_c(t)$ , als interessant erachtet. Schließlich wird noch die Drehzahl der Turboladerstufe  $N_t(t)$  betrachtet, da diese den Zustand der Turboladerstufe gut wiedergibt. In den angeführten Diagrammen sind jeweils auf der Abszisse die Simulationenwerte und auf der Ordinate die zum Betriebspunkt zugehörigen Messwerte aufgetragen. Idealerweise sollten alle Punkte auf der blau eingezeichneten  $45^\circ$  Linie liegen. Da bei der Modellierung einige Abstraktionen vorgenommen wurden, ist es einsichtig, dass das entworfene Modell nicht vollständig mit den Messdaten übereinstimmt. Die Ursachen für die Abweichungen von den Messwerten sind sehr unterschiedlich. Einerseits treten, wie bei jeder Messung von physikalischen Größen, Messungenauigkeiten auf. Solche Messfehler, wie zum Beispiel aus dem Luftmassensensor, können nur in Grenzen gehalten werden, aber nicht vollständig vermieden werden. Eine weitere Ursache für die auftretenden Abweichungen liegt mit Sicherheit in den Approximationen der zahlreichen Kennlinien und Kennflächen. Obwohl die Kennlinien optimal im Sinne der kleinsten Fehlerquadrate angepasst wurden, sind nicht unerhebliche Abweichungen von den Messwerten vorhanden. Schlussendlich treten bei einem realen Motor auch betriebspunktabhängige Schwankungen der Parameter auf, die in der Modellierung nicht berücksichtigt wurden. Da zwischen den Messwerten, die am Prüfstand aufgezeichnet wurden, nur eine begrenzte Zeit abgewartet werden kann, tritt eine Beeinflussung eines Messpunktes durch den vorangegangenen Messpunkt ein. Diese Beeinflussung kann über Motorteile erfolgen, die eine höhere Temperatur aufweisen, als sie durch den aktuellen Betriebspunkt hätten.



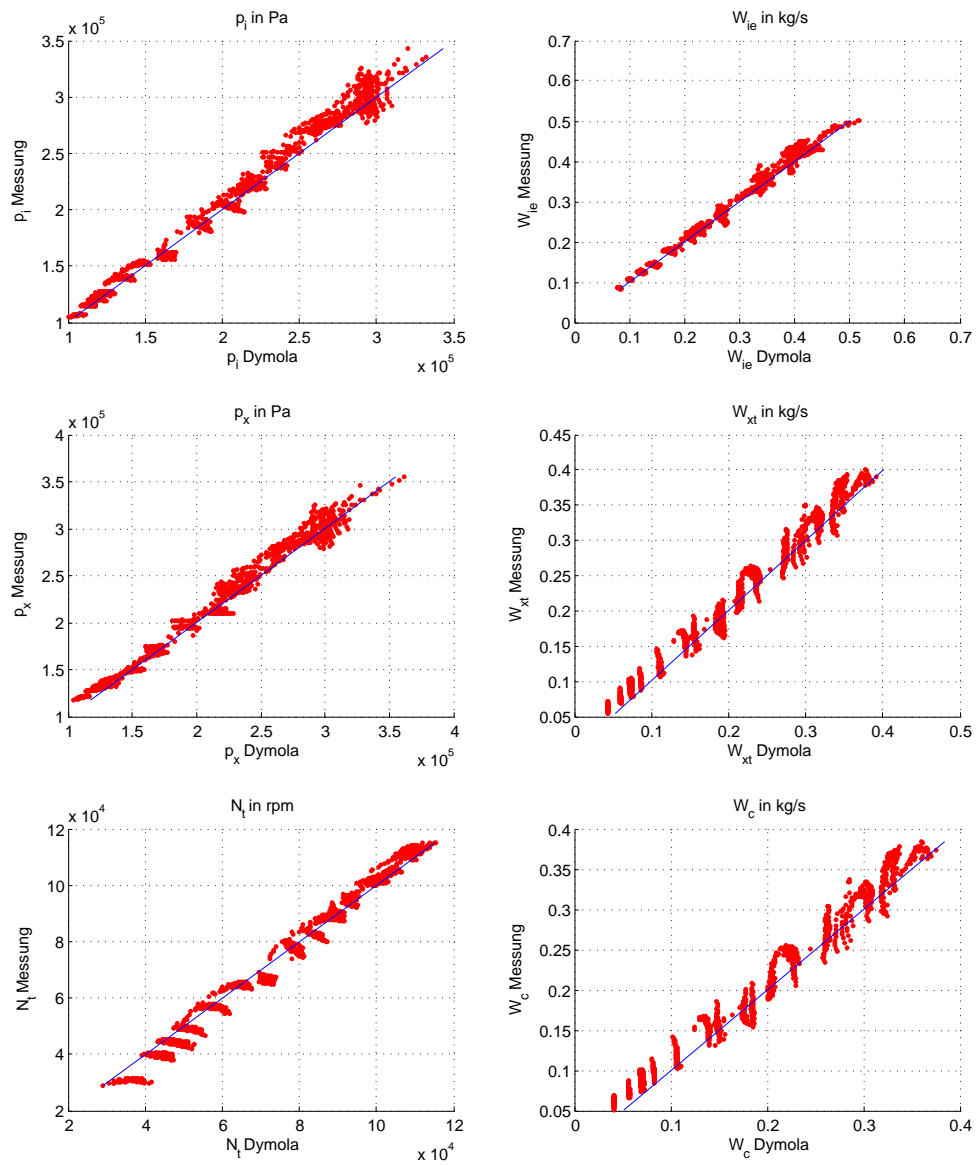
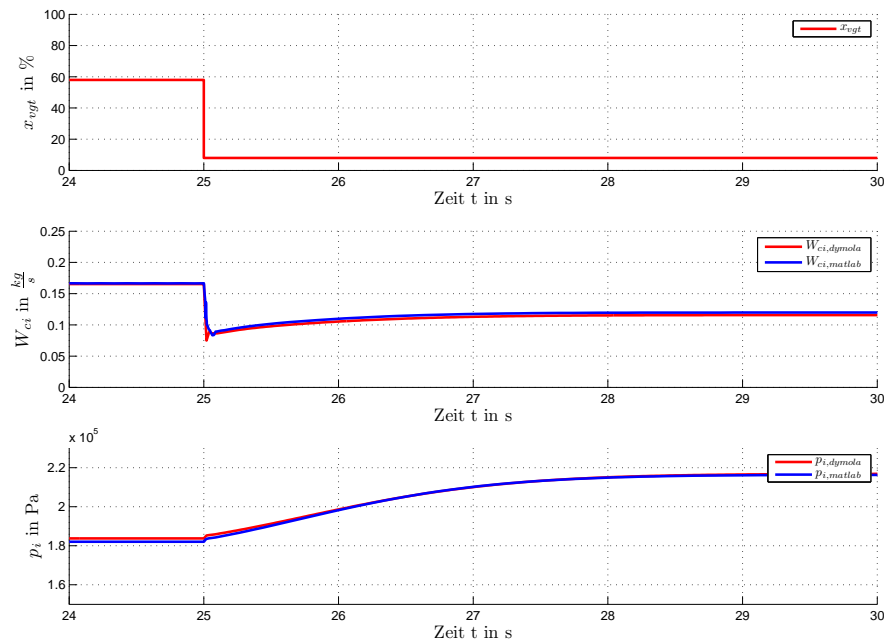


Abbildung 5.1.: Vergleich repräsentativer Größen der Simulation mit den Messwerten

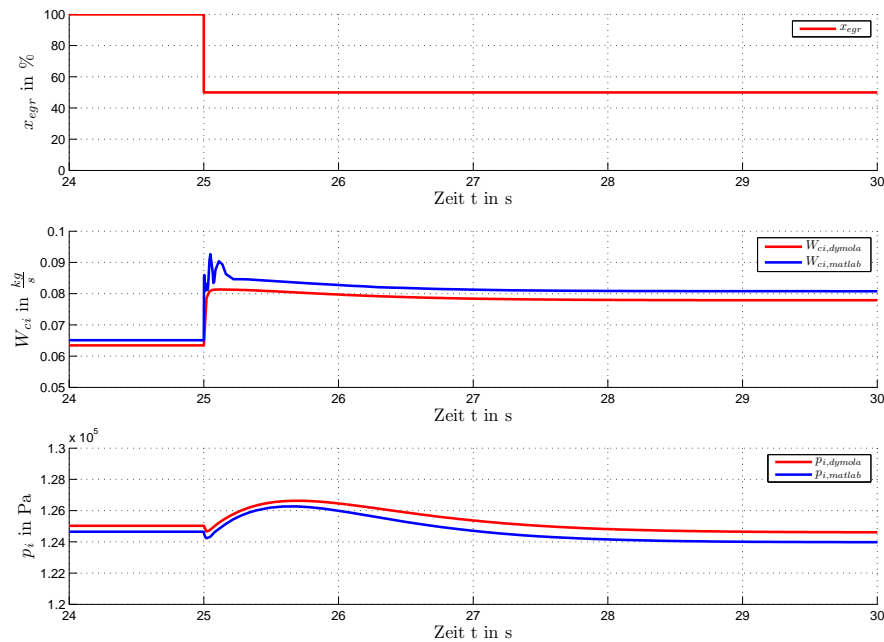


**Abbildung 5.2.:** Vergleich des Matlab und des Dymola Modells bei sprungförmiger Anregung

Das vorliegende Ergebnis kann jedoch als ausreichend genau für den Reglerentwurf und die darauf folgende Simulation betrachtet werden.

### 5.2.2. Vergleich des transienten Verhaltens

Für die Validierung der Dynamiken aus dem realen Motor am Prüfstand wären neben den vorhandenen Daten aus eingeschwungenen Betriebspunkten auch zeitabhängige Messwerte über Betriebspunktwechsel notwendig. Da diese Messwerte jedoch nicht zur Verfügung standen, stellte sich die Validierung des transienten Verhaltens als schwierig heraus. Aus den Gleichungen der Modellierung der Volumina sticht der Einfluss der drei Volumina, jenes am Einlass  $V_i$ , jenes am Auslass  $V_x$  und jenes des Ladeluftkühlers  $V_{ic}$  auf die Dynamik des Luftpfads heraus. Diese Größen bestimmen maßgeblich das dynamische Verhalten des modellierten Motors und wurden an die realen Verhältnisse am Motor angenähert. In Abbildung 5.2 wird das Verhalten der Modelle von Dymola und Matlab auf einen Sprung der Stellung der Turbinenschaukel dargestellt. Die Motordrehzahl beträgt  $1400 \text{ U/min}$ , und die zugeführte Kraftstoffmenge  $6.06 \cdot 10^{-4} \text{ kg}$  pro Zyklus. Die Eingangsgröße  $x_{vgt}(t)$  springt bei einer Simulationszeit  $25 \text{ s}$  um  $50\%$  nach unten. In den beiden unteren Diagrammen in Abbildung 5.2 ist einerseits der Luftmassenstrom vom Ladeluftkühler in den Einlass  $W_{ci}(t)$ , andererseits der Ladedruck  $p_i(t)$  dargestellt. Es werden jeweils die Verläufe der zuvor beschriebenen Größen aus dem Matlab Modell und aus dem Dymola Modell angezeigt. Es ist eine gute Übereinstimmung der beiden Modelle zu erkennen. Jedoch sind die Verläufe nicht identisch. Besonders kurz nach dem Sprung der Eingangsgröße ist eine größere Abweichung zu erkennen. Dies kann auf die unterschiedlichen Lösungsmethoden der beiden Programme zurückgeführt werden. Die jeweiligen



**Abbildung 5.3.:** Vergleich des Matlab und des Dymola Modells bei sprungförmiger Anregung

Endwerte stimmen jedoch gut überein.

An dieser Stelle wird ein weiterer transienter Verlauf bestimmter Modellgrößen aufgrund einer Änderung einer Eingangsgröße dargestellt. Die Stellung der Klappe an der Abgasrückführung  $x_{egr}(t)$  springt nach 25 s um 50% nach unten. Der Motor dreht sich vor und nach dem Sprung mit 1000 Umdrehungen in der Minute. Außerdem wird die Kraftstoffmenge  $4.54 \cdot 10^{-4}$  kg pro Zyklus zugeführt. Die beiden unteren Diagramme stellen wieder dieselben Größen dar, wie bereits in Abbildung 5.2. Zu erwähnen ist, dass nach einem Sprung der Abgasrückführklappe die beiden Modelle nicht mehr in so hohem Maße übereinstimmen, wie dies nach dem Sprung der Turbinenschaufelstellung der Fall war. Außerdem ist beim Verlauf des Luftmassenstroms vom Kompressor in den Einlass zu erkennen, dass das Matlab Modell starke Schwankungen aufweist. Dies lässt vermuten, dass der Löser nahe einer Instabilität ist. Der Verlauf aus dem Dymola Modell weist hingegen keine derartige Schwankungen auf. Die beiden Verläufe aus dem Sprung der Turbinenschaufelstellung führen zu einer größeren stationären Abweichung. Das kann auf die relativ komplexen hinterlegten Kennlinien der Komponenten Kompressor und Turbine zurückgeführt werden, da die beiden unterschiedlichen Löser zu unterschiedlichen Gleichgewichtszuständen kommen.

# Kapitel 6

## Aufbau des Regelkreises

An dieser Stelle wird schrittweise der Weg zum vollständigen Regelkreis erläutert. Dabei wird besonders darauf geachtet, dass die Bedingungen für das Modell mit jenen des realen Motors am Prüfstand übereinstimmen. Dadurch soll gewährleistet werden, dass der Regler auch am Motor angewendet werden kann. Aus diesem Grund wird die Implementierung des Prüfstandes und des Reglers in Matlab/Simulink durchgeführt. Dadurch sind die beiden Teilsysteme, bestehend aus Regler und Luftpfadmodell, getrennt voneinander verwendbar.

### 6.1. Prüfstandssimulation in Simulink

Um die Bedingungen, welche am Prüfstand vorliegen herzustellen, ist es notwendig, den Zustand des Luftpfadmodells in geeigneter Weise vorzugeben. Die Wahl der Größen, welche den Betriebszustand vorgeben, erfordert die Betrachtung des gesamten Motors. Hieraus ergibt sich als erste logische Größe die Motordrehzahl  $N_e$ . Aus Sicht des Luftpfades stellt die Drehzahl eine Eingangsgröße dar, die theoretisch unabhängig vom Modell vorgegeben werden kann. In der Realität ergibt sich die Drehzahl jedoch aus dem Antriebs- und dem Bremsmoment des Fahrzeugs. Deshalb wird die Differenz dieser Momente mittels des Drallsatzes benutzt, um die Drehzahl zu bestimmen. Die Drehzahl stellt nun keine Eingangsgröße des gesamten Regelkreises dar, sie muss lediglich einen Anfangswert besitzen, damit der Startzustand des Motors festgelegt werden kann.

Für die Festlegung des Motorstartzustandes fehlt zusätzlich noch eine weitere Größe. Die Brennstoffmasse  $m_f(t)$  steht in einem direkt proportionalem Zusammenhang mit dem erzeugtem Motordrehmoment  $M_e(t)$ , [Rueckert, 2008, S.68]. Deshalb wird das Motordrehmoment als zweite Größe gewählt, um den Zustand zu definieren.

#### 6.1.1. Regelkreise für das Motordrehmoment und die Motordrehzahl

In einer Simulation auf dem Prüfstand wird in der Leerlaufdrehzahl gestartet und dem Gesamtsystem, bestehend aus Verbrennungsmotor und Prüfstand, das erforderliche Moment und die gewünschte Motordrehzahl vorgegeben. Diese beiden Größen können durch zwei unabhängige PI-Regler eingeregelt werden. Die Realisierung in Simulink ist in Abbildung 6.1 dargestellt.

Der untere Regelkreis für das Drehmoment wird an dieser Stelle näher erläutert. Um ein besse-

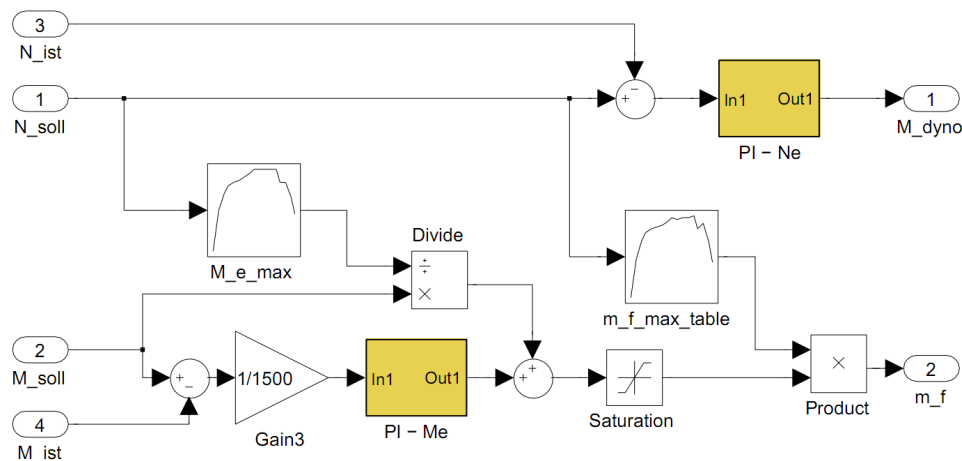


Abbildung 6.1.: PI-Regelkreise für Drehzahl und Drehmoment

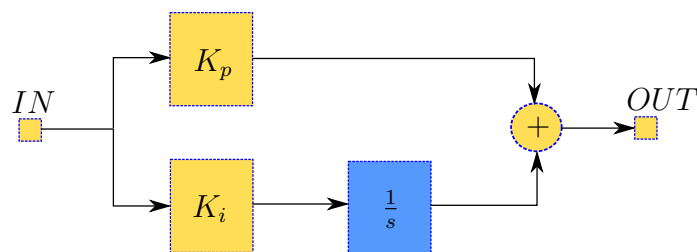
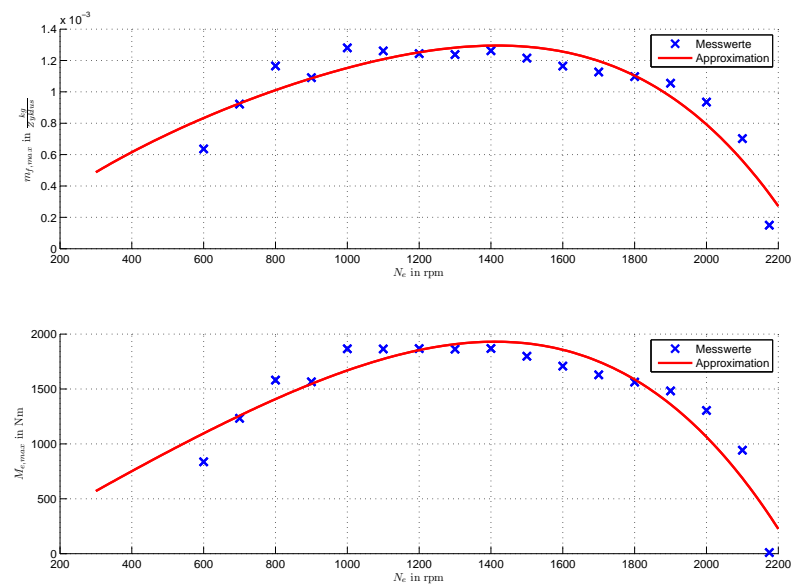


Abbildung 6.2.: Aufbau der PI-Regler

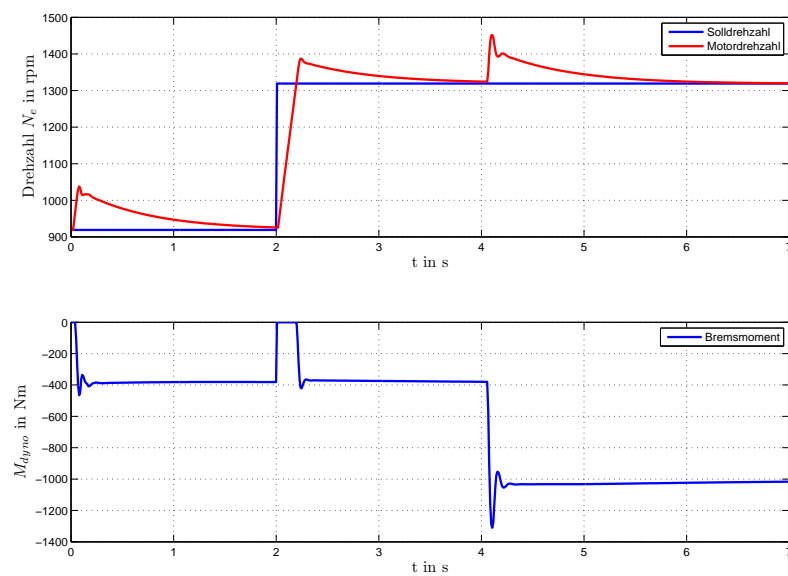
res Regelverhalten zu erreichen, wird eine Vorsteuerung verwendet, welche aus dem  $M_{e\_max}$  Block und einer Division besteht. Dieser Block enthält die Kennlinie des maximal zulässigen Motordrehmoments und ist im unteren Diagramm in Abbildung 6.3 dargestellt. Diese Vorsteuerung übernimmt den Hauptteil der Stellarbeit. Das Signal nach der Division repräsentiert den Anteil des aktuell geforderten Drehmoments  $M_{e,soll}$  zu dem maximal möglichen Drehmoment. Dieser Wert sollte immer zwischen 0 und 1 liegen, ansonsten wird ein unmöglicher Betriebszustand gefordert. Lediglich die noch bestehende Regelabweichung wird als Eingangsgröße für den PI-Regler verwendet. Damit die beiden Anteile an der Stellgröße in der selben Größenordnung sind wird der Teil des Reglers mit  $\frac{1}{1500}$  normiert. Die Anteile der Stellgröße werden addiert, und danach auf 1 begrenzt, damit keinesfalls ein größerer Wert für die Kraftstoffmenge vorgegeben wird als  $m_{f,max}$ . Die Stellgröße kann deswegen auf 1 begrenzt werden, da nur der Anteil an der maximal möglichen Kraftstoffmenge geregelt wird.

Vor allem bei Dieselmotoren können im niedrigen Drehzahlbereich sehr hohe Motordrehmomente  $M_e(t)$  auftreten, welche zur mechanischen Zerstörung mancher Bauteile führen. Um dies zu verhindern, ist eine Drehmomentbegrenzung erforderlich. Diese wird durch eine Begrenzung der Kraftstoffmenge  $m_f(t)$  realisiert. Die approximierte Kennlinie aus den Messdaten ist im oberen Diagramm der Abbildung 6.3 dargestellt. Die zuvor beschriebene begrenzte Stellgröße wird mit der Begrenzungskennlinie multipliziert. Dadurch kann eine Überschreitung der Kraftstoffbegrenzung ausgeschlossen werden. Die PI-Regler wurden aus Standardelementen aus der Simulinkbibliothek nach Abbildung 6.2 aufgebaut. Die Werte der beiden verwendeten PI-Regler sind aus Tabelle 6.1 zu entnehmen: Diese Werte wurden experimentell ermittelt.

In den Abbildungen 6.4 und 6.5 sind die Ergebnisse der Regelungen dargestellt. Es befinden sich im jeweils oberen Plot die Sollwerte mit der Regelgröße, im jeweils unteren hingegen die



**Abbildung 6.3.:** Drehzahlabhängige Drehmoment- und Kraftstoffbegrenzung im PI-Regelkreis



**Abbildung 6.4.:** Drehzahlregelung als Prüfstandersatz

Regler	$K_p$	$K_i$
$PI - N_e$	7	10
$PI - M_e$	0.2	0.3

Tabelle 6.1.: Werte für PI-Regler

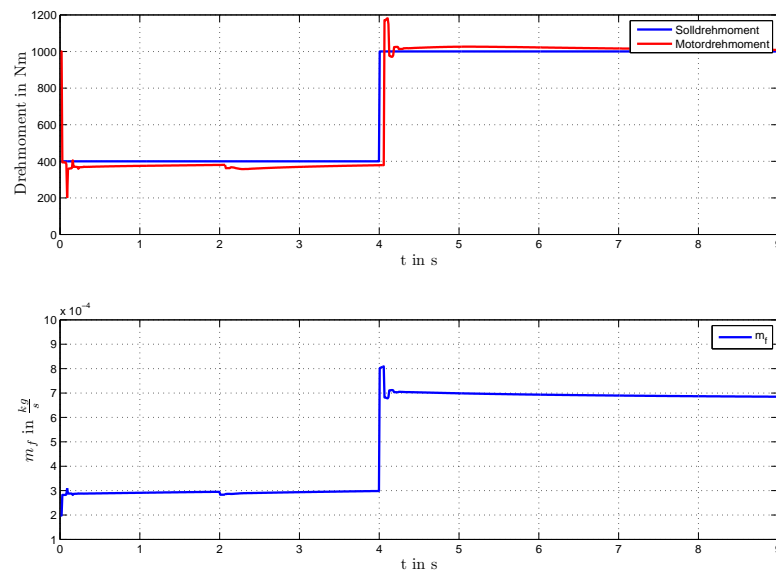


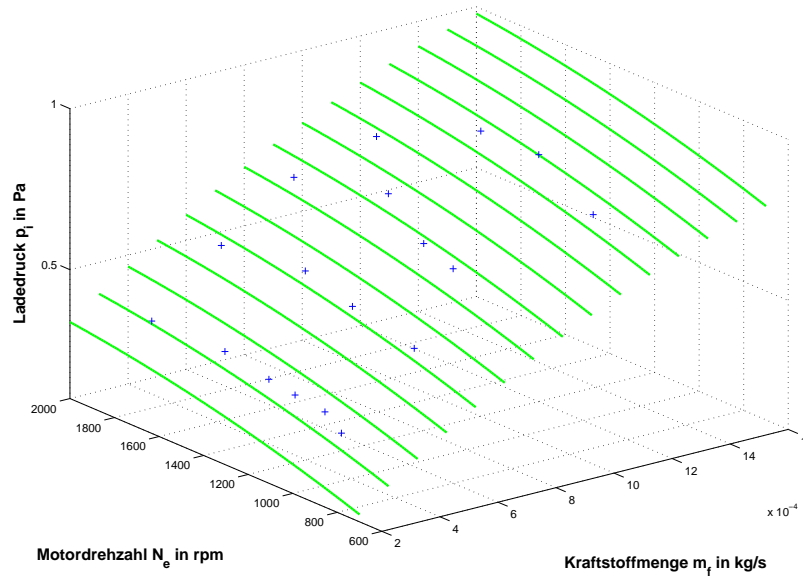
Abbildung 6.5.: Drehmomentregelung als Prüfstandersatz

zugehörigen Stellgrößen der beiden Regelkreise. Nach dem Start der Simulation pendeln sich beide Werte ein. Das Drehmoment weist eine hohe Dynamik auf und folgt der Sollgröße rasch, die Drehzahl benötigt etwas mehr Zeit, um den Sollwert zu erreichen. Nach 2s erhöht sich die Motordrehzahl um 400rpm und nach 4s das Motordrehmoment um 600Nm. Die Stellgrößen sind einerseits das Bremsmoment des Prüfstandes  $M_b(t)$ , um die Motordrehzahl zu regeln und andererseits die Kraftstoffmenge  $m_f(t)$ , um das Drehmoment einstellen zu können.

### 6.1.2. Vorgabe der Solltrajektorien

Aus dem aktuellen Zustand des Motors ist es möglich, die für die Regelung des Luftpfades notwendigen Sollwerte der beiden Regelgrößen Ladedruck  $p_i(t)$  und Frischluftmasse  $W_{ci}(t)$  vorzugeben. Am Prüfstand und in der realen Verwendung des Motors wird die Vorgabe jener Solltrajektorien durch das Motorsteuergerät durchgeführt. Da auch diese Werte in den Messdaten vorhanden sind, ist es relativ einfach möglich, die beiden Regelgrößen mit Hilfe einer Kennfläche darzustellen. In den Abbildungen 6.6 und 6.7 sind die Kennflächen, und die gemittelten Werte an den Linearisierungspunkten der beiden Regelgrößen dargestellt. Wie in Kapitel 6.3 erklärt wird, wird allen Messpunkten ein zugehöriger Linearisierungspunkt zugeordnet. Die Mittelwerte ergeben sich aus allen Messpunkten eines Linearisierungspunktes. Beide Größen steigen mit der Drehzahl und der zugeführten Kraftstoffmenge an. Diese Kennflächen werden nun verwendet, um ausgehend vom aktuellen Betriebspunkt  $(N_e, m_f)$  die korrespondierenden Sollwerte

$(W_{ci}, p_i)$  für die Luftpfadregelung vorzugeben. Abschließend wird in Abbildung 6.8 schema-



**Abbildung 6.6.:** Kennlinien für die Vorgabe des Ladedrucks

tisch der Aufbau des entwickelten Regelkreises dargestellt. Dabei sind die zuvor beschriebenen Komponenten *PI-Regler* und die *Kennlinienfelder* für die Solltrajektorien enthalten. Der *MPR* Block repräsentiert den verwendeten Regler. In diesem ist eine modellbasierte prädiktive Regelung (engl. „model predictive control“) enthalten. Der Entwurf wird in Kapitel 7 erklärt. Als Ausgang besitzt er die beiden Stellgrößen, Stellung der Klappe der Abgasrückführung  $x_{egr}(t)$  und die Geometrie der Turbinenstellung  $x_{vgt}(t)$ .

Zusätzlich wurde bereits ein Block abgebildet, in dem der Index jenes Linearisierungspunktes ermittelt wird, der den kleinsten Abstand zum gegebenen Zustand besitzt. Der Abstand  $d_{AP}$ , der den aktuellen Motorzustand zu einem Linearisierungspunkt darstellt, wird in Gleichung 6.1 berechnet. Es kann nun jenes Modell zur Regelung verwendet werden, dessen Linearisierungspunkt den geringsten Abstand  $d_{AP}$  aufweist.

$$d_{AP} = (m_{f,AP} - m_f)^2 + (N_{e,AP} - N_e)^2 \quad (6.1)$$



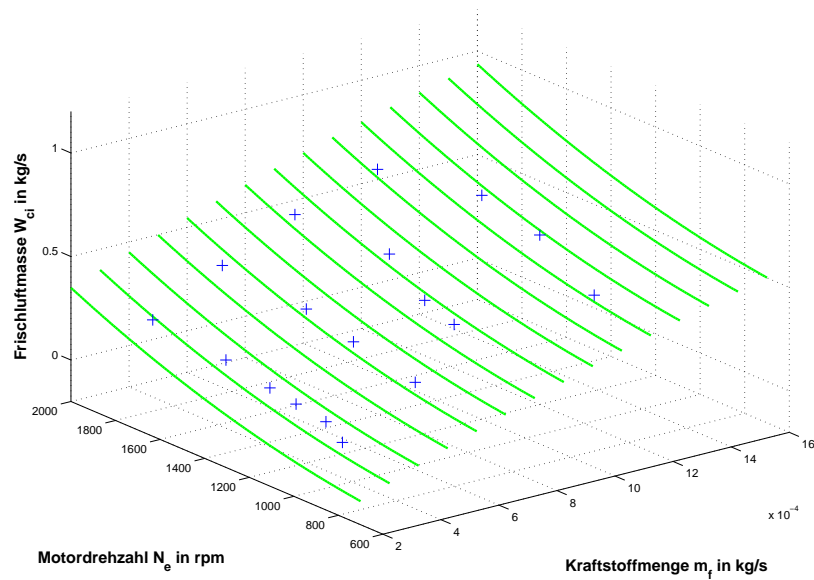


Abbildung 6.7.: Kennlinien für die Vorgabe der Frischluftmasse

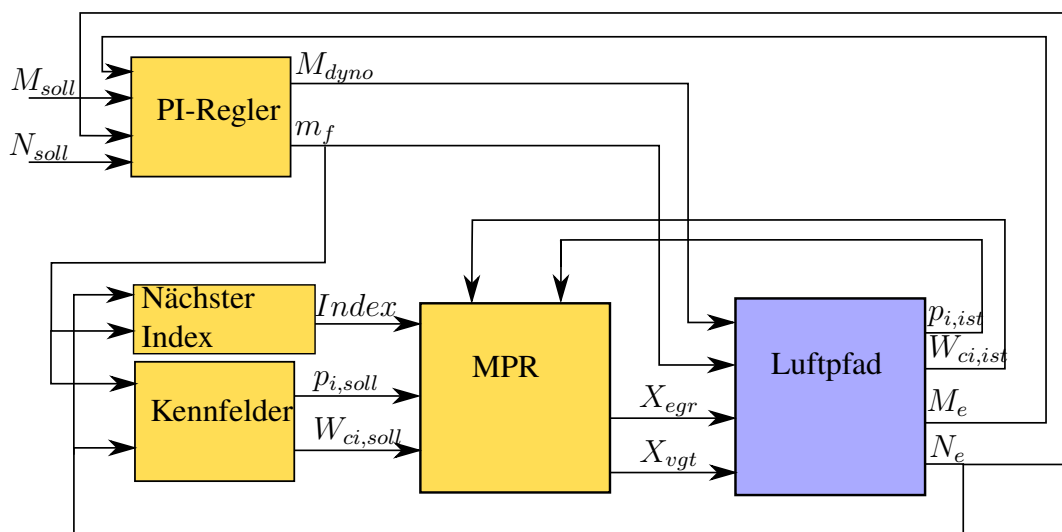


Abbildung 6.8.: Aufbau des Regelkreises für den Luftpfad

## 6.2. Einbindung des Co-Simulationswerkzeuges ICOS

Für die Simulation des Reglers mit dem Luftpfadmodell wird das Co-Simulationswerkzeug (engl. „independent CO-Simulation“) verwendet. Dabei handelt es sich um eine Software, mit deren Hilfe es möglich ist, Simulationen von Teilsystemen, die aus unterschiedlichen Domänen stammen miteinander zu verbinden. Dies wird in technischen Entwicklungen zunehmend wichtiger, da immer komplexere Modelle zur Vorhersage des Verhaltens eines Produktes benötigt werden. Da sich diese Implementierungen aber auf unterschiedlichen Abstrahierungsebenen befinden, können nicht alle in der selben Softwareumgebung simuliert werden. ICOS besitzt eine flexible Sever/Client Struktur, wie in [ViF, 2011] beschrieben wird. Das heißt, die Berechnungen können im Netzwerk verteilt durchgeführt werden. Von den Clients wird die Simulation konfiguriert und gestartet. In Abbildung 6.9 ist ein selbst arrangierendes Netzwerk dargestellt. In die-

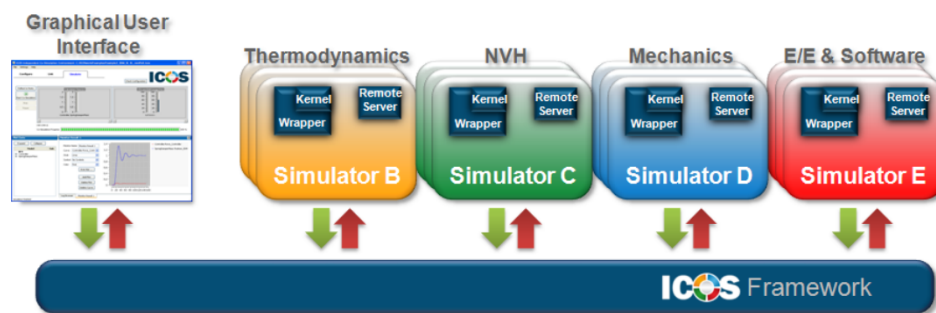


Abbildung 6.9.: Koppelung von Simulationswerkzeugen,[ViF, 2011]

ser Arbeit werden die beiden Simulationswerkzeuge Matlab/Simulink und Dymola/Modelica gekoppelt. Die Kopplung erfolgt dabei noch nach dem sogenannten „nicht-iterativem“Prinzip. ICOS lässt jeweils eine Software einen Zeitschritt berechnen, übergibt die zuvor definierten Ausgangsgrößen an das jeweils andere Programm und lässt dieses dann berechnen. Im Falle einer geschlossenen Schleife ist diese sequentielle Vorgehensweise problematisch, da die Eingangsgrößen des zuerst simulierten Teilsystems nicht zur Verfügung stehen. Einen Ausweg bietet hier eine Extrapolation von Koppelgrößen. Dadurch entsteht ein Resultat, bei dem die beiden Umgebungen gekoppelt sind. Wichtig für die Qualität der Simulation ist selbstverständlich der gewählte Zeitschritt. Da in dieser Arbeit eine modellbasierte prädiktive Regelung realisiert wird, welche zeitdiskret ist, kann als Zeitschritt die Abtastzeit des Reglers gewählt werden. Da das Modell als erstes Teilsystem gelöst wird, ist eine Extrapolation 0-ter Ordnung sinnvoll.

### 6.2.1. Schnittstellen zwischen Simulink und Dymola

In ICOS ist es notwendig, die Richtung jeder gekoppelten Größe vorzugeben, das heißt, Eingangs- und Ausgangsgrößen müssen spezifiziert werden. In Tabelle 6.2 sind diese für die vorliegende Aufgabenstellung zusammengefasst angeführt. Obwohl für die Regelung des Luftpfades nur die beiden Regelgrößen  $p_i(t)$  und  $W_{ci}(t)$  notwendig sind, müssen die Größen  $N_e(t)$  und  $M_e(t)$  ebenfalls über ICOS verbunden werden, um den Zustand des Motors zu definieren.

Benennung	Richtung in Dymola	Erklärung
$p_i$	Ausgangsgröße	Ladedruck
$W_{ci}$	Ausgangsgröße	Frischlufthmasse
$N_e$	Ausgangsgröße	Motordrehzahl
$M_e$	Ausgangsgröße	Motordrehmoment
$x_{egr}$	Eingangsgröße	EGR-Klappe
$x_{vgt}$	Eingangsgröße	Turbinenstellung
$M_{dymo}$	Eingangsgröße	Bremsmoment des Prüfstandes
$m_f$	Eingangsgröße	Kraftstoffmenge

Tabelle 6.2.: Gekoppelte Größen bei der Co-Simulation

### 6.3. Linearisierung in Dymola

In Kapitel 7 wird eine lineare modellbasierte prädiktive Regelung entworfen. Um das dafür notwendige Modellwissen in die Regelung einbringen zu können, wird ein lineares Zustandsraummodell benötigt. Anhand dieser linearen Modelle wird in Simulink eine MPR erarbeitet.

Das Softwarepaket Dymola stellt über einen Menüeintrag einen Befehl zur Verfügung, mit dem die Möglichkeit besteht, das aktuelle Modell zu linearisieren. Es werden die im Modell definierten Ein- und Ausgänge für das linearisierte Zustandsraummodell verwendet. Wichtig ist dabei, dass vor der Linearisierung das gesamte Modell initialisiert werden muss. Deshalb müssen die Zustände und die Eingänge derart vorgegeben werden, damit die Linearisierung in der gewünschten Ruhelage durchgeführt wird. Dymola erzeugt dabei die Datei *dslin.mat*, in welcher sich die Matrizen für das lineare Zustandsraummodell  $A, B, C, D$  befinden.

Über den Befehl `[A,B,C,D,xName,uName,yName] = tloadlin('dslin')` kann dieses Modell in Matlab importiert werden, um für den Reglerentwurf herangezogen werden zu können.

Da sich der Luftpfad des Dieselmotors in unterschiedlichen Zuständen befinden kann, wurde diese Linearisierung anhand des in Abbildung 6.10 dargestellten Rasters mehrmals durchgeführt. Das Raster wird über die beiden Größen Drehzahl  $N_e$  und Kraftstoffmenge  $m_f$  aufgespannt, da über diese der Zustand des Motors definiert wird. Die Wahl der konkreten Punkte ergab sich aus den vorhandenen Messwerten des realen Motors. Sie sind in Abbildung 6.10 durch Kreise dargestellt. An den schwarzen Kreisen erkennt man, dass bei den Messungen nur bestimmte Drehzahlen angefahren wurden. Sinnvollerweise werden diese für die Linearisierung verwendet.

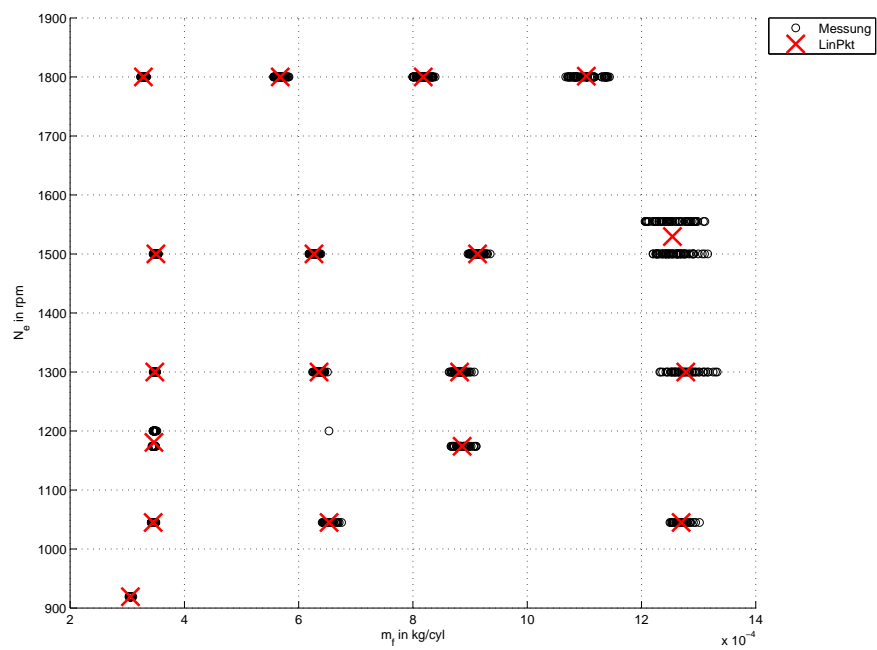


Abbildung 6.10.: Betriebspunkte zur Linearisierung

# Kapitel 7

## Modellbasierte prädiktive Regelung

In diesem Kapitel werden grundlegende Eigenschaften, sowie Vor- und Nachteile, einer modellbasierten Regelung angeführt. Da der Kostendruck in der industriellen Fertigung stetig zunimmt, ist es notwendig, die Produktionsprozesse möglichst ressourcenschonend ablaufen zu lassen. Dazu trägt selbstverständlich eine passende Regelung einen großen Teil bei. Vor allem bei langsam ablaufenden Prozessen, wie sie in der chemischen Industrie vorkommen, fand die prädiktive Regelung schnell Verbreitung [Maciejowski, 2002].

Die folgende Aufzählung enthält die wesentlichsten Vorteile einer modellbasierten prädiktiven Regelung.

- Für regelungstechnische Aufgaben, in denen die zu regelnde Strecke einen ausgeprägten Mehrgrößencharakter aufweist, stellt die MPR eine hervorragende Wahl dar. Unter ausgeprägtem Mehrgrößencharakter versteht man Mehrgrößensysteme, bei denen die Kopplung einzelner Eingangsgrößen zu mehreren Ausgangsgrößen, und umgekehrt stark ist. Es ist offensichtlich, dass bei derartigen Strecken getrennte Eingrößenregelungen schwierig zu realisieren sind. Um dem Ziel, sämtlichen Regelgrößen ein gewünschtes Verhalten aufprägen zu können, näher zu kommen, birgt die Einbeziehung des Modellwissens immense Vorteile.
- Jede reale Regelstrecke ist einer Beschränkung der Stellgrößen unterworfen. Herkömmliche Regler müssen so dimensioniert werden, dass sie unter normalen Bedingungen nicht in die Beschränkungen kommen, da dies ohne zusätzliche Maßnahmen zu einem nicht prognostizierbaren Verhalten des Regelkreises führen kann. Der Vorteil in einer modellbasierten prädiktiven Regelung ist, dass jene Stellgrößenbeschränkungen beim Entwurf des Reglers angegeben werden können. Dadurch wird bei der Optimierung im laufenden Betrieb automatisch auf die Einhaltung der Beschränkungen geachtet.
- Vor allem im verfahrenstechnischen Bereich kommt es oft vor, dass sich geänderte Kostenstrukturen auf den optimalen Arbeitspunkt eines Prozesses auswirken. Geschieht dies, muss die für den Prozess verantwortliche Regelung ebenfalls geändert werden. Die dafür notwendige Strukturflexibilität wird durch eine modellbasierte prädiktive Regelung gewährleistet. Das bedeutet, dass ein ausgefallener Sensor, oder die Wartung eines Anlagenteils nicht zu einem völligen Versagen der Regelung führt.

Für die Beschreibung der Funktionsweise der prädiktiven Regelung wird die Symbolik aus Tabelle 7.1 verwendet. Diese Form der Regelung von Systemen kann aufgrund der Vorausberechnungen praktisch nur als diskreter Regler realisiert werden. Deshalb sind die vom Regler generierten Größen, wie Stellgrößen  $u_k$  und prädizierte Regelgrößen  $\hat{y}_k$ , Zahlenfolgen, deren

Benennung	Erklärung
$u_k$	Stellgröße
$y_{ref}(t)$	Referenztrajektorie der Regelgröße
$y_{ref,k}$	Referenztrajektorie der Regelgröße zum Zeitpunkt $k$
$\hat{y}_k$	prädizierte Regelgröße
$Q$	Ausgangsgewichtungsmatrix
$R$	Stellgrößengewichtungsmatrix
$T_d$	Abtastperiode
$H_p$	Prädiktionshorizont
$H_u$	Steuerungshorizont

**Tabelle 7.1.:** Größen für die modellbasierte prädiktive Regelung

Werte zum Abtastzeitpunkt  $t = k \cdot T_d$  durch den Index  $k$  im Symbol gekennzeichnet wird. D.h. es gilt:

$$\begin{aligned} u_k &= u(k \cdot T_d) \\ \hat{y}_k &= \hat{y}(k \cdot T_d) \end{aligned} \quad (7.1)$$

usw.

## 7.1. Prinzip der modellbasierten prädiktiven Regelung

Im Wesentlichen wird bei der MPR versucht, durch ein Vorausberechnen des Modells eine optimale Regelung, im Sinne des gewählten Gütekriteriums, zu erreichen. Deshalb ist auch das gesamte Modellwissen notwendig, um diese Vorausberechnung durchführen zu können. Um von einer optimalen Regelung sprechen zu können, muss zuerst das zuvor erwähnte Gütekriterium  $J$  formuliert werden, welches es zu minimieren gilt. Auf die Wahl dieses Kriteriums und der dazugehörigen Parametrierung wird später näher eingegangen.

Der Regler versucht ausgehend vom aktuellen Zustand  $x_k$  der Regelstrecke durch eine geeignete Wahl der zukünftigen Elemente der Stellgröße  $u_k$  bis  $u_{k+H_u}$  das gewählte Gütekriterium zu minimieren. Dazu werden mit Hilfe des Modells und der gewählten Stellgröße die zukünftigen Ausgänge  $\hat{y}_k$  des realen Systems errechnet und mit den Werten der vorgegebenen Referenztrajektorie  $y_{ref,k}$  zu den Zeitpunkten  $k$  der Regelgröße verglichen. In Abbildung 7.1 wird dieser Mechanismus anhand einer Eingrößenregelung grafisch erläutert. Es ist anzumerken, dass der Regler die zukünftigen Werte der Referenztrajektorie  $y_{ref}(t)$  nicht kennt. Deshalb gilt für die Optimierung im Zeitschritt  $k$  der aktuelle Wert  $y_{ref,k}$  als der Anzustrebende. Da nur die Stellgrößen bis zum Steuerungshorizont  $H_u$  ermittelt werden, ist es notwendig für die Differenz zum Prädiktionshorizont  $H_p$  Werte anzunehmen, damit die Verläufe der Ausgangsgrößen berechnet werden können. Es wird angenommen, dass die Stellgrößen konstant verlaufen. Für die Optimierung im nächsten Zeitschritt wird der aktualisierte Wert herangezogen. Dabei hat der Regler das Ziel, die prognostizierten Werte für die Regelgrößen mit möglichst geringen Stellgrößenänderungen rasch an die Solltrajektorie heranzuführen. Da es sich bei der Prädiktion um eine rechenintensive Aufgabe handelt, wird diese durch einen Prädiktionshorizont  $H_p$  auf eine bestimmte Zeit eingeschränkt. In dieser sollte sich jedoch ein Großteil der Streckendynamik befinden, damit der Regler sinnvolle Vorhersagen treffen kann.

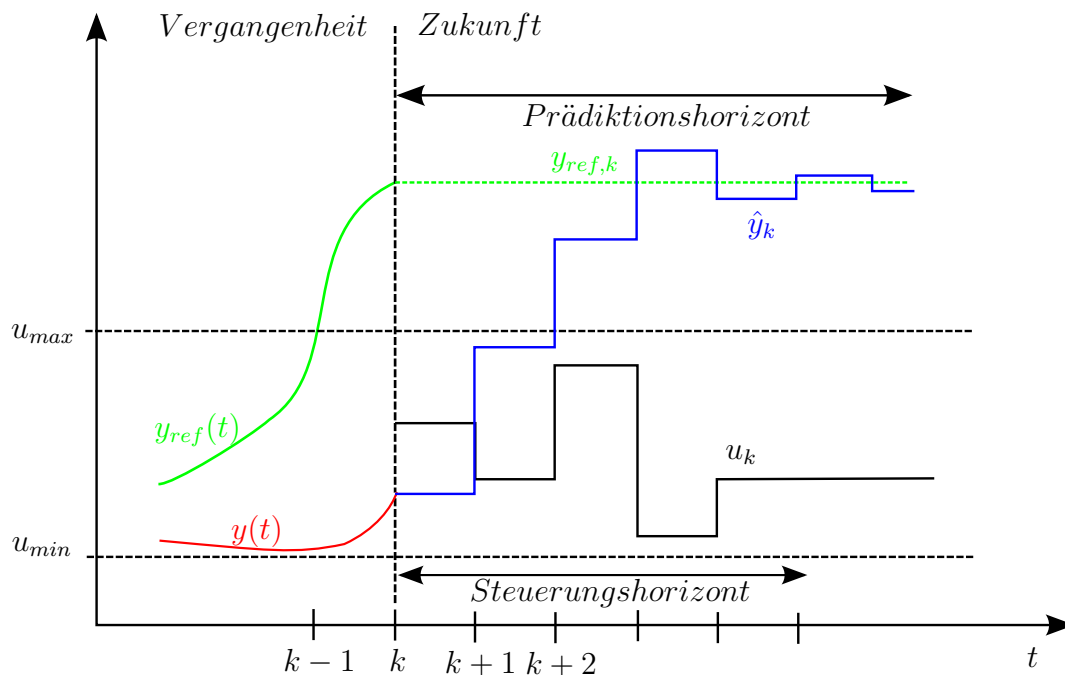


Abbildung 7.1.: Schema einer modellbasierten prädiktiven Regelung

### 7.1.1. Prinzip des gleitenden Horizonts

Obwohl, die in Abbildung 7.1 dargestellte optimale Stellfolge bis zum Steuerungshorizont  $H_u$  ermittelt wird, werden nicht die gesamten Werte für die Regelung herangezogen. Es wird nur der erste Wert der Stellfolge als aktueller Stellgrößenwert verwendet. Einen Zeitschritt später wird die selbe Optimierung mit den aktuellen Messwerten wieder durchgeführt, und von der neu ermittelten Stellfolge wieder nur der erste Wert für die Regelung herangezogen. Diese Vorgehensweise erlaubt es, die auf das System einwirkenden Störgrößen in jedem Optimierungsschritt, aufgrund der aktuellen Messwerte, einfließen zu lassen. Obwohl in jedem Iterationsschritt eigentlich nur eine optimale Steuerung berechnet wird, ergibt sich aufgrund der gewählten Strategie insgesamt eine Regelung.

### 7.1.2. Kostenfunktion

Entscheidend für die Qualität des Regelkreises ist die Wahl einer geeigneten Kostenfunktion, die bezüglich der Stellfolgenwerte innerhalb des Steuerungshorizontes zu minimieren ist. Allgemein soll selbstverständlich die Abweichung der Regelgrößen von den Solltrajektorien bestraft werden. Zusätzlich ist es sinnvoll, den Aufwand der Stellglieder in Grenzen zu halten. Deshalb wird, wie in Gleichung 7.2 zu sehen ist, diese Änderung ebenfalls bestraft. Für die prädizierten Regelgrößen  $\hat{y}_k$  und die berechneten Stellfolgen  $u_k$  ist es notwendig mit Hilfe eines weiteren Index den Zeitpunkt der Berechnung anzugeben. Das heißt  $\hat{y}_{k+i|k}$  symbolisiert einen zum Zeitpunkt  $k$  berechneten zukünftigen Wert der Regelgrößen für den Zeitpunkt  $k+i$  und  $\Delta u_{k+i|k}$  den zum Zeitpunkt  $k$  berechneten zukünftigen Wert der Stellgrößenänderungen für den Zeitpunkt  $k+i$ :

$$J(k) = \sum_{i=1}^{H_p} \left\| \hat{y}_{k+i|k} - y_{ref,k} \right\|^2 + \sum_{i=0}^{H_u} \left\| \Delta u_{k+i|k} \right\|^2 \quad (7.2)$$

Die prognostizierte Abweichung der Regelgrößen  $\hat{y}_{k+i|k}$  von der Referenztrajektorie  $y_{ref,k}$  zum Zeitpunkt  $k$  wird zum Regelfehler  $\hat{e}_{k+i|k}$  in Gleichung 7.3 zusammengefasst:

$$\hat{e}_{k+i|k} = \hat{y}_{k+i|k} - y_{ref,k} \quad (7.3)$$

In der Literatur wird üblicherweise die Matrizenschreibweise verwendet, damit die Übersichtlichkeit erhalten bleibt und weitere Rechenschritte nachvollziehbar durchgeführt werden können. Der Regelfehler und die Stellgrößenänderung werden zu folgenden Vektoren zusammengefasst:

$$\vec{\hat{e}}_k = \begin{pmatrix} \hat{y}_{k+1} - y_{ref,k} \\ \hat{y}_{k+2} - y_{ref,k} \\ \vdots \\ \hat{y}_{k+H_p} - y_{ref,k} \end{pmatrix} \quad \Delta \vec{u}_k = \begin{pmatrix} u_{k+1} - u_k \\ u_{k+2} - u_{k+1} \\ \vdots \\ u_{k+H_u} - u_{k+H_u-1} \end{pmatrix} \quad (7.4)$$

Dazu werden in Gleichung 7.5 die beiden Summen aus Gleichung 7.2 zu Produkten von Vektoren zusammengefasst, [Dittmar, 2004, S.140]. Es wird die Euklidische-Norm verwendet, wodurch sich ein quadratisches Gütekriterium ergibt. Damit unnötige Rechenschritte erspart bleiben, wird die Quadratwurzel, welche normalerweise gebildet wird um die Euklidische-Norm zu ermitteln, durch das Quadrieren aufgehoben.

$$\begin{aligned} \vec{\hat{e}}_k^T \cdot \vec{\hat{e}}_k &= \sum_{i=1}^{H_p} (\hat{y}_{k+i|k} - y_{ref,k})^2 \\ \Delta \vec{u}_k^T \cdot \Delta \vec{u}_k &= \sum_{i=0}^{H_u} (\Delta u_{k+i|k})^2 \end{aligned} \quad (7.5)$$

Um eine Gewichtung der Strafterme anhand der Regelgrößen, und der Stellgrößen vornehmen zu können, werden zusätzlich die beiden Gewichtungsmatrizen  $Q$  und  $R$  eingeführt. Damit die Minimierung der Kostenfunktion  $J(k)$  für die Regelung sinnvoll ist, müssen die Summanden stets nicht negative Werte annehmen. Ist dies nicht der Fall, könnte ein großer positiver Summand, der sich selbstverständlich schlecht auf das Regelverhalten auswirkt, durch einen ebenso großen negativen Wert aufgehoben werden. Deshalb müssen die beiden Matrizen  $Q$  und  $R$  *positiv semidefinit* sein, [Fischer und Kaul, 2001, S.372]. Praktisch wählt man in den meisten Fällen eine Diagonalmatrix mit positiven Diagonalelementen, wie in Gleichung 7.6 dargestellt, [Dittmar, 2004, S.140]. Die Elemente  $q_1$  bis  $q_{H_p}$  repräsentieren die Gewichtungselemente für jeden Zeitschritt im Optimierungsintervall.

$$Q = \begin{pmatrix} q_1 & 0 & \dots & 0 \\ 0 & q_2 & \dots & 0 \\ \vdots & \vdots & \ddots & 0 \\ 0 & 0 & \dots & q_{H_p} \end{pmatrix} \quad (7.6)$$

Dasselbe gilt für die Gewichtungsmatrix  $R$ , um die Stellgrößenänderungen zu bewerten.

$$R = \begin{pmatrix} r_1 & 0 & \dots & 0 \\ 0 & r_2 & \dots & 0 \\ \vdots & \vdots & \ddots & 0 \\ 0 & 0 & \dots & r_{H_u} \end{pmatrix} \quad (7.7)$$



Mit dieser Form der Kostenfunktion stehen dem Anwender nun die beiden Horizonte  $H_p, H_u$  und die Gewichtungsmatrizen  $Q, R$  zur Parametrierung zur Verfügung:

$$J(k) = \vec{e}_k^T \cdot Q \cdot \vec{e}_k + \Delta \vec{u}_k^T \cdot R \cdot \Delta \vec{u}_k \quad (7.8)$$

$$Q \geq 0, R \geq 0$$

Es ist offensichtlich, dass es für die Regelungseigenschaften vorteilhafter ist, je größer die beiden Horizonte sind, da das Verhalten des Modells weiter präzisiert wird. Außerdem kann nachgewiesen werden, dass bei einem unendlichen Prädiktionshorizont der Regelkreis garantiert stabil ist [Maciejowski, 2002, S.172]. Jedoch ist bei einem großen Prädiktionshorizont zu beachten, dass die zukünftige Solltrajektorie  $y_{ref}$  unbekannt ist. Es wird lediglich der zum aktuellen Zeitpunkt bekannte Wert für den gesamten Prädiktionshorizont als Sollwert herangezogen. Das führt zunehmend zu Stellfolgen, die auf einer wahrscheinlich falschen Solltrajektorie beruhen. Dasselbe Problem tritt aufgrund der unbekanntenen Störgrößen auf. Hinzu kommt der deutlich zunehmende Rechenaufwand, den der Regelungsalgorithmus benötigt. Sinnvollerweise sollte der Prädiktionshorizont so gewählt werden, dass auch die langsamste Streckendynamik ausreichend berücksichtigt werden kann.

## 7.2. Anwendung der MPC Toolbox aus Simulink

In der verwendeten Entwicklungsumgebung Matlab/Simulink wird die sogenannte *Model Predictive Control Toolbox* für die Implementierung einer modellbasierten prädiktiven Regelung zur Verfügung gestellt. Mit Hilfe des *MPC* (engl. *modellbased predictive control*) Blocks aus dieser Toolbox wird der gewünschte Regler erstellt. Ein solcher Block, wie in Abbildung 7.2

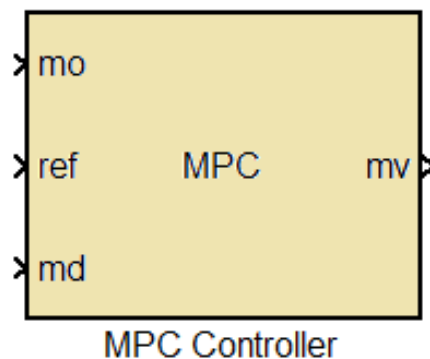


Abbildung 7.2.: MPR Block in Simulink

dargestellt, enthält den bereits konfigurierten Regler. Die Konfiguration des Reglers wird anschließend erläutert. An den Ports *mo* und *ref* sind die Ausgänge des simulierten Modells und die gewünschten Referenztrajektorien anzulegen. Die Dimension entspricht der Anzahl der Regelgrößen, in diesem Fall also 2. Der einzige Ausgangsportal enthält als Vektor die beiden Stellgrößen, mit denen das System geregelt werden kann. Der Eingang *md* steht für *measured disturbance* und steht optional zur Verfügung, um messbare Störungen für die Modellvorhersage mit einfließen zu lassen [Mathworks, 2012].

Da in dieser Arbeit die nichtlineare Strecke an mehreren Ruhelagen linearisiert wurde, ist es möglich, für die Regelung einen MPC Regler zu entwerfen, der mehrer linearisierte Modelle

enthält. Diese müssen anhand des aktuellen Zustands des Modells zur Laufzeit passend ausgewählt werden, um die Stellgrößen vorzugeben. Damit das Umschalten nicht manuell durchgeführt werden muss, stellt die verwendete Toolbox einen *Multiple MPC Controller* zur Verfügung. Dieser besitzt neben den bereits beschriebenen Ein- und Ausgängen noch einen weiteren Eingang. An diesem wird ein ganzzahliger Index übergeben, wodurch das zu verwendende Modell vorgegeben werden kann. Das Umschalten zwischen den unterschiedlichen Vorgaben der Stellgrößen wird geglättet, um Sprünge zu vermeiden. Dies kann problematisch sein, da es dadurch zu sehr großen Belastungen der Stellglieder kommen kann.

## 7.3. Parametrierung des Reglers

In diesem Abschnitt wird die Wahl der Reglerparameter anhand von Simulationsergebnissen begründet. Grundlegend ist zu erwähnen, dass zur Lösung des Optimierungsproblems, die *Standard Form* aus [Mathworks, 2012, 2-5] gewählt wurde. In dieser werden nicht die gesamten, im vorherigen Abschnitt beschriebenen Matrizen gewählt, sondern lediglich die Gewichtung der einzelnen Ausgänge zueinander. In gleicher Weise wird für die Stellgrößenänderung vorgegangen. Für die Gewichtungsmatrizen des  $i$ -ten Ausganges und der  $i$ -ten Stellgröße ergibt sich somit folgende Form:

$$Q_i = \begin{pmatrix} q_i & 0 & \dots & 0 \\ 0 & q_i & \dots & 0 \\ \vdots & \vdots & \ddots & \vdots \\ 0 & 0 & \dots & q_i \end{pmatrix} \quad R_i = \begin{pmatrix} r_i & 0 & \dots & 0 \\ 0 & r_i & \dots & 0 \\ \vdots & \vdots & \ddots & \vdots \\ 0 & 0 & \dots & r_i \end{pmatrix} \quad (7.9)$$

Wird ein System mit mehreren Ein- und Ausgängen geregelt ist es notwendig sämtliche Regelabweichungen und Stellgrößenänderungen in die Kostenfunktion einfließen zu lassen. Dazu muss über die Anzahl dieser Größen aufsummiert werden. Für das vorliegende Modell mit 2 Ausgängen und 2 Stellgrößen ergibt sich, die in Gleichungen 7.10 dargestellte Kostenfunktion:

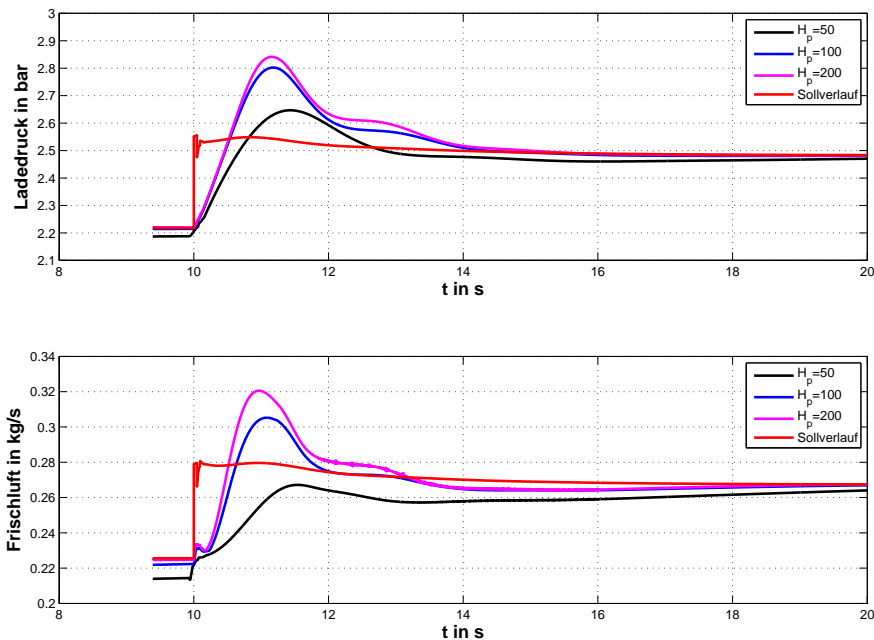
$$J(k) = \sum_{i=1}^2 \vec{e}_k^T \cdot Q_i \cdot \vec{e}_k + \sum_{i=1}^2 \Delta \vec{u}_k^T \cdot R_i \cdot \Delta \vec{u}_k \quad (7.10)$$

Diese Kostenfunktion erlaubt nur mehr die Wahl eines Koeffizienten für jeden Ausgang  $q_i$  und für jede Stellgröße  $r_i$ . Die beiden Stellgrößen, Position der Abgasrückführklappe  $x_{egr}$  und Stellung der Turbinengeometrie  $x_{vgt}$  müssen aufgrund der Konstruktion auf folgende Bedingung beschränkt werden:

$$\begin{aligned} 0 &\leq x_{egr} \leq 100 \\ 0 &\leq x_{vgt} \leq 100 \end{aligned} \quad (7.11)$$

Um den Einfluss der Änderung einzelner Parameter am Luftpfadmodell darstellen zu können, wurde ein Sprung der Sollwerte im gesamten Regelkreis simuliert. In Abbildung 7.3 ist ein Drehmomentsprung bei unterschiedlichen Prädiktionshorizonten  $H_p$  dargestellt. Das Modell des Luftpfades ist in dieser Simulation in Dymola ausgeführt worden, und der Regler mit der Prüfstandssimulation in Simulink. Diese beiden Umgebungen werden, wie zuvor beschrieben mit der Co-Simulationsumgebung ICOS ausgeführt. Es ist deutlich zu erkennen, dass bei kleineren Horizonten ( $H_p = 50$ ) die Abweichung der Regelgrößen vom Sollwert die ersten 2s

nach dem Sollwertsprung deutlich geringer ist. Jedoch ist am Regelfehler zu erkennen, dass die Bewertung des Endwerts nicht mehr zufriedenstellend einfließen kann. Deshalb wurde für den entworfenen Regler  $H_p = 100$  gewählt. Weiters ist der Regelungshorizont  $H_u$  zu bestimmen,



**Abbildung 7.3.:** Drehmomentsprung bei unterschiedlichen Prädiktionshorizonten

welcher die Anzahl der Zeitschritte festlegt, in der die Elemente der Stellfolge in den Strafterm einfließen. In Abbildung 7.4 ist diese Variation dargestellt. Die Unterschiede bei den Verläufen sind eher gering. Bei der Frischluftmasse ist etwas deutlicher zu sehen, dass ein höherer Regelungshorizont ein etwas geringeres Überschwingen zur Folge hat. Deshalb wurde  $H_u = 90$  gewählt. Dieser Werte könnte aber auch geringer gewählt werden, falls nicht ausreichend Rechenleistung vorhanden ist.

Im Fall des Modells für den Luftpfad kann die Gewichtung der Änderung der beiden Stellgrößen  $x_{vgt}(t)$  und  $x_{egr}(t)$  zueinander unverändert bleiben, da sich beide mit einer ähnlichen Dynamik auf das Modell auswirken. Es wurde für beide 0.1 gewählt, um den Einfluss der Änderung der Stellgrößen nicht zu hoch anzusetzen. Die Gewichtung für den Ladedruck  $p_i(t)$  wurde mit 0.7 kleiner gewählt als jene der Frischluftmasse  $W_{ci}$  mit 1, da der Ladedruck höhere Werte als die Frischluftmasse aufweist.

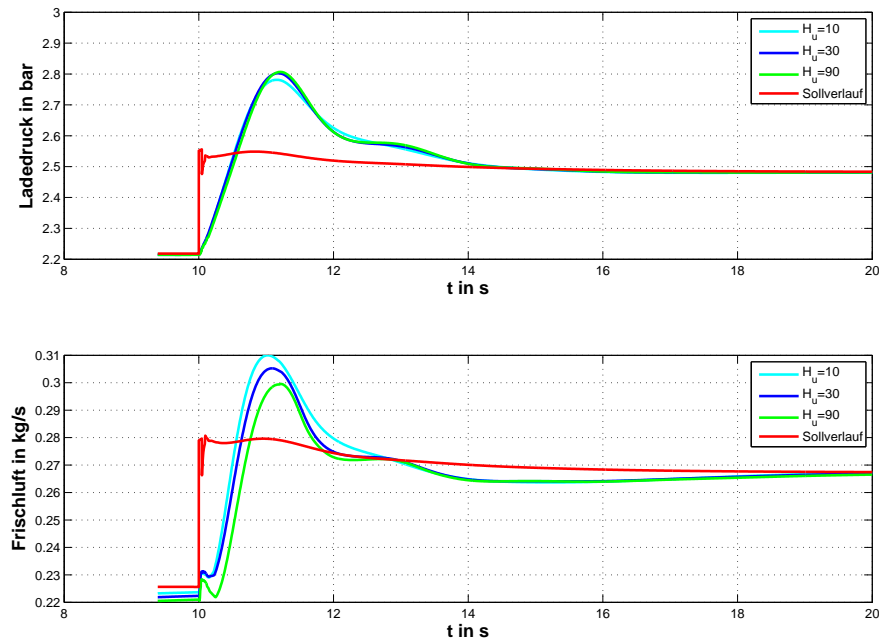


Abbildung 7.4.: Drehmomentsprung bei unterschiedlichen Regelungshorizonten

## 7.4. Simulationsergebnisse

Abschießend werden 2 Verläufe der gesamten Regelung abgebildet. In den jeweiligen Abbildungen wurde das Einschwingen der übergeordneten PI-Regelkreise ausgeblendet. Diese bringen den gesamten Motor in den gewünschten Zustand. In der Simulation für Abbildung 7.5 springt der Sollwert für die Drehzahl nach  $5s$  um  $300rpm$  nach oben, und nach  $10s$  der des Drehmoments um  $200Nm$ . Diese Sprünge verursachen die Änderungen der beiden Solltrajektorien für die Regelgrößen Ladedruck  $p_i(t)$  und Frischluftmasse  $W_{ci}$  des Luftpfads, wie in den beiden Abbildungen zu sehen ist. Zusätzlich sind im unteren Plot die Stellgrößen  $x_{vgt}(t)$  und  $x_{egr}(t)$  abgebildet, um die Regleraktivität darzustellen. Dabei werden die untere Grenze 0 und die obere Begrenzung von 100 für beide Stellgrößen eingehalten. Diese Grenzen stellen für den Regler harte Grenzen dar, das heißt, sie werden unter keinen Umständen überschritten.

Die Änderung des Motorzustandes in Abbildung 7.5 ist zu klein, um einen Wechsel des MPC-Reglers durch den *Multiple MPC*-Block zu bewirken. Deshalb wird in Abbildung 7.6 ein Drehmomentsprung um  $800Nm$  bei  $10s$  simuliert. Daraufhin ändert sich der Index, welcher dem *Multiple MPC*-Block den aktuellen Zustand des Motors angibt. Die beiden Solltrajektorien Ladedruck  $p_i(t)$  und Frischluftmasse  $W_{ci}$  werden, wie in Kap. 6 erläutert über die Kennlinien aus den Abbildungen 6.6 und 6.7 ermittelt. Bei einer entsprechend starken Änderung des Motorzustandes ändern sich diese Sollwerte ebenfalls mit, wie bei  $10s$  zu erkennen ist. Bei  $14s$  findet das Umschalten zu einer anderen MPC Regelung statt, ersichtlich ist dies an den Stellgrößen. Diese weisen an besagter Stelle einen Knick auf, ändern sich jedoch nicht sprunghaft. Somit kann mit dem entworfenen Regelungskonzept eine stark nichtlineare Strecke durch Linearisierung an mehreren Punkten mittels einer ebenso großen Anzahl an linearen Streckenmodellen für den MPC Regler zufriedenstellend geregelt werden.

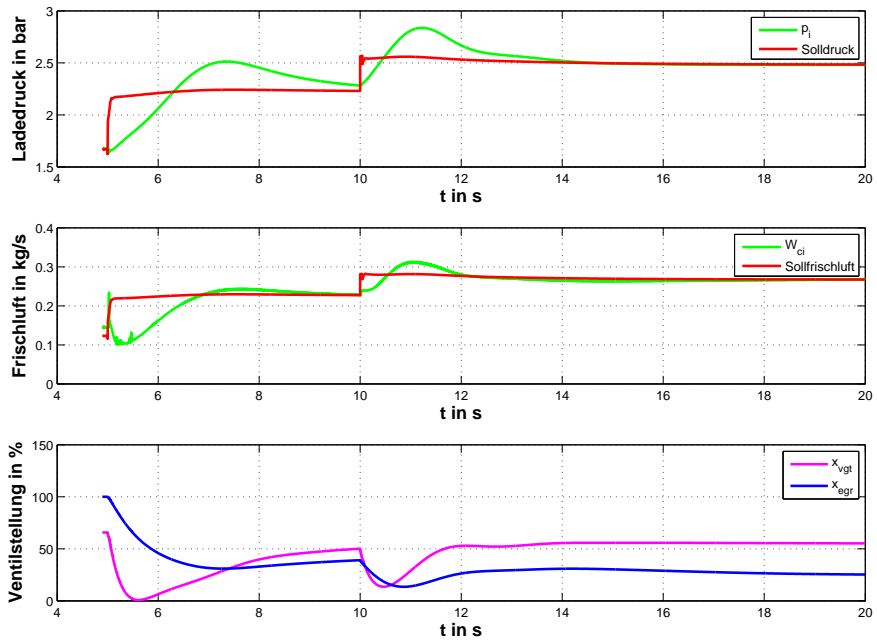


Abbildung 7.5.: Regelungsverlauf mit einem Regler

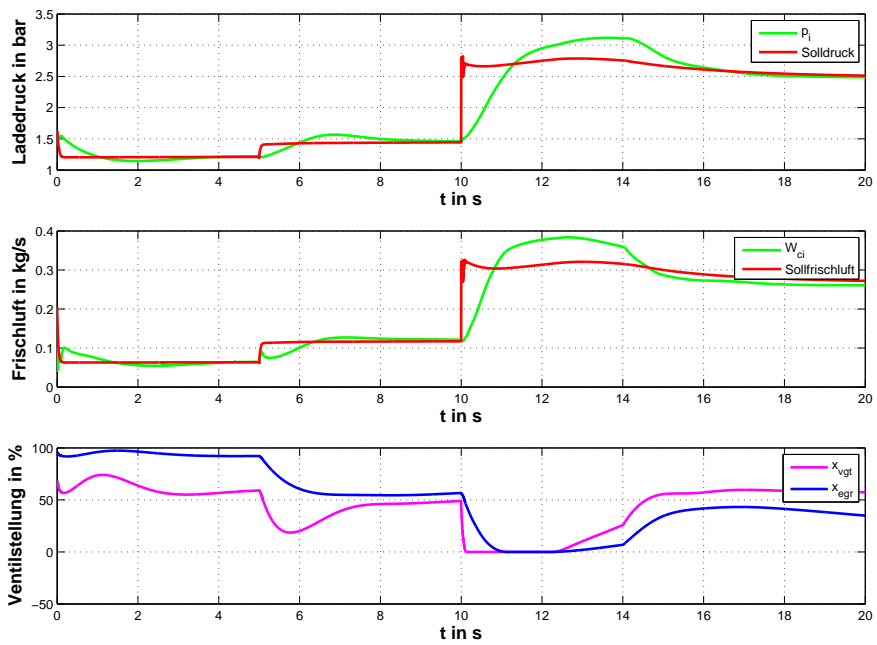


Abbildung 7.6.: Regelungsverlauf mit Wechsel des Linearisierungspunktes

Die Stabilität kann, da der Prädiktionshorizont nicht unendlich gewählt wurde, nicht einfach nachgewiesen werden. Es existieren in der Literatur Verfahren, um die Stabilität bei endlichem Prädiktionshorizont nachzuweisen, diese werden jedoch in dieser Arbeit nicht behandelt. Jedoch mussten, aufgrund einer kleinen Abtastzeit von  $0.01s$ , im Hinblick auf die Streckendynamiken ein relativ großer Prädiktionshorizont  $H_p$  von 100 gewählt werden. Obwohl keine expliziten Maßnahmen zur Einhaltung der Stabilität getroffen wurden und auch keine explizite Bewertung des Endzustandes vorgenommen wurde, traten in den zahlreich durchgeführten Simulationsabläufen keine Instabilitäten auf. Allgemein gilt, je höher der Prädiktionshorizont ist, desto stabiler ist das Verhalten eines Regelkreises mit modellbasierter prädiktiver Regelung. Zusätzlich ist zu beachten, dass der gesamte Luftpfad von den beiden äußeren PI-Regelkreisen „festgehalten“ wird und mit den beiden Stellgrößen nur in einem relativ kleinen Bereich geregelt werden kann. Eine detailliertere Betrachtung der Eigenschaften einer modellbasierten prädiktiven Regelung eines Luftpfades soll Gegenstand zukünftiger Arbeiten sein. Dabei kann vor allem auf eine Modellreduktion vertiefend eingegangen werden. Im Rahmen dieser Arbeit wurde die Möglichkeit einer derartigen Regelung mit kleinen Zeitschritten aufgezeigt.

# Kapitel 8

## Schlussbemerkung und Ausblick

Durch das in dieser Arbeit erstellte Modell des Luftpfades eines LKW Dieselmotors ist es möglich, weitere geeignete Regelungsstrategien zu simulieren. Dabei kann auf eine gleichungsbasierte stabile Implementierung in Modelica zurückgegriffen werden. Die Durchführung in Dymola kann abschließend als sehr zufriedenstellend betrachtet werden. Durch den modularen Aufbau des Modells besteht zukünftig die Möglichkeit, aus diesem Gerüst auch andere Verbrennungsmotoren mit Turboaufladung zu modellieren oder auch zum Beispiel eine zweistufige Turboaufladung zu realisieren. Dadurch ist man in der Lage, ein Regelungskonzept für Motoren zu entwickeln, die sich noch in der Entwurfsphase befinden. Um dem Ziel, der Verkürzung der Entwicklungszyklen von einzelnen Komponenten näher zu kommen, stellt dies einen wichtigen Schritt dar. Weiterführend wäre es möglich, die Modellierung noch weniger auf Kennlinien zu stützen, damit sich Änderungen in der Konstruktion des Motors bequemer in das Modell übernehmen lassen.

Da das Gesamtmodell dem Aufbau eines Motorenprüfstandes nachempfunden wurde, sollte es einen sehr geringen Aufwand benötigen, den entworfenen Regler am realen Motor zu testen. Die Anbindung an das Co-Simulationswerkzeug ICOS ermöglicht es außerdem, das Modell in einer Fahrzeugsimulation einzubinden. Damit können umfangreichere Situationen simuliert werden, wie zum Beispiel modellübergreifende Zusammenhänge mit anderen Teilen des Antriebsstrangs.

# Anhang A

## Abkürzungsverzeichnis

<b>DASSL</b>	Differential Algebraic System Solver
<b>ICOS</b>	Independent Co-Simulation
<b>MPR</b>	modellbasierte prädiktive Regelung
<b>BDFs</b>	Backward Differentiation Formulas
<b>ViF</b>	Virtuelles Fahrzeug
<b>VGT</b>	Variable Turbinengeometrie



# Anhang B

## Modelica Quellcode des Luftpfadmodells

```
1 package AirPathCombustionEngineLib
2   "Air path of a combustion diesel engine with controller library"
3   connector Pipe
4     Modelica.SIunits.Pressure p;
5     Modelica.SIunits.MassFlowRate W;
6     Modelica.SIunits.Temperature T;
7   end Pipe;
8
9   connector Signal
10    replaceable type SignalType = Real;
11
12    extends SignalType;
13
14  end Signal;
15
16  function psi
17    input Real p_r;
18    output Real value;
19
20    import AirPathCombustionEngineLib.Constants.gamma;
21
22  algorithm
23    value :=if (p_r > (2/(gamma + 1))^(gamma/(gamma - 1))) then sqrt
24      (2*gamma/(
25        gamma - 1)*(p_r^(2/gamma) - p_r^((gamma + 1)/gamma))) else sqrt
26      (gamma)*2
27      /(gamma + 1))^((gamma + 1)/(2*gamma - 2));
28  end psi;
29
30  function orificeFlow
31    input Real A_eff;
32    input Real p_in;
33    input Real p_out;
34    input Real T_in;
35    input Real T_out;
```

```

35  output Real m;
36
37  import AirPathCombustionEngineLib.Constants.gamma;
38  import AirPathCombustionEngineLib.Constants.R;
39  constant Real C_D = 1; // Discharge or Flow coefficient [Hey88
    ] (page 906)
40
41  Real a;
42  Real b;
43  algorithm
44    a := C_D*A_eff*p_in/sqrt(R*T_in)*psi(p_out/p_in);
45    b := -C_D*A_eff*p_out/sqrt(R*T_out)*psi(p_in/p_out);
46
47    m := if (p_out < p_in) then a else b;
48    m := if (p_out == p_in) then 0 else m;
49  end orificeFlow;
50
51  model Engine
52
53    parameter Modelica.SIunits.Efficiency eta_vol =
    0.92012104387268
54    "Volume efficiency of the Engine";
55    parameter Modelica.SIunits.Volume V_d = 0.00175 "Volume per
    Cylinder";
56    parameter Integer N_cyl = 6 "Number of
    Cylinders";
57    parameter Integer N_re = 2 "rounds per
    cycles";
58    parameter Modelica.SIunits.Length L= 0.155 "Length of stroke";
59    import AirPathCombustionEngineLib.Constants.f_st;
60    import AirPathCombustionEngineLib.Constants.R;
61
62    Real W_fmax;
63    Real help_min;
64    Real lambda_cyl;
65    Real W_f;
66
67    Real Tau_ips;
68    Real Tau_ieg;
69    Real max_delay = 0.9;
70
71  function temperatureEngine
72    "Estimated tempeature of gas in the engine as a function of
    air-fuel-ratio and engine speed"
73    input Real lambda_cyl; // Air fuel ratio
74    input Real N_e; // Engine speed
75    output Modelica.SIunits.Temperature T_e; // Temperature
    engine
76

```

```

77   parameter Modelica.SIunits.Temperature[4] K_T_e =
      {103.277173908392, -682.630937178668, 167.950020428914,
      1414.777748765431};
78   Real[4] P_T_e;
79   Real lambda;
80
81   algorithm
82     lambda :=if (lambda_cyl > 3) then 3 else lambda_cyl;
83
84     P_T_e :={lambda^2,lambda,N_e/1000,1};
85     T_e := K_T_e * P_T_e;
86
87   end temperatureEngine;
88
89   function TorqueEngine
90     input Real m_f;
91     input Real N_e;
92     input Real p_i;
93     input Real p_x;
94     input Real V_d;
95     input Real N_cyl;
96     input Real N_re;
97     input Modelica.SIunits.Length L;
98     output Real M_e;
99
100    Real P_me0g;
101    Real P_me0f;
102    Real P_mf;
103    Real P_me;
104    Real eta_th;
105
106    parameter Real[5] K_eta_th = {-64827.71053700243,
      101.29548314877, -0.04936271175, 0.10786159455,
      0.36179106990};
107    parameter Real[5] P_eta_th = {m_f^2, m_f, (N_e/1000)^2, N_e
      /1000, 1};
108
109    import AirPathCombustionEngineLib.Constants.HV_low;
110
111    algorithm
112      P_me0g :=p_x - p_i;
113      P_me0f :=75000 + 48*(N_e/1000) + 0.4*(2*L*N_e/60)^2;
114      P_mf :=(HV_low*m_f)/(V_d*N_cyl);
115
116      eta_th := K_eta_th * P_eta_th;
117      P_me :=P_mf*eta_th - P_me0f - P_me0g;
118      M_e :=(P_me*V_d*N_cyl)/(2*Modelica.Constants.pi*N_re);
119    end TorqueEngine;
120
121    Real M_e;

```

```

122   Real p_x;
123   Real W_ex;
124   Real T_e;
125   Real p_i;
126   Real W_ie;
127   Real T_i;
128
129   Pipe Eng_Ex annotation (extent=[-60,-58; -40,-38]);
130   Pipe Intake_Eng annotation (extent=[-42,42; -22,62]);
131   Signal Fi annotation (extent=[-80,40; -60,60]);
132   Signal mf annotation (extent=[18,40; 38,60]);
133   Signal Ne annotation (extent=[60,40; 80,60]);
134   Signal Met annotation (extent=[86,-6; 110,14]);
135   Signal Wft annotation (extent=[-22,-60; 4,-40]);
136   Signal Wiet annotation (extent=[26,-60; 58,-40]);
137 equation
138
139   Eng_Ex.p = p_x;
140   Eng_Ex.W = W_ex;
141   Eng_Ex.T = T_e;
142
143   Intake_Eng.p = p_i;
144   Intake_Eng.W = W_ie;
145   Intake_Eng.T = T_i;
146
147   Tau_ips = 60/Ne;
148   Tau_ieg = 90/Ne;
149   W_ie = eta_vol * (p_i*N_cyl*V_d*Ne)/(60*N_re*R*T_i);
150   Wiet = delay(W_ie,Tau_ieg,max_delay);
151   W_fmax = (W_ie*(1-Fi))/f_st;
152   help_min = (mf*Ne)/(60*N_re);
153   W_f = min(help_min,W_fmax);
154   Wft = delay(W_f,Tau_ieg,max_delay);
155   W_ex = Wiet + Wft;
156
157   lambda_cyl = (W_ie*(1 - Fi))/(f_st*W_f);
158   T_e = temperatureEngine(lambda_cyl, Ne);
159   M_e = TorqueEngine(mf,Ne,p_i,p_x,V_d,N_cyl,N_re,L);
160   Met = delay(M_e,Tau_ips,max_delay);
161
162 end Engine;
163
164 model CompressorTurbo
165
166   parameter Modelica.SIunits.Temperature T_cref=298
167     "Input reference temperature compressor";
168   parameter Modelica.SIunits.Temperature T_tref=923
169     "Input referenz temperature turbo";
170   parameter Modelica.SIunits.Diameter d_c=0.08
171     "Diameter of the compressor wheel";

```

```

172 parameter Modelica.SIunits.Diameter d_t=0.07 "Diameter of the
      turbo wheel";
173 parameter Modelica.SIunits.Pressure p_cref=100000
174 "Input reference pressure ambient";
175 parameter Modelica.SIunits.MomentOfInertia J_t = 0.00016
176 "[kg*m^2] turbocharger inertia";
177
178 function cubicSpline
179 input Real Nt_low;
180 output Real c;
181
182 parameter Real[19] basepoints = {2.1, 2.6, 3.1, 3.6, 4.1,
      4.6, 5.1, 5.6, 6.1, 6.6, 7.1, 7.6, 8.836,
183                                     9.5, 10, 10.56, 11.5, 12.05,
      13.39};
184
185 parameter Real[18,4] K=
1000* {{ -1.39200812230389,
186         4.48801218345583, -5.49600406115194, 3.00000000000000},
      { -1.39200812230389, 2.40000000000000, -2.05199796942403,
187         1.20000000000000},
      { 0.08004061151945, 0.31198781654417, -0.69600406115194,
188         0.60000000000000},
      { -0.28815432377389, 0.43204873382333, -0.32398578596819,
189         0.34000000000000},
      { 0.03257668357613, -0.00018275183750, -0.10805279497528,
190         0.25000000000000},
      { -0.00215241053062, 0.04868227352669, -0.08380303413069,
191         0.20000000000000},
      { -0.02396704145366, 0.04545365773076, -0.03673506850197,
192         0.17000000000000},
      { -0.01397942365475, 0.00950309555027, -0.00925669186145,
193         0.16000000000000},
      { 0.01588473607268, -0.01146603993186, -0.01023816405224,
194         0.15600000000000},
      { -0.00155952063595, 0.01236106417716, -0.00979065192959,
195         0.15000000000000},
      { -0.00964665352889, 0.01002178322324, 0.00140077177060,
196         0.14800000000000},
      { 0.00880170469882, -0.00444819707010, 0.00418756484717,
197         0.15000000000000},
      { 0.00105025809721, 0.02818852395313, 0.03353060887459,
198         0.16500000000000},
      { -0.02997780603122, 0.03028063808277, 0.07235413246642,
199         0.20000000000000},
      { 0.11229477314084, -0.01468607096407, 0.08015141602577,
200         0.24000000000000},
      { -0.07573957825507, 0.17396914791254, 0.16934993911691,
201         0.30000000000000},
      { 0.59733238318429, -0.03961646276677, 0.29564146315393,
      0.55000000000000},

```

```

202     { 0.59733238318430, 0.94598196948732, 0.79414249185023,
203         0.8000000000000000}};
204     Real Nt_low_shift;
205     Real[4] P;
206
207 algorithm
208     for i in (1:(size(basepoints,1)-1)) loop
209         if
210             (basepoints[i] <= Nt_low and Nt_low < basepoints[i+1])
211             then
212                 Nt_low_shift :=Nt_low - basepoints[i];
213                 P :={Nt_low_shift^3,Nt_low_shift^2,Nt_low_shift,1};
214                 c :=K[i, :]*P;
215             end if;
216         end for;
217
218     if
219         ( Nt_low <= basepoints[1]) then
220         Nt_low_shift :=Nt_low - basepoints[1];
221         P :={Nt_low_shift^3,Nt_low_shift^2,Nt_low_shift,1};
222         c :=K[1, :]*P;
223     end if;
224
225     if
226         ( Nt_low >= basepoints[size(basepoints,1)]) then
227         Nt_low_shift := Nt_low - basepoints[size(basepoints, 1)
228             -1];
229         P :={Nt_low_shift^3,Nt_low_shift^2,Nt_low_shift,1};
230         c :=K[size(basepoints,1)-1, :]*P;
231     end if;
232
233 end cubicSpline;
234
235 function compressorMassFlow "Mass Flow in the compressor"
236     input Real N_t_norm;
237     input Real p_r;
238     output Real W_c;
239     output Real surge;
240
241     parameter Real Ntcorr = N_t_norm/10000;
242     parameter Real[6] Kmcsurge = {0.000006865796007,
243         -0.000263815322517, 0.003820595771073,
244         -0.022602000124399,
245         0.058740800948434,
246         -0.001831646618993};
247     parameter Real[6] POLYmcsurge = {(Ntcorr)^5, (Ntcorr)^4, (
248         Ntcorr)^3, (Ntcorr)^2, (Ntcorr), 1};
249     parameter Real offset = 0.1;
250     parameter Real gain = 10;
251     Real c = cubicSpline(Ntcorr);
252     Real radikand;

```

```

245     Real p_rmax;
246
247     parameter Real[5] K_p_rratio = {-0.000096023957919,
248         0.003254269815725, -0.009280807913107, 0.057558490596182,
249         0.969705413821149};
250     parameter Real[5] P_p_rratio = {Ntcorr^4, Ntcorr^3, Ntcorr^2,
251         Ntcorr, 1};
252
253 algorithm
254     p_rmax := K_p_rratio * P_p_rratio;
255     surge := Kmcsurge * POLYmcsurge;
256     radikand := p_rmax - p_r - 0.012 * Ntcorr;
257     if ((radikand - offset) >= 0) then
258         W_c := sqrt(sqrt(radikand/c)) + surge;
259     else
260         W_c := -gain * sqrt(sqrt((-radikand + 2 * offset)/c)) + surge
261             + sqrt(sqrt(offset/c)) + gain * sqrt(sqrt(offset/c));
262     end if;
263
264 end compressorMassFlow;
265
266 function compressorEfficiency
267     input Real N_t_norm;           // revolution speed of the turbo
268     input Real W_c;               // mass flow
269     output Real eta_c;           // compressor efficiency
270
271     import AirPathCombustionEngineLib.Constants.R;
272
273     parameter Real[2] K_eta_c = {3.554724041159963e-006,
274         -0.042344246959775};
275     parameter Real[2] P_eta_c = {N_t_norm, 1};
276
277 algorithm
278     eta_c := (-7 * (W_c - K_eta_c * P_eta_c)^2 + (-4 * 10^(-11)) *
279         (N_t_norm - 85000)^2 + 0.765);
280
281 end compressorEfficiency;
282
283 function turboMassFlow
284
285     input Real x_vgt;           // variable geometry turbine position
286     input Real p_r;             // pressure ratio
287     output Real W_xt;          // turbo mass flow
288
289     import AirPathCombustionEngineLib.Constants.gamma;
290     import AirPathCombustionEngineLib.Constants.R;
291
292     parameter Real[6] K_A_vgt = {2.047755332684998,
293         -24.763494833185771, 93.539919978535167,

```

```

287         0.003090620145594,
                0.509151944794677,
                -80.194847012283191});
288     Real[6] P_A_vgt;
289     Real A_vgt;
290     Real p_rsat;
291
292 algorithm
293     p_rsat := if (p_r > 3.5) then 3.5 else p_r;
294     P_A_vgt := {p_rsat^3,p_rsat^2,p_rsat,x_vgt^2,x_vgt,1};
295     A_vgt := K_A_vgt * P_A_vgt;
296
297     W_xt := if (1/p_rsat > (2/(gamma+1))^(gamma/(gamma-1))) then
298         A_vgt/sqrt(R) * sqrt( 2*gamma/(gamma-1) * ((1/p_rsat)
                ^((2/gamma) - (1/p_rsat)^((gamma+1)/gamma))) else
299         A_vgt/sqrt(R) * sqrt(gamma) * (2/(gamma+1))^(gamma
                +1)/(2*gamma-2));
300 end turboMassFlow;
301
302 function turboEfficiencyHeat
303     input Real x_vgt;           // variable geometry turbine
                position
304     input Real p_r;           // pressure ratio
305     output Real eta_theat;    // turbo heat efficiency
306
307     Real p_ratio;
308 algorithm
309     p_ratio := if (p_r < 1) then 2-p_r else p_r;
310
311     // eta_theat := 12*exp(-2.8*p_ratio) - 0.004*x_vgt; // +0.1; //+
                0.27;
312     eta_theat := 3*exp(-2.2*p_ratio) - 0.0022*x_vgt +0.27-0.16;
313 end turboEfficiencyHeat;
314
315 function turboAeroEfficiency
316     input Real x_vgt;           // variable geometry turbine
                position
317     input Real p_r;           // pressure ratio
318     input Real N_t_norm;      // turbo speed
319     input Real T_x;           // exhaust gas temperature
320     input Real d_t;
321     input Real T_tref;
322     output Real eta_t;       // turbo aero efficiency
323
324     import AirPathCombustionEngineLib.Constants.gamma;
325     import AirPathCombustionEngineLib.Constants.c_p;
326
327     parameter Real[9] K_N_toffset = {-0.0000000008143,
                0.0000002542801, -0.0000235860220, -0.0001019528993,
                0.1238445350996,

```



```

328         -5.9165447278170, 100.4384603950022,
           -582.0382277768065,
           609.08828932608920};
329 parameter Real[9] P_N_toffset = {x_vgt^8, x_vgt^7, x_vgt^6,
           x_vgt^5, x_vgt^4, x_vgt^3, x_vgt^2, x_vgt, 1};
330
331 parameter Real[8] K_eta_toffset = {0.000001196635417,
           -0.000043897811406, 0.000619568317803, -0.004140804241259,
332           0.012821399119294,
           -0.018063912185653,
           0.024935445967421,
           0.688737161018410};
333 parameter Real[8] P_eta_toffset = {(x_vgt/10)^7, (x_vgt/10)
           ^6, (x_vgt/10)^5, (x_vgt/10)^4, (x_vgt/10)^3, (x_vgt/10)
           ^2, (x_vgt/10), 1};
334
335 parameter Real[7] K_eta_max = {0.000000015386207,
           -0.000001337808276, 0.000038924715416, -0.000515562405951,
336           0.002811758897781,
           0.012741890307293,
           -0.217253321703842};
337 Real[7] P_eta_max;
338
339 parameter Real[10] K_a = {0.000000003306992,
           -0.000000387900754, 0.000018715489704,
           -0.000479366109257,
340           0.007036160715956,
           -0.059830430229080,
           0.284150562094412,
           -0.683974800538081,
341           0.671497562210304,
           -3.146418287829716};
342 Real[10] P_a;
343
344 Real c_uopt;
345 Real c_u;
346 Real N_tnew;
347 Real eta_toffset;
348 Real eta_max;
349 Real p_ratio;
350 algorithm
351
352     p_ratio := if (p_r < 1) then 2-p_r else p_r;
353
354     // Ermitteln des Blade-Speed-Ratios C/U
355     c_uopt := (0.13/60000)*N_t_norm + 0.3483;
356     c_u := (Modelica.Constants.pi*d_t*N_t_norm/60) / sqrt(2*c_p*
           T_x * (1-(1/p_ratio)^((gamma-1)/gamma)));
357
358     // Ermitteln der Koeff. der quad. Funktion

```

```

359     N_tnew := (N_t_norm + K_N_toffset * P_N_toffset)/10000;
360     P_eta_max := {N_tnew^6,N_tnew^5,N_tnew^4,N_tnew^3,N_tnew^2,
361                 N_tnew,1};
362     P_a := {N_tnew^9,N_tnew^8,N_tnew^7,N_tnew^6,N_tnew^5,N_tnew
363            ^4,N_tnew^3,N_tnew^2,N_tnew,1};
364     eta_toffset :=K_eta_toffset*P_eta_toffset;
365     eta_max :=K_eta_max*P_eta_max + eta_toffset;
366     eta_t :=(eta_max*(2*c_u/c_uopt - (c_u/c_uopt)^2));
367
368 end turboAeroEfficiency;
369
370 function readTurboState
371
372     input Integer APIndex;
373     input String Matrix;
374     output Real N_t;
375     // Real mat[1136,1];
376     Real mat[18,1];
377 algorithm
378     mat :=DataFiles.readMATmatrix("states_AP.mat",Matrix);
379     N_t :=mat[APIndex, 1];
380     annotation (Icon);
381 end readTurboState;
382
383 import AirPathCombustionEngineLib.Constants.c_p;
384 import AirPathCombustionEngineLib.Constants.gamma;
385 import Modelica.Constants.pi;
386 import AirPathCombustionEngineLib.Constants.c_p;
387 import AirPathCombustionEngineLib.Constants.gamma;
388
389 Real N_t;
390 Real W_c_norm;
391 Real W_xt_norm;
392 Real eta_c;
393 Real P_t;
394 Real P_c;
395 Real eta_t;
396 Real T_t;
397 Real surge;
398 Real eta_t_aero;
399 Real eta_t_heat;
400
401 outer parameter Integer APIndex;
402 Real p_ic;
403 Real W_c;
404 Real T_c;
405 Real p_x;
406 Real W_xt;
407 Real T_x;

```

```

407 Pipe Comp_IC annotation (extent=[-16,82; 4,102]);
408 Pipe Ex_Turbo annotation (extent=[-16,-102; 4,-82]);
409 Signal Xv annotation (extent=[-84,54; -64,74]);
410 Signal Ta annotation (extent=[-84,-28; -64,-8]);
411 Signal pa annotation (extent=[-84,-52; -64,-32]);
412 Signal pt annotation (extent=[-84,-76; -64,-56]);
413 equation
414   eta_t_aero = turboAeroEfficiency(
415     Xv,
416     p_x/pt,
417     N_t*sqrt(T_tref/T_x),
418     T_x,d_t,T_tref);
419   eta_t_heat = turboEfficiencyHeat(Xv,p_x/pt);
420   eta_t = eta_t_aero - eta_t_heat;
421   W_xt_norm = turboMassFlow(Xv,p_x/pt);
422   W_xt = W_xt_norm*p_x/(sqrt(T_x)*100000);
423   // Compressor equations
424   eta_c = compressorEfficiency(N_t * sqrt(T_cref/Ta), W_c_norm);
425   P_c = W_c * c_p * Ta /eta_c * ((p_ic/pa)^((gamma-1)/gamma) - 1);
426   T_c = Ta + Ta*((p_ic/pa)^((gamma-1)/gamma) - 1)/eta_c;
427   (W_c_norm,surge) = compressorMassFlow(N_t * sqrt(T_cref/Ta),
428     p_ic/pa);
429   W_c = W_c_norm * sqrt(T_cref/Ta) * pa/p_cref;
430   // Turbo equations
431   der(N_t) = (60/(2*pi))^2 * (P_t-P_c)/(J_t*N_t);
432   P_t = W_xt*c_p*T_x*eta_t * (1 - (pt/p_x)^((gamma-1)/gamma));
433   T_t = T_x- eta_t *T_x*(1 - (pt/p_x)^((gamma-1)/gamma));
434
435   Comp_IC.p = p_ic;
436   Comp_IC.W = W_c;
437   Comp_IC.T = T_c;
438
439   Ex_Turbo.p = p_x;
440   Ex_Turbo.W = W_xt;
441   Ex_Turbo.T = T_x;
442
443 equation
444
445 initial algorithm
446 // N_t :=readTurboState (APIndex, " StatesTurbo ");
447
448 // initialisation at idle speed
449 N_t :=34996;
450 end CompressorTurbo;
451
452 model IntercoolerManifold
453
454   function readIntercoolerState
455

```

```

456     input Integer APIndex;
457     output Real p_ic;
458     output Real m_ic;
459     // Real mat[1136,2];
460     Real mat[18,2];
461     algorithm
462         mat :=DataFiles.readMATmatrix("states_AP.mat",
463             StatesICManifold");
464         p_ic :=mat[APIndex, 1];
465         m_ic :=mat[APIndex, 2];
466         annotation (Icon);
467     end readIntercoolerState;
468
469     function effectiveAreaIC
470         input Real x_air;           // variable geometry turbine
471         position
472         input Real p_r;           // pressure ratio
473         output Real A_effic;      // effective area IC
474
475         Real p_ratio;
476     algorithm
477         p_ratio := if (p_r > 1) then 2-p_r else p_r;
478         A_effic :=exp(-450*(1 - p_ratio + 0.0123)) + (-0.0000002*(
479             x_air - 100)^2 + 0.002);
480     end effectiveAreaIC;
481
482     import AirPathCombustionEngineLib.Constants.R;
483     import AirPathCombustionEngineLib.Constants.gamma;
484
485     outer parameter Integer APIndex;
486     parameter Modelica.SIunits.Efficiency eta_ic=0.96
487         "Efficiency of the intercooler";
488     parameter Modelica.SIunits.Temperature T_coolic=297
489         "Tempretaure of the cooling fluid in the intercooler";
490     parameter Modelica.SIunits.Volume V_ic=0.03
491         "Volume of the intercooler manifold";
492
493     Real Ttilde_ic;
494     Real A_IC;
495
496     Real p_i;
497     Real T_ic;
498
499     Real m_ic;
500
501     Real p_ic;
502     Real W_c;
503     Real T_c;
504     Pipe IC_Intake
505 equation

```

```

503
504   der(p_ic) = gamma*R*(T_c*W_c - Ttilde_ic*Wci)/V_ic;
505   der(m_ic) = W_c - Wci;
506   Ttilde_ic = (V_ic*p_ic)/(R*m_ic);
507   T_ic = eta_ic*T_coolic + (1-eta_ic)*Ttilde_ic;
508   A_IC = effectiveAreaIC(Xair, p_i/p_ic);
509   Wci = orificeFlow(A_IC, p_ic, p_i, T_ic, Ti);
510
511   IC_Intake.p = p_i;
512   IC_Intake.W = Wci;
513   IC_Intake.T = T_ic;
514
515   Comp_IC.p = p_ic;
516   Comp_IC.W = W_c;
517   Comp_IC.T = T_c;
518
519   initial algorithm
520     //(p_ic , m_ic) := readIntercoolerState (APIndex);
521
522     //initialisation at idle speed
523     p_ic :=106247.203125;
524     m_ic :=0.0359601341;
525
526   end IntercoolerManifold;
527
528   model IntakeManifold
529
530     function readIntakeManifoldState
531
532       input Integer APIndex;
533       output Real p_i;
534       output Real m_i;
535       output Real F_i;
536       // Real mat[1136,3];
537       Real mat[18,3];
538
539     algorithm
540       mat :=DataFiles.readMATmatrix("states_AP.mat",
541         "StatesInManifold");
542       p_i :=mat[APIndex, 1];
543       m_i :=mat[APIndex, 2];
544       F_i :=mat[APIndex, 3];
545       annotation (Icon);
546     end readIntakeManifoldState;
547
548     import AirPathCombustionEngineLib.Constants.R;
549     import AirPathCombustionEngineLib.Constants.gamma;
550
551     outer parameter Integer APIndex;
552     parameter Modelica.SIunits.Volume V_i=0.0324

```

```

552     "Volume of the intake manifold";
553
554     Real m_i;
555     Real T_ic;
556     Real W_ci;
557
558     Real W_xi;
559     Real T_xi;
560
561     Real W_ie;
562     Pipe IC_Intake
563         annotation (extent=[-108,12; -88,32]);
564     Pipe EGR_Intake annotation (extent=[-84,-70; -64,-50]);
565     Pipe Intake_Eng annotation (extent=[66,-70; 86,-50]);
566     Signal Ti annotation (extent=[-110,-36; -90,-16]);
567     Signal Fx annotation (extent=[-36,-70; -16,-50]);
568     Signal Fi annotation (extent=[12,-70; 32,-50]);
569     Signal pi annotation (extent=[90,-10; 110,10]);
570 equation
571
572     IC_Intake.p = pi;
573     IC_Intake.W = W_ci;
574     IC_Intake.T = T_ic;
575
576     EGR_Intake.p = pi;
577     EGR_Intake.W = W_xi;
578     EGR_Intake.T = T_xi;
579
580     Intake_Eng.p = pi;
581     Intake_Eng.W = W_ie;
582     Intake_Eng.T = Ti;
583
584     der(pi) = gamma*R*(T_ic*W_ci + T_xi*W_xi - Ti*W_ie)/V_i;
585     der(m_i) = W_ci + W_xi - W_ie;
586     Ti = V_i*pi/(R*m_i);
587     der(Fi) = ((Fx - Fi)*W_xi - Fi*W_ci)/(m_i);
588
589 initial algorithm
590
591     // initialisation at idle speed
592     pi :=106233.6;
593     m_i :=0.034642;
594     Fi :=0.579837;
595     end IntakeManifold;
596
597 model ExhaustManifold
598
599 function readExhaustManifoldState
600
601     input Integer APIndex;

```

```

602     output Real p_x;
603     output Real m_x;
604     output Real F_x;
605     // Real mat[1136,3];
606     Real mat[18,3];
607
608 algorithm
609     mat :=DataFiles.readMATmatrix("states-AP.mat",
610     StatesExManifold");
611     p_x :=mat[APIndex, 1];
612     m_x :=mat[APIndex, 2];
613     F_x :=mat[APIndex, 3];
614     annotation (Icon);
615 end readExhaustManifoldState;
616
617 import AirPathCombustionEngineLib.Constants.R;
618 import AirPathCombustionEngineLib.Constants.gamma;
619 import AirPathCombustionEngineLib.Constants.f_st;
620
621 outer parameter Integer APIndex;
622 parameter Modelica.SIunits.Volume V_x=0.0054;//0.004 "Volume of
623 the exhaust manifold";
624 Real m_x;
625 Real p_x;
626 Real W_xt;
627 Real T_x;
628 Real W_xi;
629 Real W_ex;
630 Real T_e;
631 Pipe Ex_Turbo
632 Pipe Ex_EGR
633 Pipe Eng_Ex
634 Signal Fx
635 Signal Fi
636 Signal Wft
637 Signal Wiet
638 equation
639 der(p_x) = gamma*R*(T_e*W_ex - T_x*W_xi - T_x*W_xt)/V_x;
640 der(m_x) = W_ex - W_xi - W_xt;
641 T_x = V_x*p_x/(R*m_x);
642 der(Fx) = (Fi*Wiet + Wft*(1+f_st) - Fx*W_ex)/m_x;
643
644 Ex_Turbo.p = p_x;
645 Ex_Turbo.W = W_xt;
646 Ex_Turbo.T = T_x;
647
648 Ex_EGR.p = p_x;
649 Ex_EGR.W = W_xi;
650 Ex_EGR.T = T_x;

```

```

650   Eng_Ex.p = p_x;
651   Eng_Ex.W = W_ex;
652   Eng_Ex.T = T_e;
653
654   initial algorithm
655   // (p_x, m_x, Fx) := readExhaustManifoldState(APIIndex);
656
657   // initialisation at idle speed
658   p_x :=116267;
659   m_x :=0.0022097;
660   Fx :=0.9999590;
661   end ExhaustManifold;
662
663   model ExhaustGasRecirculation
664       parameter Modelica.SIunits.Temperature T_coolegr=356
665       "Temperature of the cooling fluid in the EGR cooler";
666       parameter Modelica.SIunits.Efficiency eta_egr=0.96 "Efficiency
667       of the EGR";
668
669       function effectiveAreaEGR
670       input Real x_egr;           //
671       input Real p_r;           // pressure ratio
672       output Real A_effegr;     // effective area EGR
673
674       output Real p_ratio;
675
676       algorithm
677       p_ratio := if (p_r > 1) then 2-p_r else p_r;
678
679       A_effegr :=0.0003*p_ratio^25 + exp(-1600*(1-p_ratio+0.003)) +
680       0.000005*x_egr; //0.000005*x_egr;
681   end effectiveAreaEGR;
682
683   Real A_EGR;
684   Real p_x;
685   Real W_xi;
686   Real T_x;
687   Real p_i;
688   Real T_xi;
689   Pipe Ex_EGR;
690   Pipe EGR_Intake;
691   Signal Ti;
692   Signal Xegr;
693
694   equation
695   Ex_EGR.p = p_x;
696   Ex_EGR.W = W_xi;
697   Ex_EGR.T = T_x;
698
699   EGR_Intake.p = p_i;
700   EGR_Intake.W = W_xi;
701   EGR_Intake.T = T_xi;

```



```

698
699   A_EGR = effectiveAreaEGR(Xegr,p_i/p_x);
700   W_xi = orificeFlow(A_EGR,p_x,p_i,T_x,Ti);
701   T_xi = eta_egr*T_coolegr + (1-eta_egr)*T_x;
702
703 end ExhaustGasRecirculation;
704
705 model InertiaEngine
706
707   Modelica.Blocks.Interfaces.RealInput M_t annotation (extent
       =[-128,-12; -88,28]);
708   Modelica.Blocks.Interfaces.RealOutput N_e annotation (extent
       =[92,-10; 132,30]);
709   parameter Modelica.SIunits.MomentOfInertia J_e = 1.6
710     "[kg*m^2] engine inertia";
711   import Modelica.Constants.pi;
712
713   function readInertiaState
714
715     input Integer APIndex;
716     input String Matrix;
717     output Real N_e;
718
719     //   Real mat[1136,8];
720     Real mat[18,5];
721
722   algorithm
723     //   mat := DataFiles.readMATmatrix("InOutValues.mat",Matrix);
724     mat :=DataFiles.readMATmatrix("InValuesLin.mat",Matrix);
725     N_e :=mat[APIndex, 2];
726     annotation (Icon);
727   end readInertiaState;
728
729   //   outer parameter Integer APIndex;
730   Modelica.Blocks.Interfaces.RealSignal realSignal
731     annotation (extent=[-46,62; -26,82]);
732 equation
733   der(N_e) = (60*M_t)/(2*pi*(J_e));
734
735 initial algorithm
736   // N_e := readInertiaState (APIndex,"InOutValues");
737   N_e := 919; // readInertiaState (APIndex,"InValuesLin");
738 end InertiaEngine;
739
740 record Constants "Natural constants "
741   constant Modelica.SIunits.
742     SpecificHeatCapacityAtConstantPressure c_p=1014.4
743     "specific heat coefficient at constant pressure";
744   constant Modelica.SIunits.SpecificHeatCapacityAtConstantVolume
745     c_v=727.4

```

```

744     "specific heat coefficient at constant volume";
745     constant Modelica.SIunits.RatioOfSpecificHeatCapacities gamma
       =1.39455595270828
746     "specific heat relation";
747     constant Modelica.SIunits.SpecificEntropy R=287.058 "constant
       for air";
748     constant Real f_st=14.6 "stoichiometric faktor for diesel";
749     constant Modelica.SIunits.SpecificEnergy HV_low=43000000
750     "lower heating value";
751 end Constants;
752
753 model Airpath "airpath of a diesel combustion engine"
754
755     Modelica.Blocks.Interfaces.RealInput N_e annotation (extent
       =[-88,72; -68,92]);
756     Modelica.Blocks.Interfaces.RealInput m_f annotation (extent
       =[-88,54; -68,74]);
757     Modelica.Blocks.Interfaces.RealInput x_egr annotation (extent
       =[-88,2; -68,
758         22]);
759     Modelica.Blocks.Interfaces.RealInput x_air annotation (extent
       =[-88,22; -68,
760         42]);
761     Modelica.Blocks.Interfaces.RealInput x_vgt annotation (extent
       =[-88,-18; -68,
762         2]);
763     Modelica.Blocks.Interfaces.RealOutput M_t annotation (extent
       =[70,-28; 90,-8],
764         rotation=0);
765     IntercoolerManifold intercoolerManifold
766     IntakeManifold intakeManifold annotation (extent=[4,8; 44,48]);
767     ExhaustManifold exhaustManifold annotation (extent=[-14,-82;
768         26,-42]);
769     Engine engine annotation (extent=[34,-38; 74,2]);
770     Constants constants(c_p) annotation (extent=[70,-90; 90,-70]);
771     outer parameter Integer APIndex;
772
773     ExhaustGasRecirculation exhaustGasRecirculation;
774     Modelica.Blocks.Interfaces.RealInput p_a;
775     Modelica.Blocks.Interfaces.RealInput T_a;
776     Modelica.Blocks.Interfaces.RealInput p_t;
777     Modelica.Blocks.Interfaces.RealOutput p_i;
778     Modelica.Blocks.Interfaces.RealOutput W_ci;
779     CompressorTurbo compressorTurbo;
780 equation
781
782     connect(compressorTurbo.Comp_IC, intercoolerManifold.Comp_IC);
783     connect(intakeManifold.EGR_Intake, exhaustGasRecirculation.
       EGR_Intake);

```

```

784 connect(exhaustManifold.Ex_Turbo, compressorTurbo.Ex_Turbo);
785 connect(exhaustManifold.Ex_EGR, exhausGasRecirculation.Ex_EGR);
786 connect(exhaustManifold.Eng_Ex, engine.Eng_Ex);
787 connect(engine.Intake_Eng, intakeManifold.Intake_Eng);
788 connect(x_air, intercoolerManifold.Xair);
789 connect(W_ci, intercoolerManifold.Wci);
790 connect(x_egr, exhausGasRecirculation.Xegr);
791 connect(intakeManifold.pi, p_i);
792 connect(intakeManifold.Ti, intercoolerManifold.Ti);
793 connect(T_a, compressorTurbo.Ta)bo.pa);
794 connect(p_t, compressorTurbo.pt);
795 connect(N_e, engine.Ne);
796 connect(engine.Met, M_t);
797 connect(exhaustManifold.Wiet, engine.Wiet);
798 connect(m_f, engine.mf));
799 connect(engine.Fi, intakeManifold.Fi));
800 connect(exhaustManifold.Fi, intakeManifold.Fi);
801 connect(exhaustManifold.Fx, intakeManifold.Fx));
802 connect(exhausGasRecirculation.Ti, intakeManifold.Ti);
803 connect(engine.Wft, exhaustManifold.Wft);
804 connect(intakeManifold.IC_Intake, intercoolerManifold.IC_Intake
      );
805 connect(x_vgt, compressorTurbo.Xv);
806 end Airpath;
807
808 model Airpath_ICOS_model
809     ICOS.Controller controller(
810         Port=3333,
811         OutputParameter=5,
812         TSample=0.01,
813         InputParameter=4) annotation (extent=[-4,-2; 26,38]);
814     AirpathICOSextract airpathICOSextract annotation (extent
      =[-64,8; -22,36]);
815 equation
816     connect(airpathICOSextract.y, controller.u) annotation (points
      =[-22.84,
817         17.24; -12.37,17.24; -12.37,18; -2.5,18],
818         style(color=74,
      rgbcolor={0,0,127}))
      ;
819     connect(controller.y, airpathICOSextract.u) annotation (points
      =[24.5,18; 38,
820         18; 38,48; -76,48; -76,24.24; -63.58,24.24],
821         style(color=74,
      rgbcolor={0,0,
822         127}));
823 end Airpath_ICOS_model;
824
825 model AirPathTest
826     "Testbed for the airpath with all measument points "

```

```

827
828     inner parameter Integer APIndex = 1;
829     Integer i;
830     Integer setuptime = 0;
831     Integer holdtime = 5;
832     Integer iter = 50;
833
834 function readInOutValues
835
836     input Integer APIndex;
837     input String Matrix;
838     output Real m_f;
839     output Real x_air;
840     output Real x_egr;
841     output Real x_vgt;
842     output Real p_t;
843     output Real p_a;
844     output Real T_a;
845
846     Real mat[1136,8];
847
848 algorithm
849     mat :=DataFiles.readMATmatrix("InOutValues.mat",Matrix);
850     m_f :=mat[APIndex, 2];
851     x_air :=mat[APIndex, 3];
852     x_egr :=mat[APIndex, 4];
853     x_vgt :=mat[APIndex, 5];
854     p_t :=mat[APIndex, 6];
855     p_a :=mat[APIndex, 7];
856     T_a :=mat[APIndex, 8];
857     annotation (Icon);
858 end readInOutValues;
859
860 function readNe
861
862     input Integer APIndex;
863     input String Matrix;
864     output Real N_e;
865
866     Real mat[1136,8];
867
868 algorithm
869     mat :=DataFiles.readMATmatrix("InOutValues.mat",Matrix);
870     N_e :=mat[APIndex, 1];
871     annotation (Icon);
872 equation
873
874 end readNe;
875
876     InertiaEngine inertiaEngine;

```

```

877 Modelica.Blocks.Math.Add add4(k2=+1);
878 Real m_f0;
879 Real x_air0;
880 Real x_egr0;
881 Real x_vgt0;
882 Real p_t0;
883 Real p_a0;
884 Real T_a0;
885 Real m_f1;
886 Real x_air1;
887 Real x_egr1;
888 Real x_vgt1;
889 Real p_t1;
890 Real p_a1;
891 Real T_a1;
892 Modelica.Blocks.Continuous.PI PI(T=2, k=100);
893 equation
894   connect(add4.y, inertiaEngine.M_t);
895
896 algorithm
897   i :=integer(time/(setuptime+holdtime));
898   if (i==0) then
899     (m_f0,x_air0,x_egr0,x_vgt0,p_t0,p_a0,T_a0) := readInOutValues
900       (APIndex, "InOutValues");
901   else
902     (m_f0,x_air0,x_egr0,x_vgt0,p_t0,p_a0,T_a0) := readInOutValues
903       (APIndex+(i-1)*iter, "InOutValues");
904   end if;
905
906   (m_f1,x_air1,x_egr1,x_vgt1,p_t1,p_a1,T_a1) := readInOutValues(
907     APIndex + i*iter, "InOutValues");
908
909   add1.u1 :=readNe(APIndex + i*iter, "InOutValues");
910
911   airpath.m_f :=m_f1;
912   airpath.x_air :=x_air1;
913   airpath.x_egr := 50*sin(time) + 50;//x_egr1;
914   airpath.x_vgt :=x_vgt1;
915   airpath.p_t := p_t1;
916   airpath.p_a :=p_a1;
917   airpath.T_a :=T_a1;
918
919   annotation (Diagram);
920 equation
921   connect(PI.y, add4.u2);
922   connect(add1.y, PI.u);
923   connect(add1.u2, inertiaEngine.N_e);
924   connect(airpath.M_t, add4.u1);
925   connect(airpath.N_e, inertiaEngine.N_e);

```

```
924   end AirPathTest;  
925 end AirPathCombustionEngineLib;
```

**Listing B.1:** Luftpfad

# Literaturverzeichnis

- Baehr, Hans Dieter und Stephan Kabelac [2006]. *Thermodynamik Grundlagen und technische Anwendungen*. Springer. ISBN 3540325131. (zitiert auf Seite 9.)
- Becher, Stefan und Torsten Eggert [2004]. *Dieselmotormanagement*. 4. Auflage. Robert Bosch GmbH. ISBN 3528238739. (zitiert auf Seite 2.)
- Chauvin, Corde und Petit [2007]. *Transient control of a Diesel engine airpath. Proceedings of the 2007 American Control Conference*, Seiten 4394 – 4400. (zitiert auf Seite 13.)
- Claytex []. *Symbolic manipulation*. <http://www.claytex.com/>. (zitiert auf Seite 5.)
- DieselNet [2012]. *Emission Standards*. <http://www.dieselnet.com/standards/eu/hd.php>. (zitiert auf Seite 2.)
- Dittmar, Rainer [2004]. *Modellbasierte prädiktive Regelung*. Oldenburg Verlag München Wien. ISBN 3486275232. (zitiert auf Seite 53.)
- Felgner []. *Vergleich numerischer Löser zur Simulation steifer und hybrider Systeme*. [http://www.aut.uni-saarland.de/uploads/media/FF\\_LL\\_GF\\_AUTOMATION\\_JUNE\\_2011.pdf](http://www.aut.uni-saarland.de/uploads/media/FF_LL_GF_AUTOMATION_JUNE_2011.pdf). (zitiert auf Seite 6.)
- Fischer, Helmut und Helmut Kaul [2001]. *Mathematik fuer Physiker Band 1 Grundkurs*. B.G.Teubner. ISBN 3519320797. (zitiert auf Seite 53.)
- Fritzson, Peter [2003]. *Principles of Object-Oriented Modeling and Simulation with Modelica 2.1*. Wiley-IEEE Computer Society Pr. ISBN 0471471631. (zitiert auf den Seiten 3, 5 and 21.)
- Guzzella, Lino und Christopher H. Onder [2004]. *Introduction to Modeling and Control of Internal Combustion Engine Systems*. Springer. ISBN 354022274X. (zitiert auf den Seiten 8, 9, 11, 12, 16, 22 and 30.)
- Heywood [1988]. *Internal Combustion Engine Fundamentals*. McGraw-Hill. ISBN 0071004998. (zitiert auf Seite 10.)
- Jankovic und Kolmanivski [2000]. *Constructive Lyapunov Control Design for Turbocharged Diesel Engines*. *IEEE Transaction on Control System Technology*, 8(2), Seiten 288 – 299. (zitiert auf Seite 10.)
- Jung [2003]. *Mean-Value Modelling and Robust Control of the Airpath of a Turbocharged Diesel Engine*. Dissertation, Department of Engineering University Cambirdge, Sidney Sussex College. (zitiert auf den Seiten 12, 14 and 32.)

- Maciejowski, Jan [2002]. *Predictive Control with Constraints*. Person Education Limited. ISBN 0201398230. (zitiert auf den Seiten 50 and 54.)
- Mathworks [2012]. *Model Predictive Control Toolbox User Guide*. [http://www.mathworks.fr/help/pdf\\_doc/mpc/mpc\\_ug.pdf](http://www.mathworks.fr/help/pdf_doc/mpc/mpc_ug.pdf). (zitiert auf den Seiten 54 and 55.)
- Moraal und Kolmanovsky [1999]. *Thurbocharger Modeling for Automotive Control Applications*. *SAE International*, Seite 15. (zitiert auf den Seiten 14 and 31.)
- Rueckert, Joachim [2008]. *Modellgestützte Regelung von Ladedruck und Abgasrückführtrate beim Dieselmotor*. *Institut für Regelungstechnik RWTH Aachen*. (zitiert auf Seite 41.)
- ViF [2011]. *ICOS user manual*. <Http://www.vif.tugraz.at>. (zitiert auf Seite 47.)